

論文 / 著書情報
Article / Book Information

題目(和文)	イルメナイト型酸化物に於ける電子密度分布の研究
Title(English)	
著者(和文)	木藤久美子
Author(English)	Kumiko Ohgaki
出典(和文)	学位:理学博士, 学位授与機関:東京工業大学, 報告番号:甲第1576号, 授与年月日:1984年3月26日, 学位の種別:課程博士, 審査員:丸茂文幸,森川日出貴,八木克道,加藤誠軌,橋爪弘雄
Citation(English)	Degree:Doctor of Science, Conferring organization: Tokyo Institute of Technology, Report number:甲第1576号, Conferred date:1984/3/26, Degree Type:Course doctor, Examiner:,,,
学位種別(和文)	博士論文
Type(English)	Doctoral Thesis

イルメナイト型酸化物に於ける電子密度分布の研究

材料科学専攻 1522

木藤 久美子

目 次

第 1 章 緒 論	1
1-1 イルメナイト型酸化物に関する既往の研究	1
1-2 精密構造解析に関する既往の研究	2
1-2-1 非球対称原子散乱因子を用いたd電子 密度分布の研究	2
1-2-2 热振動に於ける非調和性の取り扱い	6
1-3 本研究の目的と意義	8
第 2 章 单結晶X線回折法による電子密度分布の解析	14
2-1 緒 言	14
2-2 系統誤差を減少させるための試料および 回折計の調整	15
2-2-1 試料の調整	15
2-2-2 入射ビームの調整	16
2-2-3 減衰率の決定	18
2-3 3d電子のX線散乱因子	20
2-3-1 配位子場中のd電子の波動関数の一般的 取り扱い	20
2-3-2 C ₃ 結晶場に於けるd電子の波動関数の具 体的取り扱い	24

2-3-3 C_3 結晶場に於ける波動関数から求めた非
球対称軌道散乱因子

33

第 3 章 チタン酸コバルトの単結晶X線構造解析	46
3-1 緒 言	46
3-2 実 験	47
3-3 電子密度分布解析	48
3-4 結果 および 考察	54
第 4 章 チタン酸マンガンの単結晶X線構造解析	89
4-1 実 験	89
4-2 電子密度分布解析	90
4-3 結果 および 考察	92
第 5 章 チタン酸鉄の単結晶X線構造解析	118
5-1 実 験	118
5-2 電子密度分布解析	118
5-3 結果 および 考察	121
第 6 章 電子密度分布と磁気構造	150
6-1 緒 言	150
6-2 電子密度分布図	151
6-3 考 察	152

第 7 章 總 括

161

謝 辭

164

文 獻

165

第 1 章 緒 論

1-1 イルメナイト型酸化物に関する既往の研究

イルメナイト(FeTiO_3)で代表されるイルメナイト型酸化物は、地球を構成する主要な鉱物の一つで、チタン原料として重要であることから、多くの地球科学者や鉱物学者によって数々の研究が行なわれている。また、アポロ11号が初めて月から持ち帰った月の石に多量に含まれていた磁性酸化物(17 wt %)がほぼ純粋な FeTiO_3 であったことからも、興味のもたれている物質である(Nagata, Ishikawa, Kinoshita, Kono, Shono & Fisher, 1970)。

イルメナイト型酸化物、 MeTiO_3 は六方最密型に充填された酸素イオンがつくる八面体間隙の $2/3$ を金属イオンが占め、 Me^{2+} 及び Ti^{4+} は、それぞれ(0001)面に平行な層をなして規則配列している(図1-1)。そのため、類似の構造をもつコランダム型化合物に比べて対称が下がり、空間群は $R\bar{3}c$ となる。また、やはりイルメナイト型構造であると言われている LiNbO_3 は、一つの層に Li^+ と Nb^{5+} が規則配列するために対称心が失われて、空間群は $R\bar{3}C$ となり、これらと区別される。表1-1は、本研究で対象として取りあげた MeTiO_3 ($\text{Me} = \text{Mn}, \text{Fe}, \text{Co}$) の、粉末X線回折法により得られた結晶学的数据である(Barth & Posnjak, 1934; Posnjak & Barth, 1934)。表1-2は、主なイルメナイト型酸化物について、知られている磁気的性質をまとめたものである。 MeTiO_3 ($\text{Me} = \text{Mn}, \text{Fe}, \text{Co}$) は、いずれも低温で反強磁性体である。

なり、中性子線回折法によりその磁気構造が解明され、それぞれ異なる、た磁気構造をもつことが知られている。

今まで、多くの測定は天然に得られた大型結晶を用いて行なわれてきたが、天然結晶はしばしば不均質であり精密な議論を行なうには不適当であった。イルメナイト型結晶の合成に関する研究は、Wanklyn (1970) 及び Garton, Smith & Wanklyn (1972) がフラックス法で、Barsukova, Kuznetsov & Malinovskaya (1972) が熱水法で試みているが、いずれの場合も得られた結晶は小さく組成が不均一なものも多い。その後、Takei & Kitamura (1978) 及び Takei (1981) は、フローティング・ゾーン法で大型結晶の育成に成功した。

1-2 精密構造解析に関する既往の研究

1-2-1 非球対称原子散乱因子を用いたd電子密度分布の研究

1912年、Laue, Friedlich & Knipping が硫化銅 (Cu_3S_2) 結晶からのX線回折图形を撮影することに成功し、Laue のX線回折理論が発表されてから間もなく、W. H. Bragg によりX線スペクトロメーターが作られ、X線の強度を定量的に測定することが可能となった。X線回折法による結晶中の電子密度分布の研究が1920年代にJamesによって NaCl や CaF_2 等について、X線回折強度から構造因子を求めフーリエ合成図を作成するという方法で始められたが、まだその精度は低かった。その後、 NaCl や

ダイヤモンド結晶について、化学結合により電子密度分布が球対称からずれていることが示された (Brill, Grimm, Hermann & Peters, 1939)。Weiss & Demarco (1958) が体心立方格子をもつ Fe と Cr について、各原子に局在する $3d$ 電子の数を決定した頃から電子密度分布の研究は非常に盛んになってきた。

四軸型単結晶 X 線回折計の登場に伴い、回折強度の測定精度が大幅に向上了し、1960 年代の後半から、結合電子数の全電子数に占める割合の大きい、周期律表の第一、第二周期の原子を含む有機化合物が研究の対象になり、差フーリエ合成図上で、結合電子による残差電子密度が明白に得られるようになった。

一方、X 線回折法以外の方法を用いることによっても、電子密度分布の球対称からのずれが求められてきた。X 線回折法は全電子からの散乱を測るが、化学結合に寄与しているのは主に外殻電子であるから、不対電子の持つスピン密度にのみ依存する中性子線の磁気散乱を測定することによって、電子密度分布の非球対称性を調べることが出来る。また、中性子線の核散乱強度を測定することによって、原子核の位置や異方性温度因子が決定出来る。これらの値と X 線回折実験によって得られた構造因子を用いて、いわゆる X-N 合成を行なうことにより電子密度分布の球対称からのずれを求める方法が提案された。1969 年、Coppens, Sabine, Delaplane & Ibers は、この X-N 合成を用いてショウ酸二水和物について結合の中間にある結合電子、すなわち C=O 結合の O の周りの二つの孤立電子対及び C-O 結合の O の周りの一つの孤

立電子対の存在を示した。

3d 電子の電子密度分布の異方性は、1973年、Iwata & Saito によって行われた $[\text{Co}(\text{NH}_3)_6][\text{Co}(\text{CN})_6]$ の精密構造解析の結果、Co の周りに初めて実験的に観測された。それ以来数多くの遷移金属化合物について X 線回折法を用いて結晶内の電子密度分布が測定されてきた。遷移金属原子の 3d 電子の分布については、正八面体、正四面体、三方型の各対称場について研究され、3d 軌道の基底状態におけるエネルギー準位の分裂から予想される電子密度分布の異方性とよく一致する結果が得られている。これを理論的に裏付けし、電子密度分布の異方性を定量的に取り扱うために主として二つの解析法が用いられてきた。一つは Multipole refinement と呼ばれる方法で (Hirshfeld, 1971; Harel & Hirshfeld, 1975; Stewart, 1976; Hansen & Coppens, 1978; Stevens & Coppens, 1979)。有機化合物の電子密度分布解析において発達してきた方法である。これは (1-1) 式のようにある原子の電子密度 $P(r)_{\text{atom}}$ を、内殻の電子密度 $P(r)_{\text{core}}$ 、外殻の電子密度のうち球対称な部分 $P_s(r)_{\text{valence}}$ と非球対称な部分とに分け、非球対称な部分を球面調和関数、 Y_{em} で展開する方法である。

$$P(r)_{\text{atom}} = P_c P(r)_{\text{core}} + P_v P_s(r)_{\text{valence}} + \sum_{l=0}^4 R_l(r) \sum_{m=-l}^l P_{em} Y_{em} \quad (1-1)$$

ただし P_c 、 P_v 及び P_{em} は population coefficient

もう一つの方法は 本研究において用いた解析法であり、(1-2)式に示されているように 原子の電子密度 $P(r)_{atom}$ を内殻(Ar殻)の電子密度 $P(r)_{core}$ と外殻(3d軌道)の電子密度 $P_a(r)_{valence}$ とに分け $P_a(r)_{valence}$ は各結晶場中の基底状態の波動関数から求める。

$$P(r)_{atom} = P(r)_{core} + P_a(r)_{valence} \quad (1-2)$$

Multipole refinementは自由に動かせるパラメーターが多いという点と、波動関数とは関係なく原子のもつ点群のみを考慮するだけで解析が可能であるという点では 汎様性が高いと言えるが、逆に 実際の波動関数との対応をどうつけるかという問題点が残る。後者の電子密度を内殻と外殻の二つの部分に分ける方法においては 3d電子の波動関数が既知であることが必要である。そのため、現在主として高対称場に於ける原子について解析が行なわれており、その結果は実測値とよく一致し、分光学的な研究結果ともよく一致する結果を与えている (Tanaka, Konishi & Marumo, 1979 ; Kijima, Tanaka & Marumo, 1981 ; Kijima, Tanaka & Marumo, 1983 ; Miyata, Tanaka & Marumo, 1983)。今まで、三方対称場中の第一遷移金属の3d電子密度分布については、Oh結晶場を仮定した波動関数から非球対称軌道散乱因子を求め、 D_{3d} の対称性を取り入れながら解析する、という方法で研究されてきた。しかし、出来るだけ正確に現実の席対称に基いて求めた波動関数から非球対称軌道散乱因子を求め、電子密度分布を解析することは、定量的な議論を行なう上で非常に重要な問題である。

1-2-2 热振動に於ける非調和性の取り扱い

X線、中性子線回折の積分反射強度に対する热振動の影響は、原子散乱因子が温度因子だけ減少するという形で現れる。一般に結晶構造因子は、単位胞内の電子密度分布のフーリエ変換であるが、原子散乱因子を用いて表わすと、

$$F(\mathbf{k}) = \sum_j f_j T_j(\mathbf{k}) \exp(i\mathbf{k} \cdot \mathbf{r}_j) \quad (1-3)$$

で与えられる。ここで j 番目の原子の散乱因子 f_j は、散乱ベクトル \mathbf{k} ($|\mathbf{k}| = 4\pi \sin \theta / \lambda$) に依存する量であり、 \mathbf{r}_j は原子 j の平衡位置を表わす位置ベクトルである。 $T_j(\mathbf{k})$ が温度因子であり、热振動による原子位置の不確定性から生ずる。热振動による平衡位置 \mathbf{r}_j からの変位を \mathbf{u}_j (u_{1j}, u_{2j}, u_{3j}) とすると、

$$T_j(\mathbf{k}) = \langle \exp(i\mathbf{k} \cdot \mathbf{u}_j) \rangle \quad (1-4)$$

と表わされる。ここで $\langle \rangle$ は時間的平均をとることを意味する。 $\langle u_j^2 \rangle$ が温度 T に比例する範囲、すなわち調和近似の成立する範囲では、等方性温度因子は

$$T_j(\mathbf{k}) = \exp\left\{-B_j (\sin \theta / \lambda)^2\right\} \quad (1-5)$$

$$B_j = 8\pi^2 \langle u_j^2 \rangle \quad (1-6)$$

となる。温度が高くなり、この近似が満たされなくなると、 $\langle u_j^2 \rangle$ が急激に大きくなる。これは热振動の非調和性によるものである。 $\langle u_j^2 \rangle$ の温度変化が T に対して非線形になることは、CuI, CuBr 及び AgI の X線回折法による研究 (Miyake, Hoshino & Tanaka, 1952; Hoshino, 1952; Hoshino, 1954) によって最初に観測された。金属イオンの热振動の平均二乗振幅

が高温で急激に大きくなること、 CuI の相転移に伴うエントロピー変化などが 非調和項を用いて説明出来ることが 当時から 松原(1958) によって指摘されていた。中性子線の回折強度の測定精度が向上し温度因子が精密に解析されるようになって いくつかの物質で非調和熱振動の存在が確認された。Dawson & Willis(1967) が UO_2 の構造解析の結果を原子の有効一体ポテンシャルに非調和項を導入して説明して以来、理論的取り扱いが進歩すると共に 実験精度がさらに向上し 精密構造解析では 重要な位置を占めるようになりつつある。

非調和温度因子を求めるのに 大別して二つの計算方法が用いられている。第一の方法は ポテンシャルの非調和項が $k_B T$ に比べて充分小さいと仮定出来る時、ポテンシャルをテーラー展開して項別にフーリエ変換して温度因子を求める方法(Willis, 1969)である。Mair, Barnea, Cooper & Rouse(1974)によつて修正されたこの Willis の方法をもとに Tanaka & Marumo(1982)は $KCuF_3$ 結晶中の Cu 原子の $3d$ 電子による残差電子密度を取り除いた後に現れた残差電子密度が非調和熱振動によることを確かめた。これは、非常に困難であると言われてきた解析の過程における電子密度分布の非球対称性と非調和熱振動による影響の分離がある程度可能であることを示した例として、注目される。本研究では、Willis の方法をもとに、Tanaka & Marumo(1983)が一般化し、すべての席対称に対して定式化したもの用いて解析を行なった。

もう一つの計算方法として、温度因子をキュムラント展開し、その各項の平均を求める方法がある (Matsubara, 1975a, 1975b)。この方法では、温度を変化させて実験を行ない、これらの実験結果から非調和性を表わすポテンシャルパラメーターを決定する。Matsubara とは独立に、Jhonson は確率密度関数がキュムラント展開出来ることを示している (Jhonson, 1967, 1970)。彼は展開係数と非調和ポテンシャルの各係数との間にある関係など、物理的な議論はせず、各係数が原子の置かれている対称性とどう関係するかを議論しており、Bragg反射の積分強度の逆格子空間内における変調を説明するのに有用である。

1 - 3 本研究の目的と意義

本研究は、地球を構成する主要な鉱物で、チタン原料としても重要であり、また、低温で反強磁性を示し、磁気的にも興味あるイルメナイト型酸化物 (CoTiO_3 , MnTiO_3 , FeTiO_3) について、単結晶X線回折法により精密構造解析を行ない、その物理的あるいは化学的性質の原因となる電子密度分布を、実験的に求めることを目的とした。単結晶X線回折法により、差フーリエ合成図上に δ 電子密度分布の異方性がけい出されることは、すでに数多くの報告によって明らかにされているが、それを熱振動の影響と分離し確認する方法は、現在発展しつつある段階である。そこで、従来三方対称場に置かれた遷移金属イオンに対して用いてきた、正八面体配位

を仮定して O_h の席対称に基く波動関数から非球対称軌道散乱因子を求め、 D_{3d} の対称を取り入れながら精密化するという近似的な解析法に代わり、本研究においては席対称 C_3 の実際の配位状態に基いて求めた波動関数から得た非球対称軌道散乱因子を用いて構造精密化を行なうという方法を採っており、電子密度分布の異方性を確認すると共に定量的な議論を行なう上で、意義深い。

これらの酸化物は、室温ではスピンの規則配列が失われて常磁性を示すが、低温における磁気構造の原因となっている原子間相互作用は室温においても存在する。そこで非調和熱振動も考慮に入れて構造精密化を行ない、その後に得られた差フーリエ合成図を検討して、原子間相互作用すなわち電子の移動またはそれに伴う電子密度分布の異方性に依存する残差電子密度を見い出すことが出来れば、磁気構造の研究手段として今まであまり用いられてこなかったX線回折法が一つの研究手段となり得ることを示すことが出来、意義深いものと考えられる。

表1-1 M_eTiO_3 ($\text{Me} = \text{Mn}, \text{Fe}, \text{Co}$) の
結晶学的データ

	MnTiO_3	FeTiO_3	CoTiO_3
Space group	$R\bar{3}$	$R\bar{3}$	$R\bar{3}$
a (Å)	5.137	5.082	5.044
c (Å)	14.283	14.026	13.961
D (g cm^{-3})	4.601	4.789	4.988
$\mu (\text{MoK}\alpha)$ (cm^{-1})	89.043	103.401	115.531

表1-2 1ルメナイト型酸化物の磁気的性質

物質	磁性	$\frac{M}{M_B}$	$\frac{H}{Oe}$	参考文献
$NiMnO_3$	フェルミ磁性 $\theta_f = 160 \sim 200 K$, $M_0 = 0.6 M_B$, スピン軸 // (111)			Bertaut & Forrat, 1958.
$CoMnO_3$	軌道フェルミ磁性 $\theta_f = 397 K$, $M_0 = 0.72 M_B$, スピン軸 // (111)			Cloud, 1958. Bozorth & Walsh, 1958.
$MgMnO_3$	常磁性 $P_{eff} = 3.48 M_B$, $\theta_a = -36 K$			Bertaut & Forrat, 1958.
$ZnMnO_3$	常磁性 $P_{eff} = 3.90 M_B$, $\theta_a = 6 K$, $\theta_N = 18 K$			Bozorth & Walsh, 1958.
$MnTiO_3$	反強磁性(b) $\theta_a = -210 K$, $\theta_N = 63.5 K$, $P_{eff} = 5.93 M_B$ $M_S = 4.55 M_B$, $g_{eff} = 2.01$ スピン軸 // [111]			Chamberand, 1970.
$MnGeO_3$	反強磁性(b) $\theta_a = -245 K$, $P_{eff} = 5.86 M_B$, $M_S = 4.6 M_B$, スピン軸 // [111]			Chamberand, 1970.
$FeTiO_3$	反強磁性(a) $\theta_a = 17.23 K$, $\theta_N = 55.65 K$, $P_{eff} = 5.23 M_B$			Shirane, 1957. Shirane, Pickart, Nathans & Ishikawa, 1959.
$CoTiO_3$	反強磁性 $\theta_a = -3 K (-15 K)$, $\theta_N = 37 K$, $P_{eff} = 5.46 (5.17) M_B$, スピン軸 // (111)			Stickler, Kern, Wold & Heller, 1967.
$NiTiO_3$	反強磁性(a) $\theta_a = -13 K (-55 K)$, $\theta_N = 23 K$, $P_{eff} = 3.16 (3.24) M_B$, スピン軸 // (111)			Newman, Fang & Sato, 1964. Ishikawa & Akimoto, 1958.
				Stickler, Kern, Wold & Heller, 1967.
				Shirane, Pickart & Ishikawa, 1959.
				Ishikawa & Akimoto, 1958.
				Stickler, Kern, Wold & Heller, 1967.

Continue

$MnVO_3$	反強磁性 半導体	$\theta_a = -430K$, $P_{eff} = 8.0 M_B$, $T_{0K} > T$ の強磁性	Syono, Akimoto & Endoh, 1970.
$CoVO_3$	反強磁性 半導体	$P_{300K} = 1.0 \times 10^4 \Omega \cdot cm$, $P_{nK} = 2.4 \times 10^7 \Omega cm$ $\theta_a = -9K$, $\theta_n = 142K$, $P_{eff} = 5.3 M_B$	Chamberland, 1970.
$NiVO_3$	反強磁性 半導体	$P_{298K} = 8 \Omega cm$, $E_a = 0.15 eV$ $\theta_a = -130K$, $\theta_n = 153K$, $P_{eff} = 3.36 M_B$ $P_{298K} = 9 \Omega cm$, $E_a = 0.15 eV$	Chamberland, 1970.

- 注) P_{eff} : キュリー一定数から求めた有効磁気モーメント
 M_s : 飽和磁気モーメント
 θ_N : ノール点
 θ_a : 漸近キュリー一点
 θ_D : デバイ温度
 g_{eff} : g 因子

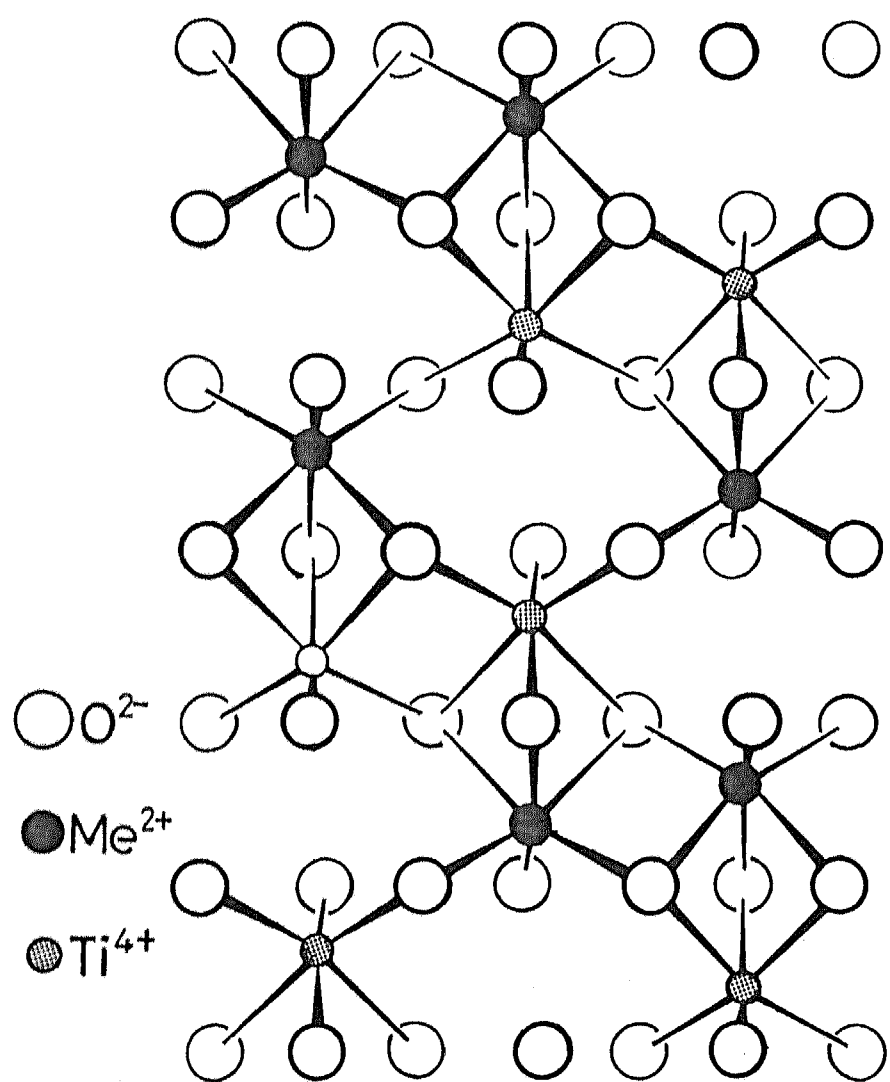


図1-1 イルメナイト型構造

第2章 単結晶X線回折法による電子密度分布の解析

2-1 緒言

運動学的回折理論が成り立つ場合、結晶によるX線の回折強度 $I(hkl)$ は構造因子 $F_0(hkl)$ の絶対値の二乗に比例することが知られている。一般の結晶構造解析においては化学結合による電子雲の変化を無視しており、自由原子またはイオンが三次元的に配列したモデルで結晶内の電子密度分布を近似している。この近似計算によって求められる構造因子は(1-3)式で表わされさらに書き直すと(2-1)式のようになる。

$$F_0(hkl) = \sum_j f_j T_j \exp 2\pi i (h x_j + k y_j + l z_j) \quad (2-1)$$

f_j は j 番目の原子の原子散乱因子と呼ばれるもので、通常の方法ではいわゆる動径部分のみを考慮した球対称な散乱因子を用いる。最小二乗法で $\sum_{j=1}^n w_j (|F_0| - |F_c|)^2$ を最小にするように位置、熱振動、多重度及びスケールのパラメーターを決定する。

また、電子密度分布を連続な関数と考えた場合、構造因子は

$$F(hkl) = \iiint_0^a \rho(xyz) \exp 2\pi i (h \frac{x}{a} + k \frac{y}{b} + l \frac{z}{c}) dV \quad (2-2)$$

と表わすことが出来る。したがって単位体積あたりの電子からの電子密度は構造因子を係数とするフーリエ級数和として次のように表される。

$$\rho(x, y, z) = \frac{1}{V} \sum_h \sum_k \sum_l F(hkl) \exp 2\pi i (h \frac{x}{a} + k \frac{y}{b} + l \frac{z}{c}). \quad (2-3)$$

化学的に興味のある結合電子の挙動を電子密度分布 $\rho_0(x, y, z)$ に基いて調べようとする場合、一般に殻外電子のうちの一部のみが化学結合に関与しているため $\rho_0(x, y, z)$ と自由原子の与える電子密度分布との差は僅かでありフーリエ合成を行なって得た電子密度分布図から直接その差を知ることは困難である。そこで 化学結合や分子間相互作用など物性に関する情報を引き出すには $\rho_0(x, y, z)$ と構造モデルから計算して得た $\rho_m(x, y, z)$ からフーリエ変換して得られる $\rho_e(x, y, z)$ との差で与えられる差フーリエ合成を行なう。さらに差フーリエ合成図上に得られる モデルからのずれとしての電子密度分布を解析し、定量的に議論するためには 非球対称原子散乱因子の導入、非調和熱振動解析が重要な問題となる。

2-2 系統誤差を減少させるための試料及び回折計の調整

2-2-1 試料の調整

本研究における積分反射強度の取り扱いは、一般のX線回折法による結晶構造解析の場合と同様 運動学的理論に基づいている。したがって試料は理想的不完全結晶であることが望ましい。また結晶のすべての方位に対して 同一条件の入射X線を得ることが必要とされる。コリメーターから出てくる入射X線ビームは 調整を上手に行なえばほぼ均一の強度分布をもつようにすることが出来るが 厳密には均等な強度分布をもっていない。入射ビームの強度分布の不均一性の影響を最小にし、吸収効果や消衰効果に対する

補正が出来るだけ正確に行なえるようにするためにには 球状の試料結晶を用いることが望ましい。市販されている封入式微小焦点X線管球を1.5 kW程度の出力で使用する場合、試料の直径は0.1~0.2 mmの範囲の値が適当であることが経験的に知られている。すなわち消衰効果を出来るだけ小さく留めて 誤差を少なくするために、結晶は小さい程良いが、回折強度が小さくなり過ぎると 統計誤差が大きくなり、精密なデータを得ることが困難となる。試料の整形はまず 図2-1に示すように 結晶を樹脂でスライドグラス上に固定して研摩し、一辺の長さが0.3 mm以下の立方体にした後、Bond法 (Bond, 1951)により球状にした。この方法は、同時に結晶のモザイク性を高める効果もある。

2-2-2 入射X線ビームの調整

精度の高い回折強度データを得るためにには 入射X線ビームの調整が必要である。四軸型自動X線回折計 のゴニオメータの軸構成を図2-2に示した。

a) X線管球から取り出された入射X線ビームの調整

入射X線が試料に当たり、回折線が計数される経路の概略図を図2-3に示した。まずモノクロメータで单色化される前のX線管球から取り出されたビームの調整が必要である。

モノクロメータ支持台を外し、入射ビームを調整するためのセッティング治具をエサークルに取り付け、ビームストップを取り外して入射X線が 直接検出器に入るように、X線管球の傾き

の角度($2\theta_M$)を零度に設定し、コリメータは実際の強度測定に使用する 0.5 mm^2 のものを使用した。X線取り出し角は同種の装置を用いてMo管球について測定したTanaka(1974)の値をもとに 5° に設定した。X線管球は 25 kV , 2 mA の出力に落として使用し、強度が $1 \sim 2 \text{ 万 cps}$ になるように受光スリット(図2-4)に吸収板を入れた。次に上下半割治具をモノクロメータ部に挿入しX線強度が挿入する前の半分になるようにX線管球を上下に調整した。その後上下半割治具を外しハーフスリットをRIGHTに設定してX線強度が何も入れない時の半分になるようにX線管球を左右に調整した。これらを何回か繰り返して半割治具を入れた時の強度およびRIGHTのハーフスリットを入れた時の強度が何も入れないOPENの時の丁度半分になるまで行なった。次に受光ハーフスリットをBOTTOMに設定し、この時の強度がOPENの時の半分になるようにカウンターの位置を上下に調整した。

b) モノクロメーターの調整

モノクロメーターの調整は θ_M 部と $2\theta_M$ 部に分かれている。 $2\theta_M$ 部は管球を回転させる機構でありモノクロメータ自体の調整は θ_M 部と呼ばれている。モノクロメータはモノクロメータ支持台に取り付けられており、上下調節機構とあおり調節機構(図2-5)が含まれている。実際にはMoK α 線を使用しているためモノクロメータの回折角($2\theta_M$)を 12.1° 前後に設定し、管球の回転

角度と上下移動を調整して強度が最大になる位置を選ぶ。この強度を確認した後、水平方向の調整を行なうためにハーフスリットをRIGHTに設定し、モノクロメータのあおりを調整して強度が最大強度の半分になるようにした。受光ハーフスリットをBOTTOMにして強度が最大強度の半分より大きくずれていないことが確認出来るまで、調整を繰り返した。

2-2-3 減衰率の決定

強度測定を行なうにあたってカウント数の大きな反射に対して用いるアテニュエータによる強度の減衰を補正するための減衰率を決定した。計数にはシンチレーションカウンターが用いられている。計数回路に不感時間があるため、強いX線に対しては数え落としが起こり、これを防ぐために本研究のMoK α 線の場合Niの薄板(アテニュエータ)をカウンターの前に挿入し回折X線の強度を減衰させた状態で計数している。本研究で使用した理学電機社製四軸型単結晶自動X線回折計(AFC-5)の場合常に回折線の強度が32766 cps以下になるように強度測定用プログラムが組まれている。アテニュエータとしては2枚のNi板を用いており、これらを組み合わせて3種類の減衰状態が実現出来る。このような測定方法を用いた場合正確な減衰率を求めることが必要である。本研究ではFukamachi(1969)の提案した数え落としの補正方法に基いて減衰率を決定した。

回折X線の真の計数値を N_0 、測定値を N 、アテニュエータ

が入った状態での真の計数値を n_0 、その測定値を n とする。ただし計数値はいずれも CPS 単位である。真の減衰率 R_0 と見かけの減衰率 R はそれぞれ

$$R_0 = \frac{N_0}{n_0}, \quad R = \frac{N}{n} \quad (2-4)$$

である。計数回路の不感時間を τ 秒とすると。

$$N_0 = \frac{N}{1-\tau N}, \quad n_0 = \frac{n}{1-\tau n}. \quad (2-5)$$

したがって (2-4), (2-5) より

$$\frac{R}{R_0} = \frac{1-\tau N}{1-\tau n} = 1 - \tau(N-n)[1 + \tau n + (\tau n)^2 + (\tau n)^3 + \dots] \quad (2-6)$$

$\tau n \ll 1$ の条件下では (2-6) 式は

$$\frac{R}{R_0} = 1 - \tau(N-n) \quad (2-7)$$

となり、次のような直線関係を表わす式が得られる。

$$R = R_0 - \tau R_0(N-n) \quad (2-8)$$

従って R を y 軸に $N-n$ を x 軸にとり、実測値をプロットして得られる直線の傾きが $-\tau R_0$ 、 y 軸の切片が R_0 である。真の減衰率 R_0 を求めるには $N-n$ の値を変化させて減衰率 R を測定し最小二乗法計算で y 軸の切片の値を求めれば良い。ただし本研究で使用した四軸型単結晶自動 X 線回折計の場合 電気的に数え落としの補正を行なっているので 直線の傾きから求められる τ は真の不感時間と補正值に含まれている不感時間との差である。

この方法に従って 測定を 5 回繰り返して行ない、表 2-1 に示した値を得た。

2-3 3d電子のX線散乱因子

2-3-1 配位子場中のd電子の波動関数の一般的取り扱い

本研究においては遷移金属イオンに対して通常用いられている球対称原子散乱因子の代わりに原子散乱因子 f が式(2-9)に示したように二つの部分から成ると考え、3d電子の空間分布に異方性を考慮した散乱因子を用いて解析を行なった。

$$f = f_{Ar\ core} + f_{3d} \quad (2-9)$$

ここで $f_{Ar\ core}$ は第一遷移金属の内殻電子、つまりAr殻の電子による原子散乱因子であり、自由原子状態に於ける値を用いる。 f_{3d} は3d電子による散乱因子であり、 i 番目の3d軌道を占める電子の散乱因子を $f_{3d,i}$ と書くと

$$f_{3d} = \sum_i c_i f_{3d,i} \quad (2-10)$$

と表わされる。ただし c_i は i 番目の3d軌道を占める電子数である。各3d軌道を占める電子に対する散乱因子 $f_{3d,i}$ に関しては、Weiss & Freeman (1959)による求め方に関する報告があり、これを基礎として具体的表現を求めた。

各軌道の波動関数を ψ とすると、散乱因子 f は(2-11)式のように表わされる

$$f = \int \psi^* \exp(i\mathbf{k} \cdot \mathbf{r}) \psi d\tau \quad (2-11)$$

\mathbf{r} は実空間に於ける位置ベクトルを、 \mathbf{k} は逆空間に於ける散乱ベクトルを示し $|\mathbf{k}| = 4\pi \sin\theta/\lambda = k$ である。

結晶場中の原子の波動関数は、水素様原子を仮定した場合の

ハミルトニアン \mathcal{H}_0 に対する運動と考えて求めた。水素様原子の場合、各軌道は Schrödinger の方程式

$$\mathcal{H}_0 \psi_{n\ell m} = E_n \psi_{n\ell m}$$

$$\mathcal{H}_0 = -\frac{\hbar^2}{2m} \nabla^2 - \frac{Ze^2}{r} \quad (2-12)$$

の解である。ただし、 E_n は水素様原子におけるエネルギー一個有値、 m は電子の質量、 $\hbar = \frac{h}{2\pi}$ 、 Z は中心の有効電荷である。いま、1 個の電子をもつ原子が結晶中にあるとすると、そのハミルトニアンは結晶場理論に基く近似では

$$\mathcal{H} = -\frac{\hbar^2}{2m} \nabla^2 - \frac{Ze^2}{r} + V_{crys}(r) \quad (2-13)$$

$$V_{crys}(r) = \sum_i \frac{Ze^2}{|R_i - r|} \quad (2-14)$$

と表わせる。ここで R_i は、着目している原子を原点にとった場合の結晶場を与えている i 番目の点電荷の位置を表わし、 r は原子核に対する電子の位置を表わす。 V_{crys} を \mathcal{H}_0 に対する運動と考えて (2-14) 式の形の $V_{crys}(r)$ を原点(原子核の位置)の周りに球関数

$$Y_{\ell m}(\theta, \varphi) = \Theta_{\ell m}(\theta) \Psi_m(\varphi) \quad (2-15)$$

で展開する。ここで

$$\Theta_{\ell m}(\theta) = (-1)^{\frac{m+|m|}{2}} \sqrt{\frac{2\ell+1}{2} \frac{(\ell-|m|)!}{(\ell+|m|)!}} P_\ell^m(\cos \theta) \quad (2-16)$$

$$\Psi_m(\varphi) = \frac{1}{\sqrt{2\pi}} e^{im\varphi} \quad (2-17)$$

であり、 $P_\ell^m(\cos \theta)$ は ℓ 次の随伴ルジャンドル関数で

$$P_\ell^m(z) = \frac{(1-z^2)^{\frac{|m|}{2}}}{2^\ell \ell!} \frac{d^{|m|+\ell}}{dz^{|m|+\ell}} (z^2-1)^\ell \quad (2-18)$$

と定義されている。.(2-15), (2-16) 式 はそれぞれ $\Theta_{\ell m}(\theta)$, $\Psi_m(\varphi)$

が規格化されていることを示す因子を伴っている。

(2-14)式を (2-15), (2-16), (2-17), (2-18)式 で表わすと、次のようになる。

$$\frac{1}{|R_i - r|} = \frac{1}{a} \sum_{k=0}^{\infty} \left(\frac{r}{a}\right)^k P_k(\cos \omega_i) . \quad (2-19)$$

ただし、 ω_i はベクトル r と R_i の間の角である。 r と R_i の極座標 (r, θ, φ) , (a, θ_i, φ_i) を用いて $P_k(\cos \omega_i)$ を表わすと、球関数の加法定理、

$$P_k(\cos \omega_i) = \frac{4\pi}{2k+1} \sum_{m=-k}^k Y_{km}(\theta, \varphi) Y_{km}^*(\theta_i, \varphi_i) \quad (2-20)$$

を用いて、式(2-14)は電子の位置 (r, θ, φ) の関数として

$$V_{crys}(r, \theta, \varphi) = \sum_{k=0}^{\infty} \sum_{m=-k}^k r^k g_{km} C_m^{(k)}(\theta, \varphi) \quad (2-21)$$

ただし、

$$g_{km} = \sqrt{\frac{4\pi}{2k+1}} \frac{Z e^2}{a^{k+1}} \sum_i Y_{km}^*(\theta_i, \varphi_i) , \quad (2-22)$$

$$C_m^{(k)}(\theta, \varphi) = \sqrt{\frac{4\pi}{2k+1}} Y_{km}(\theta, \varphi) \quad (2-23)$$

であり、 $Y_{km}^*(\theta_i, \varphi_i)$ は $Y_{km}(\theta_i, \varphi_i)$ の共役複素数で

$$Y_{km}^*(\theta_i, \varphi_i) = (-1)^m Y_{k-m}(\theta_i, \varphi_i) \quad (2-24)$$

である。したがって、(2-22)式は次のように書き直すことが出来る。

$$g_{km} = (-1)^m \sqrt{\frac{4\pi}{2k+1}} \frac{Z e^2}{a^{k+1}} \sum_i Y_{k-m}(\theta_i, \varphi_i) . \quad (2-25)$$

この系の Schrödinger の方程式を

$$i\hbar \psi'(r) = \epsilon \psi(r) \quad (2-26)$$

と書くこととし、 V_{crys} が水素様原子のエネルギー準位に与える変化を調べるために、(2-26)式の $\psi(r)$ を水素様原子の固有関数

$$\psi_{nem} = R_{nl}(r) Y_{em}(\theta, \varphi)$$

$$\psi(r) = \sum_{nem} a_{nem} \psi_{nem}(r) \quad (2-27)$$

のように展開する。式(2-27)を式(2-26)に代入し、左から $\psi_{nem}^*(r)$ を掛けて積分すると、

$$\begin{aligned} & \int \psi_{nem}^*(r) \left[g\ell_0 + V_{\text{crys}}(r) \right] \sum_{n'e'm'} a_{n'e'm'} \psi_{n'e'm'}(r) d\tau \\ &= \int \psi_{nem}^*(r) \varepsilon \sum_{n'e'm'} a_{n'e'm'} \psi_{n'e'm'}(r) d\tau \end{aligned} \quad (2-28)$$

$$g\ell_0 \psi_{nem}(r) = \varepsilon_n \psi_{nem}(r) \text{ より}.$$

$$\begin{aligned} & \int \psi_{nem}^*(r) \varepsilon_n \sum_{n'e'm'} a_{n'e'm'} \psi_{n'e'm'}(r) d\tau \\ &+ \int \psi_{nem}^*(r) V_{\text{crys}}(r) \sum_{n'e'm'} a_{n'e'm'} \psi_{n'e'm'}(r) d\tau \\ &= \int \psi_{nem}^*(r) \varepsilon \sum_{n'e'm'} a_{n'e'm'} \psi_{n'e'm'}(r) d\tau \end{aligned} \quad (2-29)$$

従って

$$\begin{aligned} & \varepsilon_n a_{nem} + \sum_{n'e'm'} a_{n'e'm'} \int \psi_{nem}^*(r) V_{\text{crys}}(r) \psi_{n'e'm'}(r) d\tau = \varepsilon a_{nem} \\ & (\varepsilon_n - \varepsilon) a_{nem} + \sum_{n'e'm'} a_{n'e'm'} \int \psi_{nem}^*(r) V_{\text{crys}}(r) \psi_{n'e'm'}(r) d\tau = 0 \end{aligned} \quad (2-30)$$

となる。 V_{crys} は $C_m^{(k)}(\theta, \varphi)$ の線形結合であり、 $\psi_{nem}(r) = R_{nl}(r) Y_{em}(\theta, \varphi)$ 、
 $d\tau = r^2 dr \sin \theta d\theta d\varphi$ であるから。

$$\int \psi_{nem}^*(r) V_{\text{crys}}(r) \psi_{n'e'm'}(r) d\tau = \langle n'l'm | V_{\text{crys}} | n'e'm' \rangle \quad (2-31)$$

の計算を行なうためには

$$\int Y_{em'}^*(\theta, \varphi) C_m^{(k)}(\theta, \varphi) Y_{e'm''}(\theta, \varphi) \sin \theta d\theta d\varphi = \langle e'm' | C_m^{(k)} | e'm'' \rangle \quad (2-32)$$

の積分計算が必要である。 $m = m' - m''$ のときにおける $\langle l'm' | C_m^{(k)} | l''m'' \rangle$ は零でない値をとるから、これを

$$\langle lm | C_{m-m'}^{(k)} | l'm' \rangle = C^k(lm, l'm') \quad (2-33)$$

と表わし、Condon - Shortley の表としてその値が与えられている。 $C^k(lm, l'm')$ は、重要な性質として

$$k + l + l' = \text{偶数}, \quad (2-34)$$

$$|l-l'| \leq k \leq l+l' \quad (2-35)$$

のときのみ零でない値をとる。また、式(2-33)から次の式が成り立つ。

$$C^k(lm, l'm') = (-1)^{m-m'} C^k(l'm', lm). \quad (2-36)$$

2-3-2 C_3 結晶場に於ける d 電子の波動関数の具体的取り扱い

実際に本研究で用いた結晶について、 V_{crys} を計算しエネルギー一固有値及び波動関数を次のように求めた。 Co^{2+} または Fe^{2+} イオンの置かれている席対称は C_3 で、その周りの八面体を構成している 6 個の O^{2-} イオン、3 回軸上の最近接の Ti^{4+} イオン、そして酸素八面体の稜を共有して隣接する 3 個の Co^{2+} または Fe^{2+} イオンの位置に点電荷を仮定して 図 2-6 に示したように極座標をとった。図 2-6(b) は、Z 軸方向から見たそれぞれの点電荷の位置を示したもので、 Ti^{4+} は原点より上にある。

(2-15), (2-16), (2-17), (2-18), (2-25) より、 $g_{k,m}$ を、 $m=0$ の場合と $m \neq 0$ の場合に分けて求めた。

$$\begin{aligned} g_{k,0} &= \sqrt{\frac{2}{2k+1}} \left[3 \left\{ \frac{ze^2}{\alpha_1^{k+1}} \Theta_{k,0}(\theta_1) + \frac{ze^2}{\alpha_2^{k+1}} \Theta_{k,0}(\theta_2) + \frac{z^{**}e^2}{\alpha_4^{k+1}} \Theta_{k,0}(\theta_4) \right\} \right. \\ &\quad \left. + \frac{z^*e^2}{\alpha_3^{k+1}} \Theta_{k,0}(0) \right] \end{aligned} \quad (2-37)$$

$$\begin{aligned} g_{k,m} &= (-1)^m \sqrt{\frac{2}{2k+1}} \left[\frac{ze^2}{\alpha_1^{k+1}} \Theta_{k-m}(0) \left\{ 1 + e^{-im\frac{2}{3}\pi} + e^{im\frac{2}{3}\pi} \right\} \right. \\ &\quad + \frac{ze^2}{\alpha_2^{k+1}} \Theta_{k-m}(\theta_2) \left\{ e^{-im\delta} (1 + e^{-im\frac{2}{3}\pi} + e^{im\frac{2}{3}\pi}) \right\} \\ &\quad + \frac{z^{**}e^2}{\alpha_4^{k+1}} \Theta_{k-m}(\theta_4) \left\{ e^{-im\sigma} (1 + e^{-im\frac{2}{3}\pi} + e^{im\frac{2}{3}\pi}) \right\} \\ &\quad \left. + \frac{z^*e^2}{\alpha_3^{k+1}} \Theta_{k-m}(0) \cdot e^{-img} \right] \end{aligned} \quad (2-38)$$

ただし、 $\Theta_{k-m}(0)$ は、 $m \neq 0$ のとき常に零であるから、(2-38) 式において

$$\frac{z^*e^2}{\alpha_3^{k+1}} \Theta_{k-m}(0) \cdot e^{-img} = 0$$

また、 m が零または 3 の倍数以外のとき

$$1 + e^{-im\frac{2}{3}\pi} + e^{im\frac{2}{3}\pi}$$

$$= 1 + \cos \frac{2}{3}\pi - i \sin \frac{2}{3}\pi + \cos \frac{2}{3}m\pi + i \sin \frac{2}{3}m\pi = 0 \quad (2-39)$$

であり、 $g_{k,m}$ は m が零または 3 の倍数以外のときは常に零であることが明らかである。また、(2-34) 式より 3d 軌道についてのみ考える場合には、 ℓ が偶数の場合だけ $C^\ell(\ell m, \ell'm')$ が値をもつ。(2-35) 式より $0 \leq \ell \leq 4$ であるから、以下のように V_{crys} を求めることが出来る。 $\Theta_{\ell m}(\theta)$ は ℓ, m の値に従って表 2-2 に示したような関数形をもつ。(2-21) 式より V_{crys} を求めるのに

各々についてまず考える。

$$\begin{aligned}
 r^4 g_{4,-3} C_{-3}^4(\theta, \varphi) &= -r^4 \sqrt{\frac{2}{9}} \left[\frac{ze^2}{\alpha_1^5} \Theta_{4,3}(\theta_1) \left\{ 1 + e^{2\pi i} + e^{-2\pi i} \right\} \right. \\
 &\quad + \frac{ze^2}{\alpha_2^5} \Theta_{4,3}(\theta_2) \left\{ e^{3\delta i} (1 + e^{2\pi i} + e^{-2\pi i}) \right\} \\
 &\quad \left. + \frac{z^{**}e^2}{\alpha_4^5} \Theta_{4,3}(\theta_4) \left\{ e^{3ri} (1 + e^{2\pi i} + e^{-2\pi i}) \right\} \right] C_{-3}^4(\theta, \varphi) \\
 &= -r^4 \sqrt{2} \left\{ \frac{ze^2}{\alpha_1^5} \Theta_{4,3}(\theta_1) + \frac{ze^2}{\alpha_2^5} \Theta_{4,3}(\theta_2) \cdot e^{3\delta i} \right. \\
 &\quad \left. + \frac{z^{**}e^2}{\alpha_4^5} \Theta_{4,3}(\theta_4) \cdot e^{3ri} \right\} C_{-3}^4(\theta, \varphi) \quad (2-40)
 \end{aligned}$$

$$\begin{aligned}
 r^4 g_{4,0} C_0^4(\theta, \varphi) &= r^4 \sqrt{\frac{2}{9}} \left[3 \left\{ \frac{ze^2}{\alpha_1^5} \Theta_{4,0}(\theta_1) + \frac{ze^2}{\alpha_2^5} \Theta_{4,0}(\theta_2) \right. \right. \\
 &\quad \left. \left. + \frac{z^{**}e^2}{\alpha_4^5} \Theta_{4,0}(\theta_4) \right\} + \frac{z^*e^2}{\alpha_3^5} \Theta_{4,0}(0) \right] C_0^4(\theta, \varphi) \\
 &= r^4 \left[\sqrt{2} \left\{ \frac{ze^2}{\alpha_1^5} \Theta_{4,0}(\theta_1) + \frac{ze^2}{\alpha_2^5} \Theta_{4,0}(\theta_2) + \frac{z^{**}e^2}{\alpha_4^5} \Theta_{4,0}(\theta_4) \right\} \right. \\
 &\quad \left. + \frac{z^*e^2}{\alpha_3^5} \right] C_0^4(\theta, \varphi) \quad (2-41)
 \end{aligned}$$

$$\begin{aligned}
 r^4 g_{4,3} C_3^4(\theta, \varphi) &= -r^4 \sqrt{\frac{2}{9}} \left[\frac{ze^2}{\alpha_1^5} \Theta_{4,-3}(\theta_1) \left\{ 1 + e^{2\pi i} + e^{-2\pi i} \right\} \right. \\
 &\quad + \frac{ze^2}{\alpha_2^5} \Theta_{4,-3}(\theta_2) \left\{ e^{-3\delta i} (1 + e^{2\pi i} + e^{-2\pi i}) \right\} \\
 &\quad \left. + \frac{z^{**}e^2}{\alpha_4^5} \Theta_{4,-3}(\theta_4) \left\{ e^{-3ri} (1 + e^{2\pi i} + e^{-2\pi i}) \right\} \right] C_3^4(\theta, \varphi) \\
 &= -r^4 \sqrt{2} \left\{ \frac{ze^2}{\alpha_1^5} \Theta_{4,-3}(\theta_1) + \frac{ze^2}{\alpha_2^5} \Theta_{4,-3}(\theta_2) \cdot e^{-3\delta i} \right. \\
 &\quad \left. + \frac{z^{**}e^2}{\alpha_4^5} \Theta_{4,-3}(\theta_4) \cdot e^{-3ri} \right\} C_3^4(\theta, \varphi) \quad (2-42)
 \end{aligned}$$

$$\begin{aligned}
r^2 g_{2,0} C_0^2(\theta, \varphi) &= r^2 \sqrt{\frac{2}{5}} \left[3 \left\{ \frac{ze^2}{a_1^3} \Theta_{2,0}(\theta_1) + \frac{ze^2}{a_2^3} \Theta_{2,0}(\theta_2) \right. \right. \\
&\quad \left. \left. + \frac{z^{**}e^2}{a_4^3} \Theta_{2,0}(\theta_4) \right\} + \frac{z^*e^2}{a_3^3} \Theta_{2,0}(0) \right] C_0^2(\theta, \varphi) \\
&= r^2 \left[3 \sqrt{\frac{2}{5}} \left\{ \frac{ze^2}{a_1^3} \Theta_{2,0}(\theta_1) + \frac{ze^2}{a_2^3} \Theta_{2,0}(\theta_2) + \frac{z^{**}e^2}{a_4^3} \Theta_{2,0}(\theta_4) \right\} \right. \\
&\quad \left. + \frac{z^*e^2}{a_3^3} \right] C_0^2(\theta, \varphi) \tag{2-43}
\end{aligned}$$

したがって V_{crys} は

$$\begin{aligned}
V_{\text{crys}}(r, \theta, \varphi) &= r^4 \frac{3\sqrt{35}}{4} \left(\frac{ze^2}{a_1^5} \sin^3 \theta_1 \cos \theta_1 + \frac{ze^2}{a_2^5} \sin^3 \theta_2 \cos \theta_2 \cdot e^{3ri} \right. \\
&\quad \left. + \frac{z^{**}e^2}{a_4^5} \sin^3 \theta_4 \cos \theta_4 \cdot e^{3ri} \right) C_0^4(\theta, \varphi) \\
&+ r^4 \left[\frac{3}{8} \frac{ze^2}{a_1^5} (35 \cos^4 \theta_1 - 30 \cos^2 \theta_1 + 3) \right. \\
&\quad + \frac{ze^2}{a_2^5} (35 \cos^4 \theta_2 - 30 \cos^2 \theta_2 + 3) \\
&\quad + \frac{z^{**}e^2}{a_4^5} (35 \cos^4 \theta_4 - 30 \cos^2 \theta_4 + 3) \\
&\quad \left. + \frac{z^*e^2}{a_3^5} \right] C_0^4(\theta, \varphi) \\
&- r^4 \frac{3\sqrt{35}}{4} \left(\frac{ze^2}{a_1^5} \sin^3 \theta_1 \cos \theta_1 + \frac{ze^2}{a_2^5} \sin^3 \theta_2 \cos \theta_2 \cdot e^{-3ri} \right. \\
&\quad \left. + \frac{z^{**}e^2}{a_4^5} \sin^3 \theta_4 \cos \theta_4 \cdot e^{-3ri} \right) C_0^4(\theta, \varphi) \\
&+ r^2 \left[\frac{3}{2} \left\{ \frac{ze^2}{a_1^3} (3 \cos^2 \theta_1 - 1) + \frac{ze^2}{a_2^3} (3 \cos^2 \theta_2 - 1) \right. \right. \\
&\quad \left. \left. + \frac{z^{**}e^2}{a_4^3} (3 \cos^2 \theta_4 - 1) + \frac{z^*e^2}{a_3^3} \right\} C_0^2(\theta, \varphi) \right. \tag{2-44}
\end{aligned}$$

このようにして得た V_{crys} を用いて各 $\langle nlm | V_{\text{crys}} | n'l'm' \rangle$ を求めた。

$\langle nlm | V_{\text{crys}} | n'l'm' \rangle$ が零以外の値をもつのは、 $m - m'$ が零または 3 の倍数のときのみであるから、次に示す九つの要素について $\langle nlm | V_{\text{crys}} | n'l'm' \rangle$ を求めた。 $\bar{r}^4 = \int |R_{\text{sd}}(r)|^2 r^4 r^2 dr$ とすると。

$$\begin{aligned}
 \langle 322 | V_{\text{crys}} | 322 \rangle &= \int d\Omega \Psi_{322}^*(\Omega) V_{\text{crys}} \Psi_{322}(\Omega) \\
 &= \bar{r}^4 \cdot \frac{1}{21} \left[\frac{3}{8} \left\{ \frac{ze^2}{a_1^5} (35 \cos^4 \theta, -30 \cos^3 \theta, +3) \right. \right. \\
 &\quad + \frac{ze^2}{a_2^5} (35 \cos^4 \theta_2 - 30 \cos^3 \theta_2 + 3) \\
 &\quad \left. \left. + \frac{ze^2}{a_4^5} (35 \cos^4 \theta_4 - 30 \cos^3 \theta_4 + 3) \right\} + \frac{ze^2}{a_3^5} \right] \\
 &\quad + \bar{r}^2 \cdot \left(-\frac{2}{7} \right) \left[\frac{3}{2} \left\{ \frac{ze^2}{a_1^3} (3 \cos^2 \theta, -1) + \frac{ze^2}{a_2^3} (3 \cos^2 \theta_2 - 1) \right. \right. \\
 &\quad \left. \left. + \frac{ze^2}{a_4^3} (3 \cos^2 \theta_4 - 1) \right\} + \frac{ze^2}{a_3^3} \right] \\
 &= \bar{r}^4 \left[\frac{1}{56} \left\{ \frac{ze^2}{a_1^5} (35 \cos^4 \theta, -30 \cos^3 \theta, +3) \right. \right. \\
 &\quad + \frac{ze^2}{a_2^5} (35 \cos^4 \theta_2 - 30 \cos^3 \theta_2 + 3) \\
 &\quad \left. \left. + \frac{ze^2}{a_4^5} (35 \cos^4 \theta_4 - 30 \cos^3 \theta_4 + 3) \right\} + \frac{ze^2}{a_3^5} \right. \\
 &\quad \left. - \bar{r}^2 \left[\frac{3}{7} \left\{ \frac{ze^2}{a_1^3} (3 \cos^2 \theta, -1) + \frac{ze^2}{a_2^3} (3 \cos^2 \theta_2 - 1) \right. \right. \right. \\
 &\quad \left. \left. \left. + \frac{ze^2}{a_4^3} (3 \cos^2 \theta_4 - 1) \right\} + \frac{2}{7} \frac{ze^2}{a_3^3} \right] \right], \quad (2-45)
 \end{aligned}$$

$$\langle 32-1 | V_{\text{crys}} | 322 \rangle$$

$$\begin{aligned}
 &= \bar{r}^4 \frac{3\sqrt{35}}{4} \cdot \frac{\sqrt{35}}{21} \left(\frac{ze^2}{a_1^5} \sin^3 \theta_1 \cos \theta_1 + \frac{ze^2}{a_2^5} \sin^3 \theta_2 \cos \theta_2 \cdot e^{3\delta_2} \right. \\
 &\quad \left. + \frac{ze^2}{a_4^5} \sin^3 \theta_4 \cos \theta_4 \cdot e^{3\delta_4} \right)
 \end{aligned}$$

$$\begin{aligned}
&= \bar{r}^4 \cdot \frac{5}{4} \left(\frac{ze^2}{a_1^5} \sin^3 \theta_1 \cos \theta_1 + \frac{ze^2}{a_2^5} \sin^3 \theta_2 \cos \theta_2 \cos 3\delta \right. \\
&\quad \left. + \frac{z^{**}e^2}{a_4^5} \sin^3 \theta_4 \cos \theta_4 \cos 3\delta \right) \\
&\quad + \bar{r}^4 \cdot \frac{5}{4} \left(\frac{ze^2}{a_1^5} \sin^3 \theta_1 \cos \theta_1 \sin 3\delta + \frac{z^{**}e^2}{a_4^5} \sin^3 \theta_4 \cos \theta_4 \cos 3\delta \right) i
\end{aligned} \tag{2-46}$$

$\langle 321 | V_{\text{Crys}} | 321 \rangle$

$$\begin{aligned}
&= \bar{r}^4 \left(-\frac{4}{21} \right) \left[\frac{3}{8} \left\{ \frac{ze^2}{a_1^5} (35 \cos^4 \theta_1 - 30 \cos^2 \theta_1 + 3) \right. \right. \\
&\quad \left. + \frac{ze^2}{a_2^5} (35 \cos^4 \theta_2 - 30 \cos^2 \theta_2 + 3) \right. \\
&\quad \left. + \frac{z^{**}e^2}{a_4^5} (35 \cos^4 \theta_4 - 30 \cos^2 \theta_4 + 3) \right\} + \frac{ze^2}{a_3^5} \right] \\
&\quad + \bar{r}^2 \cdot \frac{1}{7} \left[\frac{3}{2} \left\{ \frac{ze^2}{a_1^3} (3 \cos^3 \theta_1 - 1) + \frac{ze^2}{a_2^3} (3 \cos^3 \theta_2 - 1) \right. \right. \\
&\quad \left. \left. + \frac{z^{**}e^2}{a_4^3} (3 \cos^3 \theta_4 - 1) \right\} + \frac{ze^2}{a_3^3} \right] \\
&= -\bar{r}^4 \left[\frac{1}{14} \left\{ \frac{ze^2}{a_1^5} (35 \cos^4 \theta_1 - 30 \cos^2 \theta_1 + 3) \right. \right. \\
&\quad \left. + \frac{ze^2}{a_2^5} (35 \cos^4 \theta_2 - 30 \cos^2 \theta_2 + 3) \right. \\
&\quad \left. + \frac{z^{**}e^2}{a_4^5} (35 \cos^4 \theta_4 - 30 \cos^2 \theta_4 + 3) \right\} + \frac{4}{21} \frac{ze^2}{a_3^5} \right] \\
&\quad + \bar{r}^2 \left[\frac{3}{14} \left\{ \frac{ze^2}{a_1^3} (3 \cos^3 \theta_1 - 1) + \frac{ze^2}{a_2^3} (3 \cos^3 \theta_2 - 1) \right. \right. \\
&\quad \left. \left. + \frac{z^{**}e^2}{a_4^3} (3 \cos^3 \theta_4 - 1) \right\} + \frac{1}{7} \frac{ze^2}{a_3^3} \right] \tag{2-47}
\end{aligned}$$

$\langle 32-2 | V_{\text{Crys}} | 321 \rangle$

$$\begin{aligned}
&= \bar{r}^4 \frac{3\sqrt{35}}{4} \left(-\frac{\sqrt{35}}{2} \right) \left(\frac{ze^2}{a_1^5} \sin^3 \theta_1 \cos \theta_1 + \frac{ze^2}{a_2^5} \sin^3 \theta_2 \cos \theta_2 e^{3\delta i} \right. \\
&\quad \left. + \frac{z^{**}e^2}{a_4^5} \sin^3 \theta_4 \cos \theta_4 e^{3\delta i} \right)
\end{aligned}$$

$$\begin{aligned}
&= -\bar{r}^4 \cdot \frac{5}{4} \left(\frac{ze^2}{a_1^5} \sin^3 \theta_1 \cos \theta_1 + \frac{ze^2}{a_2^5} \sin^3 \theta_2 \cos \theta_2 \cos 3\delta \right. \\
&\quad \left. + \frac{ze^2}{a_4^5} \sin^3 \theta_4 \cos \theta_4 \cos 3\delta \right) \\
&= \bar{r}^4 \cdot \frac{5}{4} \left(\frac{ze^2}{a_1^5} \sin^3 \theta_1 \cos \theta_1 \sin 3\delta \right. \\
&\quad \left. + \frac{ze^2}{a_2^5} \sin^3 \theta_2 \cos \theta_2 \sin 3\delta \right) i \\
&= -\langle 321 | V_{\text{cav}} | 322 \rangle \quad (2-48)
\end{aligned}$$

$\langle 320 | V_{\text{cav}} | 320 \rangle$

$$\begin{aligned}
&= \bar{r}^4 \cdot \frac{6}{21} \left[\frac{3}{8} \left\{ \frac{ze^2}{a_1^5} (35 \cos^4 \theta_1 - 30 \cos^2 \theta_1 + 3) \right. \right. \\
&\quad \left. + \frac{ze^2}{a_2^5} (35 \cos^4 \theta_2 - 30 \cos^2 \theta_2 + 3) \right. \\
&\quad \left. + \frac{ze^2}{a_4^5} (35 \cos^4 \theta_4 - 30 \cos^2 \theta_4 + 3) \right\} + \frac{ze^2}{a_3^3} \right] \\
&\quad + \bar{r}^2 \cdot \frac{2}{7} \left[\frac{3}{2} \left\{ \frac{ze^2}{a_1^3} (3 \cos^3 \theta_1 - 1) + \frac{ze^2}{a_2^3} (3 \cos^3 \theta_2 - 1) \right. \right. \\
&\quad \left. \left. + \frac{ze^2}{a_4^3} (3 \cos^3 \theta_4 - 1) \right\} + \frac{ze^2}{a_3^3} \right] \\
&= \bar{r}^4 \left[\frac{3}{28} \left\{ \frac{ze^2}{a_1^5} (35 \cos^4 \theta_1 - 30 \cos^2 \theta_1 + 3) \right. \right. \\
&\quad \left. + \frac{ze^2}{a_2^5} (35 \cos^4 \theta_2 - 30 \cos^2 \theta_2 + 3) \right. \\
&\quad \left. + \frac{ze^2}{a_4^5} (35 \cos^4 \theta_4 - 30 \cos^2 \theta_4 + 3) \right\} + \frac{ze^2}{a_3^5} \right] \\
&\quad + \bar{r}^2 \left[\frac{3}{7} \left\{ \frac{ze^2}{a_1^3} (3 \cos^3 \theta_1 - 1) + \frac{ze^2}{a_2^3} (3 \cos^3 \theta_2 - 1) \right. \right. \\
&\quad \left. \left. + \frac{ze^2}{a_4^3} (3 \cos^3 \theta_4 - 1) \right\} + \frac{ze^2}{a_3^3} \right] \quad (2-49)
\end{aligned}$$

$$\langle 32-1 | \bar{v}_{cxy} | 32-1 \rangle = \langle 321 | \bar{v}_{cxy} | 321 \rangle \quad (2-50)$$

$$\langle 32-2 | \bar{v}_{cxy} | 32-2 \rangle = \langle 322 | \bar{v}_{cxy} | 322 \rangle \quad (2-51)$$

$$\langle 322 | \bar{v}_{cxy} | 32-1 \rangle = \langle 32-1 | \bar{v}_{cxy} | 322 \rangle^* \quad (2-52)$$

$$\langle 321 | \bar{v}_{cxy} | 32-2 \rangle = -\langle 32-1 | \bar{v}_{cxy} | 322 \rangle^* \quad (2-53)$$

(2-45) ~ (2-49)式の実際の値は数値積分によって求めることにより、 a_{32m} の値を得ることができる。

$$\text{対角項について } \langle 32m | \bar{v}_{cxy} | 32m \rangle \equiv c_{mm}$$

$$\text{非対角項である } \langle 32-1 | \bar{v}_{cxy} | 322 \rangle \equiv b$$

とおくと、

$$\begin{pmatrix} C_{11}-\epsilon & 0 & 0 & b^* & 0 \\ 0 & C_{11}-\epsilon & 0 & 0 & -b^* \\ 0 & 0 & C_{22}-\epsilon & 0 & 0 \\ b & 0 & 0 & C_{11}-\epsilon & 0 \\ 0 & -b & 0 & 0 & C_{22}-\epsilon \end{pmatrix} \begin{pmatrix} a_2 \\ a_1 \\ a_0 \\ a_{-1} \\ a_{-2} \end{pmatrix} = 0 \quad (2-54)$$

$$\left. \begin{cases} (C_{22}-\epsilon)a_2 + b^*a_{-1} = 0 \\ b a_2 + (C_{11}-\epsilon)a_{-1} = 0 \end{cases} \right\} \quad (2-55)$$

$$\left. \begin{cases} (C_{11}-\epsilon)a_1 - b^*a_{-2} = 0 \\ -b a_1 + (C_{22}-\epsilon)a_{-2} = 0 \end{cases} \right\} \quad (2-56)$$

(2-55)より

$$(C_{11}-\epsilon)(C_{22}-\epsilon)a_2 + b^*(C_{11}-\epsilon)a_{-1} = 0$$

$$bb^* a_2 + b^*(C_{11}-\epsilon)a_{-1} = 0$$

$$\{(C_{11}-\varepsilon)(C_{22}-\varepsilon) - bb^*\} a_2 = 0$$

$a_2 = \text{不定}$

同様に

$$\{(C_{11}-\varepsilon)(C_{22}-\varepsilon) - bb^*\} a_{-1} = 0$$

$a_{-1} = \text{不定}$

(2-56)より、

$$b(C_{11}-\varepsilon)a_1 - bb^* a_{-2} = 0$$

$$-b(C_{11}-\varepsilon)a_1 + (C_{11}-\varepsilon)(C_{22}-\varepsilon)a_2 = 0$$

$$\{(C_{11}-\varepsilon)(C_{22}-\varepsilon) - bb^*\} a_{-2} = 0$$

$a_{-2} = \text{不定}$

同様に

$$\{(C_{11}-\varepsilon)(C_{22}-\varepsilon) - bb^*\} a_1 = 0$$

$a_1 = \text{不定}$

また、 $(C_{00}-\varepsilon)a_0 = 0$

$a_0 = \text{不定}$

$$a_2 = 1 \text{ とすると } a_{-1} = -\frac{C_{22}-\varepsilon}{b^*} \quad \text{または } a_{-1} = -\frac{b}{C_{11}-\varepsilon} \quad (2-57)$$

$$a_{-2} = 1 \text{ とすると } a_1 = \frac{b^*}{C_{11}-\varepsilon} \quad \text{または } a_1 = \frac{C_{22}-\varepsilon}{b} \quad (2-58)$$

$a_0 = 1$

$(C_{22}-\varepsilon)(C_{11}-\varepsilon) - bb^* = 0$ あるいは $C_{00}-\varepsilon = 0$ を満足するとは三つあり、それ
の値は数値積分によって求めることができる。前式は二重縮重の ε 値
であり、この二つの固有値を各々(2-57), (2-58)式に代入して、合計五つの波動関
数が得られた。これらの波動関数を規格化すると次のようになる。

$$e(t_{2g}) : \left\{ \begin{array}{l} A \psi_{322} + B \psi_{32-1} \\ A \psi_{32-2} - B^* \psi_{321} \end{array} \right\} \quad (2-59)$$

$$e(e_g) : \left\{ \begin{array}{l} A' \psi_{322} - B' \psi_{32-1} \\ A' \psi_{32-2} + B'^* \psi_{321} \end{array} \right\} \quad (2-60)$$

$$\alpha : 0$$

ただし ψ_{32m} は水素様原子の波動関数である。

2-3-3 C_3 結晶場に於ける波動関数から求めた

非球対称軌道散乱因子

非球対称軌道散乱因子は、波動関数から次のように求められる。 (2-11)式はベッセル関数を用いて (2-61)式のように展開できる (Weiss & Freeman, 1959)。

$$f_{ij} = \sum_n \sqrt{4\pi} i^n \sqrt{2m+1} C^m(l_i m_i, l_j m_j) \langle j_n \rangle_{ij} \times \Theta_m^{m_i - m_j}(\cos \theta) \Phi_{m_i - m_j}(\varphi) \quad (2-61)$$

ここで $\langle j_n \rangle$ は n 次のベッセル関数を示している。 $\psi_{32m} \equiv d_m$ とすると。

$$\begin{aligned} f\{e(t_{2g})\} &= \int (A d_2 + B d_{-1})^* \exp(i\mathbf{k} \cdot \mathbf{r}) (A d_2 + B d_{-1}) d\mathbf{r} \\ &= A^* A \int d_2^* \exp(i\mathbf{k} \cdot \mathbf{r}) d_2 d\mathbf{r} \\ &\quad + B^* A \int d_{-1}^* \exp(i\mathbf{k} \cdot \mathbf{r}) d_2 d\mathbf{r} \\ &\quad + A^* B \int d_2^* \exp(i\mathbf{k} \cdot \mathbf{r}) d_{-1} d\mathbf{r} \\ &\quad + B^* B \int d_{-1}^* \exp(i\mathbf{k} \cdot \mathbf{r}) d_{-1} d\mathbf{r} \end{aligned} \quad (2-62)$$

さらには(2-62)式は 次のように展開出来る。

$$\int d_2^* \exp(i\mathbf{k} \cdot \mathbf{r}) d_2 d\mathbf{r} = \langle j_0 \rangle + \frac{5}{7} (3 \cos^2 \theta - 1) \langle j_2 \rangle \\ + \frac{3}{36} (35 \cos^4 \theta - 30 \cos^2 \theta + 3) \langle j_4 \rangle$$

$$\int d_{-1}^* \exp(i\mathbf{k} \cdot \mathbf{r}) d_{-1} d\mathbf{r} = \frac{15}{4} \sin^3 \theta \cos \theta \exp(-3i\varphi)$$

$$\int d_{-1}^* \exp(i\mathbf{k} \cdot \mathbf{r}) d_{-1} d\mathbf{r} = \frac{15}{4} \sin^3 \theta \cos \theta \exp(3i\varphi)$$

$$\int d_{-1}^* \exp(i\mathbf{k} \cdot \mathbf{r}) d_{-1} d\mathbf{r} = \langle j_0 \rangle - \frac{5}{14} (3 \cos^2 \theta - 1) \\ - \frac{3}{14} (35 \cos^4 \theta - 30 \cos^2 \theta + 3) \langle j_4 \rangle$$

$$f\{e(t_{2g})\} = A^2 \langle j_0 \rangle + A^2 \frac{5}{7} (3 \cos^2 \theta - 1) \langle j_2 \rangle \\ + A^2 \frac{3}{56} (35 \cos^4 \theta - 30 \cos^2 \theta + 3) \langle j_4 \rangle \\ + B^* A \frac{15}{4} \sin^3 \theta \cos \theta \exp(-3i\varphi) \langle j_4 \rangle \\ + B A \frac{15}{4} \sin^3 \theta \cos \theta \exp(3i\varphi) \langle j_4 \rangle \\ + B^* B \langle j_0 \rangle - B^* B \frac{5}{14} (3 \cos^2 \theta - 1) \langle j_2 \rangle \\ - B^* B \frac{3}{14} (35 \cos^4 \theta - 30 \cos^2 \theta + 3) \langle j_4 \rangle \quad (2-63)$$

ここで $B = B_r + i B_i$ とすると、

$$f\{e(t_{2g})\} = \langle j_0 \rangle + \left(\frac{5}{7} A^2 - \frac{5}{14} B^* B\right) (3 \cos^2 \theta - 1) \langle j_2 \rangle \\ + \left(\frac{3}{56} A^2 - \frac{3}{14} B^* B\right) (35 \cos^4 \theta - 30 \cos^2 \theta + 3) \langle j_4 \rangle \\ + \frac{15}{2} A (B_r \cos 3\varphi - B_i \sin 3\varphi) \sin^3 \theta \cos \theta \langle j_4 \rangle \quad (2-64)$$

$f\{e(t_{2g})\}$ は $\int (A d_{-2} - B^* d_1) \exp(i\mathbf{k} \cdot \mathbf{r}) (A d_{-2} - B^* d_1) d\mathbf{r}$ やうも同一の式を得る。

$$\begin{aligned}
f\{e(e_g)\} &= \int (A'd_2 - B'd_{-1})^* \exp(ik \cdot r) (A'd_2 - B'd_{-1}) d\tau \\
&= A'^* A' \int d_2^* \exp(ik \cdot r) d_2 d\tau \\
&\quad - B'^* A' \int d_{-1}^* \exp(ik \cdot r) d_2 d\tau \\
&\quad - A'^* B' \int d_2^* \exp(ik \cdot r) d_{-1} d\tau \\
&\quad + B'^* B' \int d_{-1}^* \exp(ik \cdot r) d_{-1} d\tau
\end{aligned} \tag{2-65}$$

やはり $B' = B_r' + iB_i'$ とすると

$$\begin{aligned}
f\{e(e_g)\} &= \langle j_0 \rangle + \left(\frac{5}{7}A^2 - \frac{5}{14}B^*B\right)(3\cos^2\theta - 1) \langle j_2 \rangle \\
&\quad + \left(\frac{3}{56}A^2 - \frac{3}{14}B^*B\right)(35\cos^4\theta - 30\cos^2\theta + 3) \langle j_4 \rangle \\
&\quad - \frac{15}{2}A'(B_r' \cos 3\varphi - B_i' \sin 3\varphi) \sin^3\theta \cos\theta \langle j_4 \rangle
\end{aligned} \tag{2-66}$$

となり、同様の式が $\int (A'd_{-2} + B'^*d_1) \exp(ik \cdot r) (A'd_{-2} + B'^*d_1) d\tau$ からも得られる。また、

$$f(a) = \int d_0 \exp(ik \cdot r) d_0 d\tau \tag{2-67}$$

であるから

$$\begin{aligned}
f(a) &= \langle j_0 \rangle - \frac{5}{7}(3\cos^2\theta - 1) \\
&\quad + \frac{9}{28}(35\cos^4\theta - 30\cos^2\theta + 3) \langle j_4 \rangle
\end{aligned} \tag{2-68}$$

(2-64), (2-66), (2-68)式が本研究で用いた C_3 結晶場に於ける第一遷移金属イオンの非球対称軌道散乱因子である。

2-4 非調和熱振動の解析法

式(1-2)で示した 溫度因子 $T_j(Q)$ は 各原子が非調和項を含んだ 有効一体ポテンシャル V_j の場に置かれ、そこで独立に振動しているもののみなす Einstein 模型を仮定すると

$$T_j(Q) = \frac{\iiint_{-\infty}^{\infty} \exp[-V_j/k_B T] \exp(iQ \cdot u) du_1 du_2 du_3}{\iiint_{-\infty}^{\infty} \exp[-V_j/k_B T] du_1 du_2 du_3} \quad (2-68)$$

と表わせる。 有効一体ポテンシャルは 調和項と非調和項に分けて、

$$V_j = V_h + V_a$$

と表わせる。 Willis は ポテンシャルエネルギー V_h を、原子の平衡位置を原点にとり、原子の熱振動に基く変位 u_j の直交成分 u_1, u_2, u_3 で Taylor 級数展開し、式(2-65)に基いて 立方対称場中の原子に対する温度因子を求めた。 Tanaka & Marumo (1983) は あらゆる対称場にある原子に適応できる温度因子の表現を求めるため、Willis の方法を更に一般化した。 Tanaka & Marumo は、調和項から成る熱振動慣円体の主軸の方向と平行に基準の直交座標をとっている。この座標に基く熱振動パラメータは 格子系に基く他のパラメータと同時に精密化できる。

結晶内で ある原子が他の原子と独立に振動していると仮定すると ポテンシャル V は 平衡位置からの変位ベクトル u の成分 u_1, u_2, u_3 を用いて次のように表わされる。 尚し、 u_1, u_2, u_3 は 直交座標で 热振動慣円体の主軸方向と平行に定義されているものとする。

$$\begin{aligned} V(u) = & V_0 + \frac{1}{2} \sum_i b_i u_i^2 + \sum_i \sum_j C_{ijj} u_i u_j^2 + C_{123} u_1 u_2 u_3 \\ & + \sum_{i \leq j} g_{iijj} u_i^2 u_j^2 + \sum_{i \neq j} g_{iiji} u_i^3 u_j + \sum_i \sum_{j < k} g_{ijijk} u_i^2 u_j^2 u_k \\ & + (\text{higher terms}) \end{aligned} \quad (2-69)$$

本研究で用いた結晶中の金属の席対称は C_3 であるから 5 次以上の非調和項を無視すると、次のようなポテンシャルが得られる。

$$\begin{aligned}
 V(U) = & V_0 + \frac{1}{2} \{ b_1 (U_1^2 + U_2^2) + b_3 U_3^2 \} \\
 & + C_{111} (U_1^3 - 3U_1 U_2^2) + C_{222} (U_2^3 - 3U_1^2 U_2) \\
 & + C_{333} U_3^3 + C_{311} (U_1^2 U_3 - U_2^2 U_3) \\
 & + \gamma_{1111} (U_1'' + U_1^2 U_2^2 + U_2'') + \gamma_{3333} U_3'' \\
 & + \gamma_{1133} (U_1^2 U_3^2 + U_2^2 U_3^2) \\
 & + \gamma_{1131} (U_1^3 U_3 - 3U_1 U_2^2 U_3) \\
 & + \gamma_{2223} (U_2^3 U_3 - 3U_1^2 U_2 U_3)
 \end{aligned} \tag{2-70}$$

これらの独立な四つの C_{ijk} と五つの γ_{ijkl} を $\sum_{j=1}^m w_j (|F_{0jl} - |F_{Cjl}|)^2$ を最小化する最小二乗法によって求める。

表 2-1 減衰率とその標準偏差

アテニュエータ	減衰率	標準偏差
1	1.824	0.0002
2	3.420	0.0001
1および2	6.236	0.0004

表2-2 $\theta(\theta)$ の関数形 ($1 \leq 4$)

$1=0$	$1=1$	$1=2$
$\theta_{30} = \frac{1}{\sqrt{2}}$	$\theta_{10} = \frac{\sqrt{3}}{\sqrt{2}} \cos \theta$ $\theta_{1\pm 1} = \mp \frac{\sqrt{3}}{2} \sin \theta$	$\theta_{20} = \frac{1}{2\sqrt{2}} (3 \cos^2 \theta - 1)$ $\theta_{2\pm 1} = \mp \frac{\sqrt{15}}{2} \sin \theta \cos \theta$ $\theta_{2\pm 2} = \frac{\sqrt{15}}{4} \sin^2 \theta$
$1=3$	$1=4$	
$\theta_{30} = \frac{\sqrt{7}}{2\sqrt{2}} (2 \cos^3 \theta - 3 \sin^2 \theta \cos \theta)$ $\theta_{3\pm 1} = \mp \frac{\sqrt{21}}{4\sqrt{2}} \sin \theta (5 \cos^2 \theta - 1)$ $\theta_{3\pm 2} = \frac{\sqrt{105}}{4} \sin^2 \theta \cos \theta$ $\theta_{3\pm 3} = \mp \frac{\sqrt{35}}{4\sqrt{2}} \sin^3 \theta$	$\theta_{40} = \frac{3}{8\sqrt{2}} (35 \cos^4 \theta - 30 \cos^2 \theta + 3)$ $\theta_{4\pm 1} = \mp \frac{3\sqrt{5}}{4\sqrt{2}} \sin \theta \cos \theta (7 \cos^2 \theta - 3)$ $\theta_{4\pm 2} = \frac{3\sqrt{5}}{8} \sin^2 \theta (7 \cos^2 \theta - 1)$ $\theta_{4\pm 3} = \mp \frac{3\sqrt{35}}{4\sqrt{2}} \sin^3 \theta \cos \theta$ $\theta_{4\pm 4} = \frac{3\sqrt{35}}{16} \sin^4 \theta$	

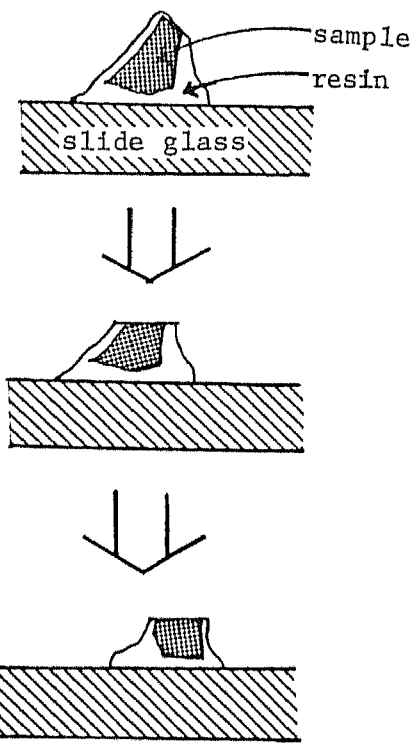


図2-1 結晶を樹脂でスライドグラス上に固定して
研磨する方法

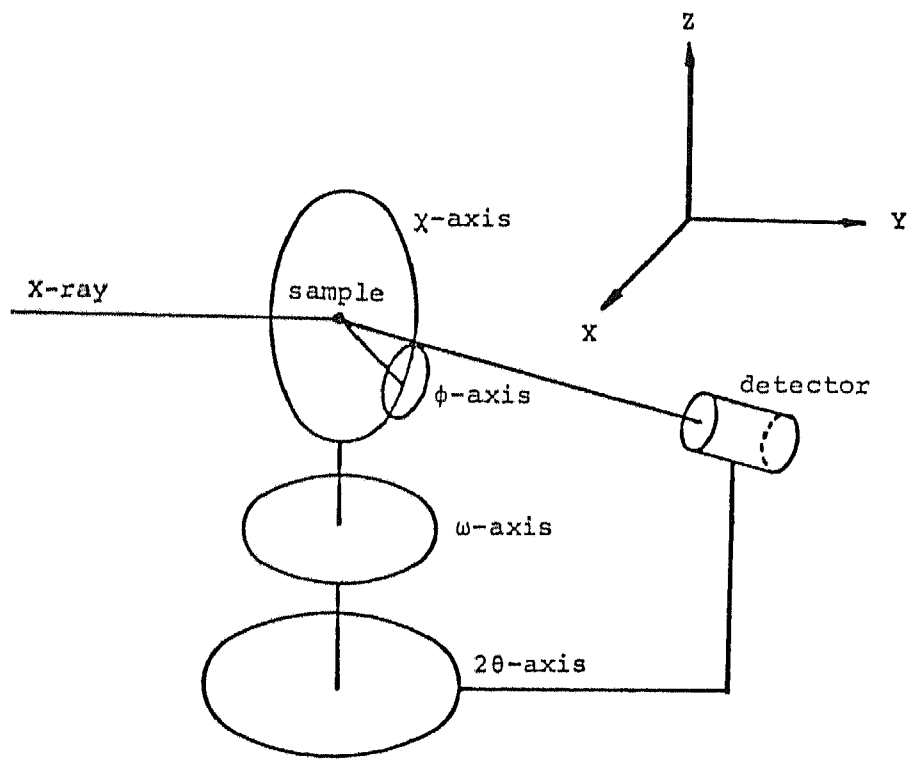


図2-2 四軸型単結晶自動X線回折計のゴニオメータ
の軸構成

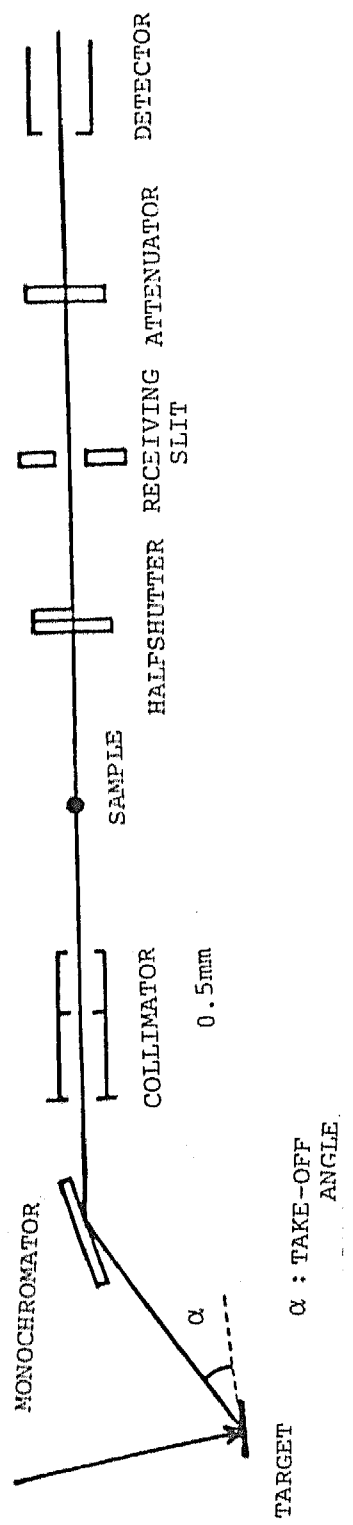


図 2—3 光学計の概略図

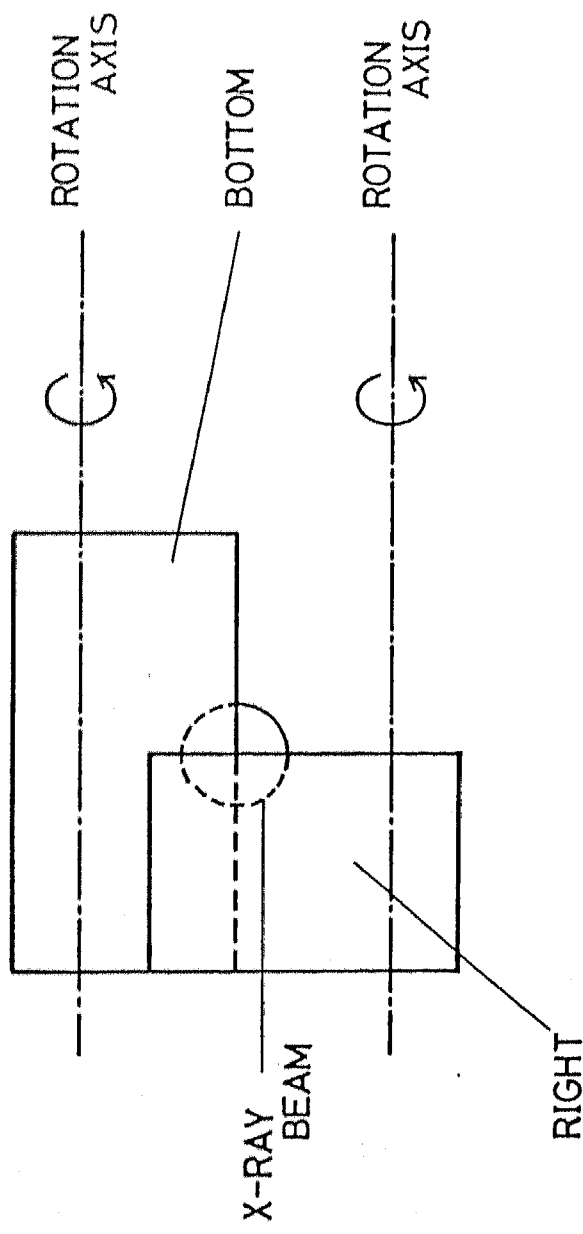


図2-4 受光スリット部
この部分は ハーフスリット(内蔵)と受光スリット(挿入式)
から成り立っている。ハーフスリットはRIGHT,BOTTOMの2種類
により成り立っている。

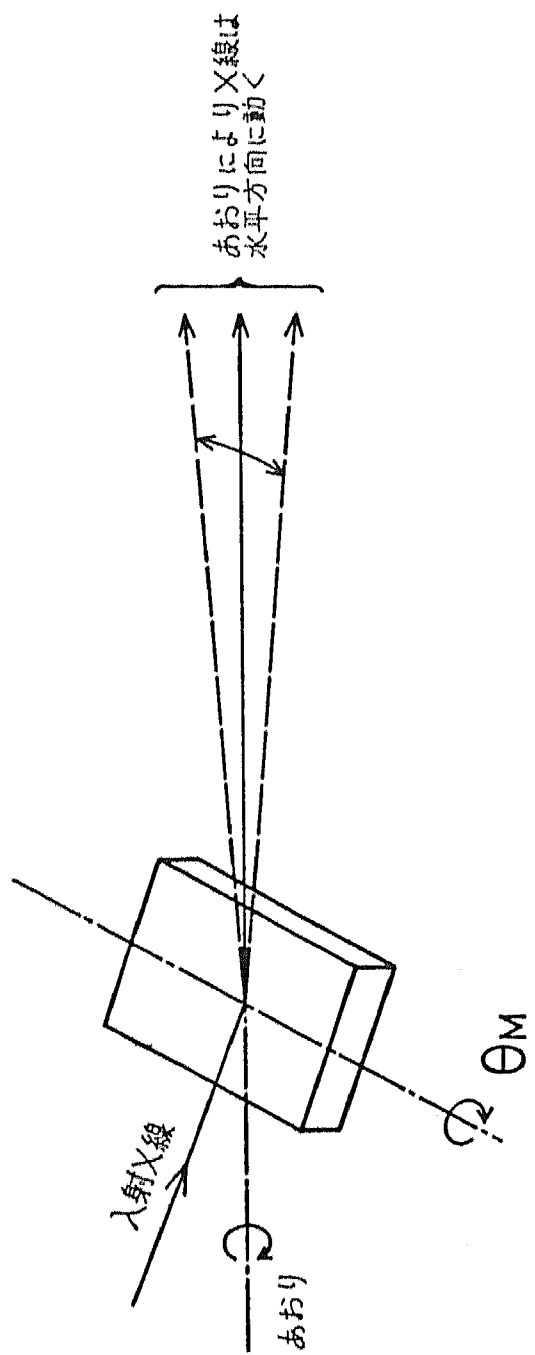
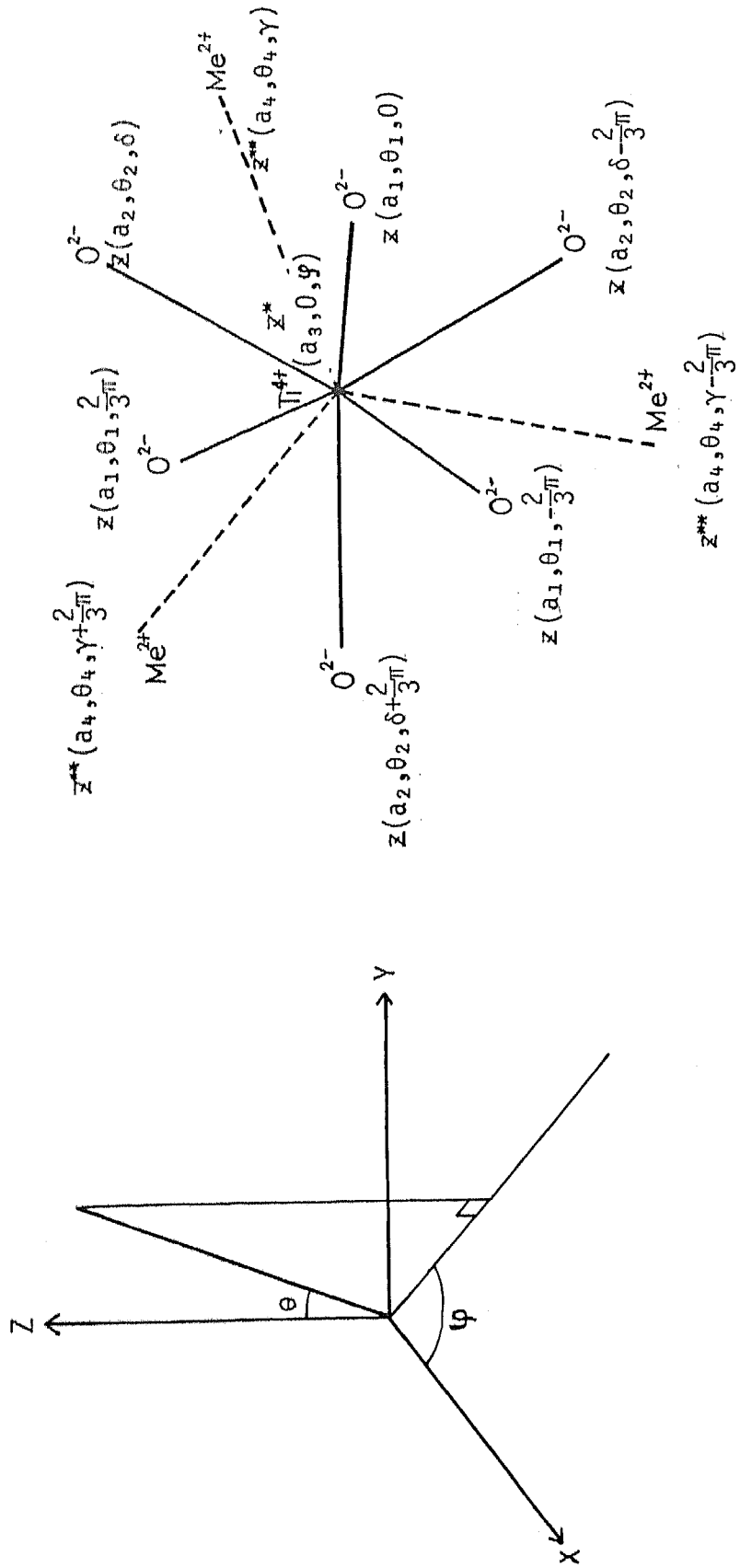


図2—5 モノクロメータ一部



(a)

(b)

図 2—6 (a) 極座表 (b) 量子化軸Zを3回軸方向にとった場合の
 C_3 結晶場に於ける点電荷の座標

第3章 チタン酸コバルトの単結晶X線構造解析

3-1 緒言

本研究では、Takei, Hosoya & Kojima (1982) によって、フロー・ティング・ゾーン法で合成された大型単結晶の一部を切り出して用いた。加熱源として、1.5 kW のW-Iランプ2個を用いた赤外線集中加熱式単結晶育成装置(図3-1)を用い、この時生ずる溶融層を上部にある焼結体原料棒と下部にある種子結晶との間の表面張力で支え、この状態の溶融層を徐々に上方に動かすことによって育成したものである。Takei等の方法を述べると以下のようになる。

酸化コバルト[CoO](和光純薬社製)と二酸化チタン[TiO₂](メルク社製)を出発物質とし、これらの等モル混合物をまず、CO₂-N₂ガス(CO₂/N₂=1~2)を流しながら焼結し、およそ10mmの直径で長さ80mmの棒状に静水圧成型する。この棒をCO₂-N₂ガス(CO₂/N₂=1~2)中で焼成して焼結棒とする。また、多結晶焼結棒を用いて結晶育成を行ない、得られた結晶塊の中から比較的大きな単結晶を取り出して、[10T0]を成長軸に方位切断し、種子結晶として用いる。結晶の育成速度は3.0mm/時である。また、種子結晶と焼結棒をそれぞれ反対の方向へ、30r.p.mで回転させた。合成された大型結晶は、およそ直径が6mm、長さが50~70mmであった。この大型結晶のうち中心部に近いところから一部分を取り出してX線回折強度測定用試料とした。

3-2 実験

前述の試料単結晶が入射X線中に完了し、各反射が同一条件の入射X線の下で強度測定されるように、結晶を直径0.16mmの球状に整形した(2章2節)。ワイセンベルグ写真を撮って結晶がイルメナイト型であることを確認した後、結晶を直径約0.06mmのガラス棒にエポキシ系接着剤で固定し、理学電機社製四軸型自動X線回折計(AFC-5)に取り付けた。まず、MoK α 線を用いて72°以上の2θの値26個を用いて最小二乗法により格子定数を決定した。表3-1に結晶学的データを示す。

強度データはMoK α 線を用い2θが130°以内の、逆格子空間の1/4の範囲にある反射を測定した。反射強度を30個測定する毎に標準反射の測定を行ない、入射X線の強度が一定であること、結晶がずれていないこと、を確めた。また、異方性消衰効果を補正する目的で、低角の強度の大きな反射についてのみ、全空間にわたり強度測定を行なった。測定条件をまとめ表3-2に示す。

Lorentz因子及び偏光因子に対する補正を施した後、吸収効果に対する補正を、International Tables for X-ray Crystallography(1967)中に記載されている吸収補正係数A*を用いて行なった。消衰効果の補正を行なうのに必要となる平均通過距離 $T = (dA^*/d\mu)/A^*$ をそれぞれの反射についてあらかじめ計算しておいた。ここで μ は線吸収係数であり、 $dA^*/d\mu$ は数値微分によって求められる。構造因子の絶対値|F|が計数の統計誤差に基いて計算した標準偏差 $\sigma(|F|)$ の4倍以下の弱い反射はデータセット

から消去し、以下の計算には用いなかった。

3-3 電子密度分布解析

二段階に分けて解析を行なった。まず、原子散乱因子として球対称原子散乱因子を用い、熱振動は調和振動のみを仮定した通常の方法で構造精密化を行なった。 Co^{2+} イオンは $3d$ 電子7個を持っており、球対称原子散乱因子を用いることは5個の $3d$ 軌道にそれぞれ $7/5$ 個ずつ電子が入っているとみなしたことになる。続いて Co^{2+} イオンの $3d$ 電子に、 Co^{2+} イオンの置かれている結晶場を仮定して求めた非球対称軌道散乱因子を用いた構造精密化を行なった。金属イオンの熱振動に非調和性も考慮して、最終的な解析とした。

a) 球対称原子散乱因子を用いた構造の精密化

出発モデルとして理想的なイルメナイト型構造であることを仮定し、Shirane, Pickart & Ishikawa (1958) が与えた FeTiO_3 の原子座標から出発して、最小二乗法による構造の精密化を行なった。 Co^{2+} 及び Ti^{4+} イオンの原子散乱因子ならびに異常分散項は、International Tables for X-ray Crystallography (1974) から引用した。 O^{2-} イオンについては、Tokonami (1965) による値を用いた。構造精密化の計算は、Becker & Coppens (1974a, 1974b, 1975) による異方性消衰効果による補正の機能をもつプログラム LINE-X を一部改訂したプログラムを

用いて行なった。結晶中のモザイクの広がりがガウス分布をしこりると仮定し、タイプII (Zachariasen, 1963, 1967; Coppens & Hamilton, 1970) の異方性消衰効果の補正を行なったところ、信頼度因子 R ($= \sum |F_o| - |F_c| | / \sum |F_o|$) 及び R_w ($= [\sum (|F_o| - |F_c|)^2 / \sum |F_o|^2]^{1/2}$) の値はそれぞれ 0.0138 , 0.0160 となった。一方、タイプIの消衰効果を仮定して構造の精密化を試みたところ計算は収束せず、 R 及び R_w 値は 0.0170 及び 0.0198 より小さくならなかつた。そこで、タイプIIの異方性消衰効果を仮定して得た結果を、より正しい近似として採択した。

構造精密化の後、等価な反射を平均して差フーリエ合成を行なつた。差フーリエ合成図上には、 Co^{2+} イオンの位置に -1.5 \AA^{-3} の負のピークが、また Ti^{4+} イオンの位置に 1.1 \AA^{-3} の正のピークが現れた。中性原子の散乱因子を用いて構造精密化した後の差フーリエ合成図上でも Co 及び Ti の位置に、それぞれ負と正のピークが現れた。そこで Co^{2+} イオンの位置に一部 Ti^{4+} イオンが入り Ti^{4+} イオンの位置に一部 Co^{2+} イオンが入っているモデル、 $(\text{Co}_q \text{Ti}_r)(\text{Ti}_u \text{Co}_v)_{O_{q+r+2(r+u)}}$ を仮定し、 q, r, u, v をパラメーターとして、 $q+r, u+v$ のうち大きな方の値を 1.0 に規格化するという制限のもとに最小二乗法によるパラメーターの精密化の計算を行なつた。 R 及び R_w 値は 0.0130 及び 0.0133 に下がり、 q, r, u, v としてそれぞれ $0.95(1)$, $0.04(2)$, $0.95(2)$, $0.05(1)$ という値を得た。従つて本研究で用いた結晶の組成式は、誤差の範囲内で CoTiO_3 であるが、構造的には陽イオンが部分的に無秩序配列をしており、 $(\text{Co}_{0.95} \text{Ti}_{0.05})(\text{Ti}_{0.95} \text{Co}_{0.05})_{\text{O}_3}$

と書くべき状態にあることがわかった。

b) Co^{2+} イオンの $3d$ 電子に非球対称軌道散乱因子を用いた電子密度分布解析

研究全体を通じ、各 $3d$ 軌道を占める電子に対する散乱因子を計算する際に用いる波動関数としては、その動径関数 $R(r)$ は自由原子の場合と同じ取り扱いをし、角度部分のみを対称性に応じて変化させたものを用いた。

Co^{2+} イオンの置かれている八面体結晶場は立方対称から歪んでおり、点群 C_3 の席対称をもつが、まず、最初に第一近似として D_{3d} 結晶場を仮定して非球対称軌道散乱因子を求め、構造精密化を行なった。正八面体結晶場中の $3d$ 軌道は基底状態において e_g 及び t_{2g} 軌道の二つの準位に分裂しているが、 D_{3d} 結晶場中では、 t_{2g} 軌道がさらに a_g と e_g 軌道に分かれ三つのエネルギー準位が存在する。点群 D_{3d} は正八面体対称の点群 O_h の部分群をなすので、正八面体結晶場における Co^{2+} イオンの $3d$ 軌道の波動関数を量子化軸を取り直して、 D_{3d} 結晶場中の波動関数に対応する形に書き直し、各軌道即ち a_g , $e_g(t_{2g})$, $e_g(e_g)$ 軌道の非球対称散乱因子をまざ求めた。これらの散乱因子を用いて、各軌道上の電子の数をパラメーターとして変化させることにより、 O_h 対称から D_{3d} 対称への歪みを取り入れた。なお、量子化軸の選び方は第2章、3節で述べたとおりである。このような仮定のもとに求められた波動関数はそれぞれ次のようないふで書き表わされる。

$$a_g : \psi_{320} \quad (3-1)$$

$$e_g(t_{2g}) : \left\{ \begin{array}{l} \sqrt{\frac{2}{3}} \psi_{322} + \sqrt{\frac{1}{3}} \psi_{32-1} \\ \sqrt{\frac{2}{3}} \psi_{32-2} - \sqrt{\frac{1}{3}} \psi_{321} \end{array} \right\} \quad (3-2)$$

$$e_g(e_g) : \left\{ \begin{array}{l} \sqrt{\frac{1}{3}} \psi_{322} - \sqrt{\frac{2}{3}} \psi_{32-1} \\ \sqrt{\frac{1}{3}} \psi_{32-2} + \sqrt{\frac{2}{3}} \psi_{321} \end{array} \right\} \quad (3-3)$$

また、これらの波動関数から求めた散乱因子は次のようになる。

$$f(a_g) = \langle j_0 \rangle - \frac{5}{7} (3 \cos^2 \theta - 1) \langle j_2 \rangle + \frac{9}{28} (35 \cos^4 \theta - 30 \cos^2 \theta + 3) \langle j_4 \rangle \quad (3-4)$$

$$f\{e_g(t_{2g})\} = \langle j_0 \rangle + \frac{5}{14} (3 \cos^2 \theta - 1) \langle j_2 \rangle - \frac{1}{28} (35 \cos^4 \theta - 30 \cos^2 \theta + 3) \langle j_4 \rangle$$

$$+ \frac{5}{\sqrt{2}} \sin^3 \theta \cos \theta \cos 3\varphi \langle j_4 \rangle \quad (3-5)$$

$$\begin{aligned} f\{e_g(e_g)\} &= \langle j_0 \rangle - \frac{1}{8} (35 \cos^4 \theta - 30 \cos^2 \theta + 3) \langle j_4 \rangle \\ &- \frac{5}{\sqrt{2}} \sin^3 \theta \cos \theta \cos 3\varphi \langle j_4 \rangle \end{aligned} \quad (3-6)$$

ここで $\langle j_n \rangle$ は、 n 次のベッセル関数で、その値は International Tables for X-ray Crystallography (1974) に表として与えられている。 θ と φ は、波動関数を求める際に Co^{2+} イオンに対し与えた座標系による散乱ベクトル (Weiss & Freeman, 1959; Iwata, 1977) の角度座標である。これらは非球対称軌道散乱因子は、主として Co^{2+} イオンによって占められている位置の Co^{2+} イオンについてのみ用いた。 Co^{2+} イオンの $3d$ 電子の数を合計 7 個に固定して、各軌道上の電子数を変化させ、構造精密化を行なったところ、最終 R 因子 及び R_w 因子はそれぞれ 0.0125, 0.0128 となり。 $a_g, e_g(t_{2g}), e_g(e_g)$ 各

軌道の電子数はそれぞれ 1.47, 3.52(8), 2.01(9) となつた。予想どおり 1 軌道当りの電子数は e_g (e_g) 軌道に対して最も小さな値となつた。 d 軌道のエネルギー準位を、八面体をつくっている 6 個の O^{2-} イオン、酸素八面体の稜を共有して隣接する 最近接の C_O^{4+} イオン および 3 回軸上の最近接の T_{1g}^{4+} イオンの位置にそれぞれ -2, +2 および +4 の点電荷をおいて概算したところ、エネルギー準位は序列が C_3 であることから予想されるとおり、三つに分かれし。 a 軌道が最もエネルギー準位が低く、次に $e(t_{2g})$ 軌道、そして $e(e_g)$ 軌道が最も高いエネルギー準位となるという結果が得られた。 D_{3d} 結晶場を仮定した 電子分布解析では a_g 軌道より $e_g(t_{2g})$ 軌道の方が 1 軌道当りの電子数が多いという結果が得られしており、この計算結果と矛盾している。そこで 真の対称 C_3 の結晶場に基いた $3d$ 軌道の波動関数から求めた散乱因子を用いて、再び電子分布解析を行なつた。得られた波動関数とそれに基づく散乱因子は 次に示すとおりである。

$$a : \psi_{320} \quad (3-7)$$

$$e(t_{2g}) : \left\{ \begin{array}{l} 0.8216 \psi_{322} + (0.5651 + 0.0749i) \psi_{32-1} \\ 0.8216 \psi_{32-2} - (0.5651 + 0.0749i) \psi_{321} \end{array} \right\} \quad (3-8)$$

$$e(e_g) : \left\{ \begin{array}{l} 0.5701 \psi_{322} - (0.8145 + 0.1079i) \psi_{32-1} \\ 0.5701 \psi_{32-2} + (0.8145 + 0.1079i) \psi_{321} \end{array} \right\} \quad (3-9)$$

$$f(a) = \langle j_0 \rangle - \frac{5}{7}(3 \cos^2 \theta - 1) \langle j_2 \rangle + \frac{9}{28}(35 \cos^4 \theta - 30 \cos^2 \theta + 3) \langle j_4 \rangle \quad (3-10)$$

$$\begin{aligned}
 f\{e(t_{2g})\} = & \langle j_0 \rangle + 0.3661 (3 \cos^2 \theta - 1) \langle j_2 \rangle \\
 & - 0.0335 (35 \cos^4 \theta - 30 \cos^2 \theta + 3) \langle j_4 \rangle \\
 & + (3.4824 \cos 3\varphi - 0.4612 \sin 3\varphi) \sin^3 \theta \cos \theta \langle j_4 \rangle
 \end{aligned} \tag{3-11}$$

$$\begin{aligned}
 f\{e(e_g)\} = & \langle j_0 \rangle - 0.0090 (3 \cos^2 \theta - 1) \langle j_2 \rangle \\
 & - 0.1272 (35 \cos^4 \theta - 30 \cos^2 \theta + 3) \langle j_4 \rangle \\
 & - (3.4824 \cos 3\varphi - 0.4612 \sin 3\varphi) \sin^3 \theta \cos \theta \langle j_4 \rangle
 \end{aligned} \tag{3-12}$$

(3-8) 及び (3-9) 式を (3-2) 及び (3-3) 式と比較してみると、現実の結晶場に基いた波動関数と O_h 場から求めた波動関数は、近似的に同一のものとみなすことが出来るくらい僅かな違いしかもないから、二つのモデルの対応する軌道を同一個数の電子が占める場合、その電子密度分布はほぼ同一の結果を与えるであろうと予想される。実際に、 $e_g(t_{2g})$ と $e_g(e_g)$ 軌道の代わりに $e(t_{2g})$ と $e(e_g)$ 軌道を考え、(3-11), (3-12) 式で与えられる散乱因子を用いて構造の精密化を行なった結果は誤差の範囲で D_{3d} 結晶場を仮定した場合と同一であった。

差フーリエ合成図上の Co^{2+} 及び Ti^{4+} イオンの周りの差の電子密度が 電子密度分布の非球対称性に起因するものか、あるいは非調和熱振動によるものかを解析することは、物性との関係を議論する上で不可欠である。そこで差フーリエ合成図上の Co^{2+} 及び Ti^{4+} イオンの周りの残差電子密度を説明するために (2-70) 式を用いて熱振動の非調和性を考慮に入れて構造精密化を行ない、最小二乗法

により非調和ポテンシャルを求めた。 Co^{2+} 及び Ti^{4+} イオンの置かれている席対称は、共に C_3 であるから、 Co^{2+} 及び Ti^{4+} イオンについて、位置パラメータ、スケール因子、消衰効果補正のパラメーター、各軌道の 3d 電子の数と共に、調和項と非調和項を交互に精密化した。その結果、 R 及び R_w 値はそれぞれ 0.0125 及び 0.0128 から 0.0121, 0.0125 に下がった。最終的に得られた座標、温度因子、軌道上の電子数及び消衰効果補正のパラメーターを表 3-3 に、調和ポテンシャル及び 3 次、4 次の非調和ポテンシャルパラメーターを表 3-4 に、また構造因子の実測値、計算値及び標準偏差を表 3-5 にそれぞれ示す。

3-4 結果および考察

図 3-2 に CoTiO_3 結晶中の、面を共有して C 軸方向へ連なる TiO_6 八面体と CoO_6 八面体、及びこれらと稜を共有して隣接する八面体とその周囲の様子をステレオ投影図で示した。それぞれの配位八面体は共有面の反対側が空隙になっており、3 回軸の周りに三つの共有稜をもっている。また陽イオンどうしの反発により、八面体の中心金属は共に空隙側にずれ、そのために酸素八面体は正八面体ではなく、三方対称に歪んでいる。

これらの CoO_6 及び TiO_6 八面体中の原子間距離を図 3-3 に示す。距離は Å 単位で与えられており、括弧内の数字は標準偏差である。 Co^{2+} イオンの半径 0.885 Å (Shannon, 1976) は、

Ti^{4+} のイオン半径 0.745 Å (Shannon, 1976) に比べて大きいため CoO_6 八面体の平均 $Co-O$ 結合距離 (2.113 Å) は TiO_6 八面体の平均 $Ti-O$ 結合距離 (1.979 Å) よりも大きい。 CoO_6 八面体に関しては、 TiO_6 八面体と共有面をなしている $O-O^{ii}$ 距離が、他の $O-O$ 距離に比べて最も短い。一方、 TiO_6 八面体に関しては共有稜をなしている $O-O^{vi}$ 距離が他に比べて最も短く、 TiO_6 八面体は 3 回軸方向にかなりつぶれた形になっていることがわかる。

陽イオンどうしの反発により、 Co^{2+} および Ti^{4+} イオンは八面体の中心から空隙の方向へ大きくずれており、特に TiO_6 八面体については、 Ti^{4+} イオンと共有面上の O^{2-} イオンの距離 $Ti-O$ が、反対側の非共有面上の O^{2-} イオンとの距離の 1.115 倍と、他のイルメナイト型またはコランダム型の結晶に比べて非常に大きい。例えばこの比は、本研究で用いた $CoTiO_3$ 結晶の CoO_6 八面体では 1.058、 Ti_2O_3 結晶 (Vincent, Yvon, Grütter & Ashkenazi, 1980) の TiO_6 八面体では 1.020、 V_2O_3 結晶 (Vincent, Yvon & Ashkenazi, 1980) の VO_6 八面体では 1.041、また、 $\alpha-Al_2O_3$ 結晶 (Lewis, Schalbenbach & Flack, 1982) の AlO_6 八面体では 1.063 である。

図 3-4, 3-5 は 球対称散乱因子のみを用いた通常の精密化の後の差フーリエ合成図である。前者は Co^{2+} , Ti^{4+} および共有面上の O^{2-} イオンを含む平面による断面であり、後者は (0001) 面に平行な断面で Co^{2+} イオンの位置の前後の様子を示している。図 3-4 から Co^{2+} および Ti^{4+} イオンの位置の周囲に残差電子密度が現れていることがわかる。また、図 3-4, 3-5 から Co^{2+} イオンの周囲に

6個の負と 8 個の正のピークの存在が観測される。Co-O結合上の負のピークは共有面側が Co^{2+} イオンの位置から 0.48\AA 、反対側が 0.50\AA の距離にあり、ピークの深さはそれぞれ -0.49 e\AA^{-3} と -0.78 e\AA^{-3} である。3回軸上の共有面側、 Co^{2+} イオンから 0.61\AA の位置に 0.54 e\AA^{-3} の高さの正のピークが存在し、その反対側 0.35\AA の位置に 0.63 e\AA^{-3} の高さの正のピークが存在する。残りの六つ正のピークも総て配位子を避ける方向に存在し、 Co^{2+} の位置から 0.42\AA の位置(共有面方向)にあるピークは 0.91 e\AA^{-3} の高さを、また 0.39\AA の位置(非共有面方向)にあるピークは 0.66 e\AA^{-3} の高さをもっている。このような 6 個の負と 8 個の正のピークの配置は、 $\gamma\text{-}\text{Co}_2\text{SiO}_4$ (Marumo, Isobe & Akimoto, 1970) の Co^{2+} イオンについても認められ、八面体場中の $3d$ 電子の非球対称的分布を示しているものと推定される。事実 C_3 結晶場を仮定して求めた非球対称原子散乱因子を用いて構造を精密化することにより、図 3-4 および 3-5 の Co^{2+} イオンの周りの残差電子密度は明らかに小さくなり(図 3-6)，これらのピークが $3d$ 電子の非球対称的な電子密度分布によることが裏付けられた。

図 3-6 で Ti^{4+} イオンの周りに 四つの大きな正のピークが観測される。それらのうち三つは共有面方向の Ti-O 結合上 Ti^{4+} イオンから 0.52\AA の位置に存在し、 0.87 e\AA^{-3} の高さをもっている。残りの一つのピークは、3回軸上やはり共有面方向にあり、 Ti^{4+} イオンの位置から 0.63\AA 離れており、 0.76 e\AA^{-3} の大きさをもっている。前述の三つの正のピークは 3回軸上の正のピークの方向にのびて、

つながっている。3回軸上の Ti^{4+} イオンの位置と、正のピークの間、 Ti^{4+} イオンの位置から 0.20\AA の位置に -0.94\AA の深さの負のピークが存在する。 Ti^{4+} イオンはこの負の領域に位置している。

Ti_2O_3 の場合、共有面をはさんでの Ti^{3+} イオンどうしの反発は、中心の Ti^{3+} イオンの非共有面方向への変位を伴った二つの八面体の変形と、3回軸に沿って金属-金属間に存在する d_{z^2} 軌道を占める3d電子によって緩和されている(Vincent et. al., 1980)。今回用いた $CoTiO_3$ 結晶の場合、 Ti^{4+} イオンには3d電子がないため、陽イオンビオルの反発は、その大部分が八面体の変形によって打ち消されなければならぬ。しかし、 Ti^{4+} イオンの周の3回軸上の正と負のピークは、 Ti^{4+} イオンの電子雲が変形し、 Co^{2+} イオンの方向に伸びることによって金属-金属間の反発を和げるのに貢献していることを示唆している。 CoO_6 八面体の場合、電子雲の歪みは3d電子の球対称な電子密度分布からの歪みという形で現れている。

Ti_2O_3 については TiO_6 八面体どうしの共有面をはさんだ、主としてe結合によると考えられる金属-金属間結合の存在が報告されている(Vincent et. al., 1980)。また V_2O_3 については VO_6 八面体の共有稜をはさんでのe_g金属-金属間結合の存在が報告されている(Vincent et. al., 1980)。 $CoTiO_3$ 結晶についても、金属-金属間結合の存在の有無を検討したが、差フーリエ合成図に、金属-金属間結合または共有結合性を示すピークは見いだされなかった。

2種類の非球対称原子散乱因子を用いた解析の結果、
Or結晶場を仮定した波動関数で第一近似としては充分に本研究で
用いた結晶の $3d$ 電子密度分布を説明できることがわかった。ま
た、 α 軌道の電子数が、 $e(t_{2g})$ 軌道よりも小さな値となり、計算
されたエネルギー準位と矛盾する結果となつた原因として次のこ
とが挙げられる。すなはち (1) α 軌道と $e(t_{2g})$ 軌道のエネルギー差が
小さいため、粗い近似計算では、エネルギー準位が逆転してしまう
可能性があること (2) データ処理の過程で熱散漫散乱、同時
反射などを考慮に入れていないことに基く誤差などである。

また、図3-6の Co^{2+} の周りには、 $3d$ 電子の非球対称的
な電子密度分布に由来すると考えられるピークに代わって、3回軸
上に正と負のピークが新たに現れ、 Co^{2+} イオンが零の等高線上にあ
ることが特徴的である。負のピークは、共有面の方向へ Co^{2+} イオ
ンの位置から 0.35\AA の距離にあり、 -0.50 e\AA^{-3} の深さをもつ。
また正のピークはその反対側 0.35\AA の距離にあり、その高さは
 0.48 e\AA^{-3} である。これは、非調和項も考慮に入れたポテンシャル
曲線が調和ポテンシャル曲線に比べて、3回軸上共有面側で
大きな勾配をもち、反対側の空隙方向ではゆるやかな勾配をもつ
ものと仮定すると差フーリエ合成図上、 Co^{2+} イオンの周りの3回
軸上の正、負のピークの現われる原因が説明できる。

熱振動の非調和性を考慮に入れた構造精密化後の差フーリ
エ合成図を 図3-7に示す。 Co^{2+} イオンの周りの3回軸上の
 -0.51 e\AA^{-3} と 0.48 e\AA^{-3} の負と正のピークは、最終的に -0.28 e\AA^{-3}

及び 0.33 eA^{-3} に下がり、 Ti^{4+} イオンから 3 回軸上、共有面方向へ、 0.20 \AA の距離にあった負のピークは -0.93 eA^{-3} から -0.82 eA^{-3} に、また共有面側の Ti-O 結合上に存在する三つの正のピークは 0.87 eA^{-3} から 0.78 eA^{-3} に下がった。これらの結果より、図 3-6 で得られた Co^{2+} イオンの周りの 3 回軸上の正、負のピークは非調和熱振動による部分が大きく、 Ti^{4+} イオンについてもやはり非調和熱振動の存在が示唆される。また、各 3d 軌道上の電子数には、非調和熱振動を考慮に入れて構造精密化を行なっても有意な変化が見られず、誤差の範囲内で同一の結果を得た。従って、 α 軌道と $e(t_{2g})$ 軌道の電子数が概算されたエネルギー準位と矛盾する原因として、非調和熱振動の効果による誤差を考えることは出来ない。非調和熱振動の効果が、静的電子密度分布の異方性に基く残差電子密度を取り除くことによって、明らかになったことは興味深い。

表 3-1 CoTiO_3 の結晶学的データ

Space group	$\bar{R}\bar{3}$
a	5.0662(2) Å
c	13.918(1)
z	6
D_x	4.998 gcm ⁻³
$\mu(\text{MoK}\alpha)$	115.5 cm ⁻¹

表3-2 CoTiO₃ の測定条件

Diameter of specimen	0.16 mm
Radiation	MoKa
Monochromator	Graphite
$2\theta_{\max}$	130°
Scan technique	$\omega - 2\theta$
Scan Speed	2°min^{-1} in 2θ
Number of measured reflections	2283
Number of used reflections	1714
Independent reflections	1053
Reflections for anisotropic extinction corrections	90

表3-3 $(Co_{0.95}Ti_{0.05})(Ti_{0.95}Co_{0.05})O_3$ の最終パラメーター

Positional and thermal parameters (\AA^2)					
Co	x	0		O	x
	y	0			y
	z	0.355124(9)			z
	U_{11}	0.00516(3)		U_{11}	0.00479(9)
	U_{33}	0.00612(4)		U_{22}	0.00543(9)
Ti	x	0		U_{33}	0.00578(9)
	y	0		U_{12}	0.00220(7)
	z	0.14504(1)		U_{13}	0.00028(7)
	U_{11}	0.00457(3)		U_{23}	0.00128(7)
	U_{33}	0.00444(4)		Extinction parameters (10^{-4}cm)	
Electron populations				G_{11}	97(20)
a	1.53			G_{22}	41(2)
$e(t_{2g})$	3.48(7)			G_{33}	147(10)
$e(e_g)$	1.99(8)			G_{12}	-41(6)
				G_{13}	2(10)
				G_{23}	42(4)

The form of the anisotropic temperature factor is as

$$\exp[-2\pi^2((h^2+k^2)a^*{}^2U_{11}+l^2c^*{}^2U_{33}+\frac{1}{2}hka^*{}^2U_{11})]$$

表3-4 調和 ($10^{-19} \text{J}\text{\AA}^{-2}$), 3次の非調和 ($10^{-19} \text{J}\text{\AA}^{-3}$) 及び
4次の非調和 ($10^{-19} \text{J}\text{\AA}^{-4}$) ポテンシャルパラメーター
(24 °C)

	Co	Ti
b_1	7.94(0.06)	8.98(0.08)
b_3	6.70(0.05)	9.23(0.08)
c_{111}	-0.3(0.3)	-0.3(0.5)
c_{222}	0.2(0.3)	-0.2(0.4)
c_{311}	1.5(0.7)	-4.7(1.4)
c_{333}	-0.7(0.4)	-2.8(1.3)
q_{1111}	4.7(1.9)	1.4(4.1)
q_{1133}	-31.9(12.3)	-13.7(33.0)
q_{3333}	9.6(3.5)	2.4(11.4)
q_{1131}	-1.6(11.0)	-64.3(23.5)
q_{2223}	11.6(9.8)	-2.4(21.2)

Values in parentheses are the e.s.d. s.

表3-5 構造因子の実測値 及び 計算値 ($\times 100$)

L	F0	FC	SIGF	L	F0	FC	SIGF	L	F0	FC	SIGF
H,K=	2-12			-6	2634	2619	13	-8	2295	2330	11
-4	3498	3514	14	-3	320	340	27	-2	1189	1121	12
-1	665	648	13	0	3606	3625	15	H,K=	6-11		
H,K=	3-12			H,K=	10-12			-16	1764	1761	8
-6	2502	2484	11	-2	1358	1361	8	-13	1214	1245	11
-3	482	506	18	H,K=	0-11			-10	3763	3780	18
0	3633	3645	15	-4	3363	3357	15	-7	1071	1057	13
H,K=	4-12			-1	756	782	12	-4	4517	4591	18
-11	249	250	31	H,K=	1-11			-1	1338	1353	11
-8	1698	1707	8	-6	2220	2208	10	H,K=	7-11		
-2	741	741	14	0	4368	4362	16	-18	2324	2339	11
H,K=	5-12			H,K=	2-11			-12	557	539	19
-10	2751	2728	13	-14	3332	3341	15	-6	3448	3435	15
-7	1052	1084	11	-11	707	649	14	-3	287	323	40
-4	4148	4136	16	-8	2121	2138	10	0	4237	4238	18
-1	904	915	12	-5	386	406	27	H,K=	8-11		
H,K=	6-12			-2	1017	977	12	-17	379	421	20
-6	2696	2698	12	H,K=	3-11			-14	3869	3911	15
0	4002	4005	17	-16	1703	1692	8	-11	231	200	42
H,K=	7-12			-13	1112	1129	10	-8	1986	1979	9
-10	309	300	26	-10	3551	3545	17	-5	514	502	22
-8	2130	2146	10	-7	971	953	13	-2	927	907	14
-2	1156	1153	11	-4	4377	4350	17	H,K=	9-11		
H,K=	8-12			-1	1216	1237	12	-13	852	894	11
-10	2723	2713	12	H,K=	4-11			-10	3480	3448	16
-7	949	970	11	-18	2524	2553	10	-7	722	688	15
-4	3957	3975	16	-15	326	296	28	-4	3993	4032	17
-1	808	794	13	-6	3072	3064	13	-1	927	969	13
H,K=	9-12			0	4685	4646	18	H,K=	10-11		
-9	457	476	17	-14	3815	3850	16	-12	528	524	15
								-9	416	398	21
								-6	3025	3033	13
								-3	536	543	18
								0	3494	3453	16

L	FO	FC	SIGF	L	FO	FC	SIGF	L	FO	FC	SIGF
H,K= 11-11				H,K= 5-10				-4	2981	2979	13
-5	636	655	13	-21	438	444	20	H,K= 11-10			
-2	644	538	14	-18	3186	3192	14				
				-9	417	377	29				
H,K= 0-10				-6	3617	3627	16	-12	334	308	24
				-3	619	590	20	-6	2150	2120	10
-14	2977	2964	13	0	5332	5341	26	-3	352	372	27
-8	2819	2831	12					0	4321	4362	16
-5	336	288	31	H,K= 6-10				H,K= 12-10			
-2	1845	1810	9								
				-20	3050	3082	13	-2	523	485	16
H,K= 1-10				-14	4417	4431	18				
				-11	530	566	24	H,K= 0 -9			
-16	847	779	12	-8	2631	2617	12				
-13	320	265	31	-2	1259	1225	12	-21	338	327	23
-10	5091	5083	24					-18	3116	3124	13
-7	362	397	31	H,K= 7-10				-9	418	399	28
-4	2939	2904	14					-6	3105	3122	14
-1	226	150	50	-16	905	856	13	-3	679	665	19
				-13	409	362	27	0	5414	5345	26
H,K= 2-10				-10	5766	5773	25	H,K= 1 -9			
				-7	529	504	23				
-18	2597	2597	12	-4	3184	3156	14				
-12	517	527	22	-1	244	148	48	-23	245	258	31
-6	3688	3697	15					-20	2596	2584	12
0	4577	4555	18	H,K= 8-10				-14	5075	5056	18
								-11	341	300	35
H,K= 3-10				-18	3235	3242	13	-8	2199	2201	10
				-12	371	219	30	-5	753	713	17
-20	3217	3206	15	-9	382	360	30	-2	957	927	15
-17	354	330	28	-6	2944	2938	14				
-14	3957	3972	18	-3	612	608	20	H,K= 2 -9			
-8	2965	2977	14	0	5283	5304	26				
-2	1719	1695	11					-22	2103	2132	10
				H,K= 9-10				-16	2950	2969	14
H,K= 4-10								-13	894	886	15
				-17	579	539	15	-10	4150	4134	19
-22	381	345	21	-14	3977	4006	16	-7	1420	1429	11
-19	398	367	24	-11	910	943	14	-4	5926	5897	25
-16	751	739	16	-8	2058	2034	10	-1	1196	1179	13
-13	425	374	27	-5	703	689	17				
-10	6120	6085	25	-2	817	758	16	H,K= 3 -9			
-7	509	508	24								
-4	3139	3098	14	H,K= 10-10				-24	3215	3253	15
-1	261	161	46					-18	3756	3781	15
				-16	1028	988	9	-15	367	341	33
				-10	4370	4406	16	-6	3531	3526	16

L	FO	FC	SIGF	L	FO	FC	SIGF	L	FO	FC	SIGF
H,K= 6 -7				-7	358	352	34	-13	922	907	13
				-4	4043	4097	19	-10	6818	6791	20
-26 517 495	20							-7	2309	2257	10
-23 561 566	21			H,K= 11 -7				-4	9333	9337	18
-20 4132 4162	19							-1	1256	1159	8
-17 780 780	17			-18 2722 2719	12						
-14 6033 6017	25			-6 2935 2920	13			H,K= 3 -6			
-11 1450 1431	11			0 4617 4646	18						
-8 3617 3531	17							-30 2709 2709	11		
-5 1055 1028	12			H,K= 12 -7				-27 529 547	22		
-2 1540 1546	9							-24 4113 4106	19		
H,K= 7 -7				-11 1198 1240	9			-21 524 479	23		
				-8 1638 1621	8			-18 5746 5816	25		
				-5 1008 1010	12			-15 1008 986	12		
-25 681 686	15			-2 509 453	20			-12 1211 1067	11		
-22 990 915	13							-9 619 559	15		
-16 1593 1605	11			H,K= 0 -6				-6 4577 4681	20		
-13 418 439	29							-3 799 683	11		
-10 7105 7061	24			-30 2488 2472	10			0 11928 11878	18		
-7 800 731	15			-27 347 300	28						
-4 4970 4923	24			-24 3851 3801	18			H,K= 4 -6			
				-18 5136 5181	18						
H,K= 8 -7				-15 552 542	21			-26 579 495	20		
				-12 840 811	14			-23 624 610	21		
-24 3358 3361	16			-6 4201 4217	16			-20 5054 5106	18		
-21 612 614	19			-3 971 755	11			-17 746 765	17		
-18 3871 3830	19			0 9888 9870	20			-14 6486 6537	23		
-15 405 390	31							-8 5373 5359	20		
-9 773 744	17			H,K= 1 -6				-5 892 840	10		
-6 4138 4182	19							-2 3388 3396	14		
-3 1051 1049	13			-26 1101 1099	12						
0 6467 6465	24			-23 554 591	23			H,K= 5 -6			
				-20 4136 4136	19						
H,K= 9 -7				-17 876 817	15			-28 2855 2824	12		
				-14 7190 7244	23			-25 459 451	26		
-23 810 849	12			-11 447 401	22			-22 2628 2623	12		
-20 3221 3227	14			-8 3958 4001	15			-16 3855 3931	18		
-17 1078 1090	13			-5 1302 1272	9			-13 598 585	18		
-14 4925 4909	18			-2 2028 2063	9			-10 6382 6416	21		
-11 1523 1552	11							-7 1773 1739	8		
-8 2474 2432	11			H,K= 2 -6				-4 8941 8946	19		
-5 1311 1299	12							-1 812 796	12		
-2 841 795	16			-31 301 276	26						
				-28 2876 2861	13			H,K= 6 -6			
H,K= 10 -7				-25 701 702	18						
				-22 2715 2714	13			-30 2343 2345	11		
-16 1600 1571	10			-19 531 528	23			-27 532 538	20		
-10 4857 4793	18			-16 3987 4044	18			-24 4002 3955	18		

L	F0	FC	SIGF	L	F0	FC	SIGF	L	F0	FC	SIGF
-21	521	526	24	H,K=	11	-6		-2	1798	1837	8
-18	5022	5046	18	-16	1706	1670	8	H,K=	3	-5	
-15	981	965	14	-10	3910	3935	18				
-12	683	701	17	-4	4027	4071	19	-31	633	631	16
-9	650	602	16					-28	4098	4073	18
-6	4244	4293	16					-25	695	650	19
-3	369	259	23	H,K=	12	-6		-22	1906	1874	10
0	9828	9870	20								
				-6	2672	2666	12	-19	1375	1389	11
H,K=	7	-6		-3	279	292	37	-16	3428	3451	14
				0	3982	4005	17	-13	1840	1754	8
-23	685	670	18					-10	8684	8806	18
-20	4981	5011	18	H,K=	0	-5		-7	649	629	11
-17	664	646	19					-4	10702	10786	16
-14	4702	4690	18	-31	618	631	15	-1	2832	2774	12
-8	5219	5195	23	-28	3689	3641	17				
-5	454	446	23	-25	624	625	20	H,K=	4	-5	
-2	3600	3573	16	-22	2071	2028	10				
				-19	1259	1257	12	-30	1581	1521	9
H,K=	8	-6		-16	3454	3492	14	-24	6137	6211	26
				-13	1406	1385	9	-18	3709	3743	18
-25	238	178	39	-10	7426	7528	20	-15	1306	1296	10
-22	1923	1914	9	-7	548	536	15	-12	1933	1872	9
-16	2857	2890	13	-4	9723	9716	18	-9	1561	1495	8
-10	5176	5191	25	-1	2104	1990	9	-6	8798	8815	17
-7	707	668	17					-3	924	831	9
-4	6452	6473	24	H,K=	1	-5		0	9931	9962	16
-1	380	270	28								
				-30	1620	1565	9	H,K=	5	-5	
H,K=	9	-6		-24	6053	6128	26				
				-21	459	449	26	-26	1442	1415	11
-24	3377	3334	15	-18	3818	3858	18	-23	436	465	29
-21	294	236	35	-15	1442	1444	10	-20	4024	4015	18
-18	3622	3571	15	-12	1780	1705	8	-17	737	723	16
-15	537	544	23	-9	1723	1659	8	-14	8265	8299	22
-9	267	260	46	-6	8444	8578	17	-11	379	254	23
-6	3538	3544	16	0	10233	10237	16	-8	3684	3681	14
0	6654	6636	25					-5	1372	1340	8
				H,K=	2	-5					
H,K=	10	-6						H,K=	6	-5	
				-32	2222	2226	10				
-20	3932	3945	16	-26	1058	1071	13	-28	3842	3821	16
-17	536	594	21	-20	4722	4759	18	-25	322	340	36
-14	3125	3082	13	-17	243	194	41	-22	1431	1411	11
-11	241	240	50	-14	8548	8618	21	-19	976	946	14
-8	4078	4084	19	-11	1174	1136	9	-16	2583	2623	11
-5	381	296	32	-8	4512	4535	18	-13	1061	1044	12
-2	2893	2901	13	-5	250	68	26	-10	7568	7600	21

L	FO	FC	SIGF	L	FO	FC	SIGF	L	FO	FC	SIGF
-10	8014	8101	18	0	6606	6630	25	H,K=	1	-2	
-7	1099	1006	8					-30	1555	1545	11
-4	11009	11136	16	H,K=	10	-3		-27	404	416	30
-1	843	762	9	-20	3703	3742	15	-24	7650	7721	24
				-17	538	568	20	-21	682	613	16
				-14	3116	3119	13	-18	4314	4401	15
-30	2657	2685	12	-8	3801	3847	16	-15	2518	2518	12
-27	488	475	23	-2	2651	2671	12	-12	3517	3357	17
-24	4129	4057	19					-6	17283	17200	21
-21	490	456	25	H,K=	11	-3		-3	5178	5176	10
-18	5690	5734	25					0	16590	16654	23
-15	875	863	14	-16	1539	1533	8	3	10764	11040	13
-12	875	1068	15	-13	477	505	21	6	15295	15250	21
-9	430	416	21	-10	3725	3728	17				
-6	4465	4598	20	-7	410	347	27	H,K=	2	-2	
-3	781	720	11	-4	3934	3946	18				
0	11891	11878	18	-1	601	621	20	-26	1380	1285	12
								-20	5603	5709	22
H,K=	7	-3		H,K=	12	-3		-17	831	795	13
								-14	11011	11120	17
-29	337	315	25	-9	407	446	21	-11	1103	1042	8
-23	728	711	18	-6	2501	2483	11	-8	7082	7137	13
-20	5326	5359	26	-3	610	644	16	-5	1596	1570	7
-17	606	622	21	0	3592	3625	16	-2	3415	3375	11
-14	4833	4858	18					4	18243	18200	20
-8	5691	5672	22	H,K=	-2	-2		10	12623	12566	14
-5	401	357	23								
-2	3904	3961	15	0	12784	12741	13	H,K=	3	-2	
H,K=	8	-3		H,K=	-1	-2		-34	2897	2858	12
								-28	4689	4687	18
-25	284	297	35	4	16404	16247	23	-22	1816	1780	10
-22	1700	1689	10					-19	709	726	15
-19	693	717	19	H,K=	0	-2		-16	3376	3524	15
-16	2687	2716	12					-13	1459	1264	7
-13	598	576	21	-34	3265	3233	15	-10	12616	12595	15
-10	5476	5507	25	-31	351	325	31	-7	1020	746	7
-4	6635	6634	23	-28	4390	4386	19	-4	13905	14058	16
-1	741	736	15	-22	2424	2442	11	-1	3274	3216	13
				-19	991	836	11				
H,K=	9	-3		-16	4413	4552	19	H,K=	4	-2	
				-13	1457	1430	7				
-24	3255	3197	15	-10	12431	12566	14	-33	301	354	28
-18	3713	3690	15	-7	1150	1090	6	-30	1592	1558	10
-9	231	189	53	-4	18265	18200	20	-24	6839	6841	25
-6	3514	3485	16	-1	3304	3291	11	-21	505	527	23
-3	404	509	30					-18	4021	4044	17

L	FO	FC	SIGF	L	FO	FC	SIGF	L	FO	FC	SIGF	
-15	1822	1807	8	-20	2868	2815	12	-26	718	759	18	
-12	2292	2310	10	-17	798	794	17	-20	6616	6723	21	
-9	2392	2358	11	-14	6322	6362	26	-17	703	679	12	
-6	11479	11268	15	-11	785	772	17	-14	10674	10835	16	
-3	1685	1744	7	-8	2373	2393	11	-11	1836	1818	8	
0	12694	12741	18	-5	1364	1386	11	-8	10041	10107	12	
				-2	1019	900	12	-5	241	221	16	
H,K=	5 -2							-2	7525	7464	10	
				H,K=	9 -2				4	18184	18445	22
-26	1530	1488	11					10	15256	15176	18	
-23	680	682	19	-22	756	712	14					
-20	4242	4305	18	-16	1367	1300	11	H,K=	1 -1			
-17	1053	1017	12	-10	5766	5822	26					
-14	8768	8837	21	-4	4114	4148	19	-34	3308	3259	16	
-11	470	486	17					-28	4690	4676	19	
-8	4239	4312	18	H,K=	10 -2			-25	517	516	23	
-5	1962	1918	9					-22	2205	2210	10	
-2	1962	1956	9	-18	2865	2860	13	-16	4576	4252	18	
				-15	459	508	24	-13	559	522	13	
H,K=	6 -2			-6	3035	3047	14	-10	15142	15176	18	
				0	5243	5304	26	-7	3135	3183	12	
-31	231	140	35					-4	18412	18445	23	
-28	4125	4124	17	H,K=	11 -2			-1	1115	1257	5	
-25	231	267	51									
-22	1169	1072	13	-14	4099	4100	14	H,K=	2 -1			
-16	2074	2119	10	-8	1418	1423	10					
-13	416	344	24	-5	797	807	14	-33	743	785	15	
-10	8699	8732	21	-2	522	472	21	-30	3094	3109	14	
-7	438	395	20					-27	1582	1604	11	
-4	7100	7192	19	H,K=	12 -2			-24	5946	5931	25	
-1	1171	1116	8					-21	2478	2438	12	
				-4	2560	2541	12	-18	6300	6270	20	
H,K=	7 -2							-15	2161	2165	9	
				H,K=	-2 -1			-6	15491	15250	22	
-24	4870	4858	18					-3	10918	11040	13	
-21	313	337	39	-10	12492	12595	15	0	16637	16654	23	
-18	3499	3506	16	-4	13993	14058	17	6	17397	17200	22	
-15	941	937	14					H,K=	3 -1			
-12	1051	955	13	H,K=	-1 -1							
-9	938	914	13									
-6	5885	5848	22	-6	15179	15250	15	-29	679	707	19	
-3	731	697	14	-3	10798	11040	13	-26	900	917	16	
0	7607	7714	21	0	16930	16654	23	-23	473	429	25	
				6	17106	17200	21	-20	5709	5812	23	
H,K=	8 -2							-17	396	376	22	
				H,K=	0 -1			-14	9947	10079	18	
-26	1341	1325	9					-11	2401	2371	10	
-23	605	576	18	-29	281	254	42	-8	6671	6689	14	

L	FO	FC	SIGF	L	FO	FC	SIGF	L	FO	FC	SIGF
-5	1201	1197	6	-25	673	645	17	H,K=	-3	0	
-2	3075	3089	13	-22	2155	2157	10				
4	16339	16247	23	-19	483	459	26	0	22045	21972	24
				-16	3164	3170	14				
H,K=	4	-1		-13	859	845	15	H,K=	-2	0	
				-10	5784	5799	24				
-31	358	370	28	-7	1522	1478	10	4	17929	18200	20
-28	3842	3789	19	-4	6956	7074	22	10	12549	12566	14
-25	735	755	18	-1	867	873	13				
-22	2439	2391	12					H,K=	-1	0	
-19	476	429	22	H,K=	8	-1					
-16	3869	3948	16					-10	15225	15176	13
-13	578	602	14	-24	3840	3799	16	-4	18225	18445	17
-10	9854	9988	17	-21	563	551	20				
-7	2895	2776	12	-18	3287	3264	14	H,K=	0	0	
-4	12071	12034	14	-12	713	680	19				
-1	640	578	10	-9	493	509	25	-33	1088	1117	11
				-6	4815	4856	18	-30	3760	3844	16
H,K=	5	-1		-3	718	705	17	-27	953	948	15
				0	5705	5796	24	-24	4739	4785	18
-30	2545	2543	11					-21	733	725	15
-27	1048	1049	13	H,K=	9	-1		-18	9228	9083	19
-24	5002	5008	19					-15	2105	2077	10
-21	1458	1467	11	-23	633	651	13	-12	4031	3627	15
-18	4887	4875	17	-20	3185	3133	13	-6	4956	4643	10
-15	1196	1195	10	-17	830	847	15	-3	1580	1961	6
-12	985	857	11	-14	4550	4567	18				
-9	1900	1819	9	-11	1230	1250	12	H,K=	1	0	
-6	7974	8124	17	-8	2457	2411	11				
-3	3222	3197	13	-5	1004	980	14	-26	738	759	18
0	9758	9962	16	-2	834	851	16	-23	259	187	42
								-20	6643	6723	21
H,K=	6	-1		H,K=	10	-1		-17	702	679	12
								-14	10767	10835	16
-29	848	877	13	-16	2169	2165	10	-11	1841	1818	8
-26	671	674	18	-13	495	477	22	-8	10025	10107	12
-23	720	733	18	-10	3485	3476	15	-5	230	221	17
-20	4409	4419	19	-7	838	835	15	-2	7410	7464	10
-17	990	997	14	-4	4468	4528	18	4	18000	18445	23
-14	7106	7095	23	-1	602	604	20	10	15190	15176	18
-11	1753	1746	9								
-8	3617	3709	16	H,K=	11	-1		H,K=	2	0	
-5	1192	1174	9								
-2	1360	1371	8	-12	579	605	15	-34	3243	3233	15
				-6	3045	3042	13	-31	286	325	38
H,K=	7	-1		0	3447	3453	17	-28	4389	4386	19
								-25	311	191	37
-28	2688	2636	13					-22	2443	2442	11

L	F0	FC	SIGF	L	F0	FC	SIGF	L	F0	FC	SIGF
-19	852	836	13	-24	3820	3801	15	H,K=	-4	1	
-16	4459	4552	19	-18	5189	5181	18				
-13	1460	1430	7	-15	542	542	22	4	12034	12034	14
-10	12562	12566	14	-12	797	811	15				
-7	1122	1090	6	-6	4227	4217	16	H,K=	-3	1	
-4	17939	18200	20	-3	769	755	13				
-1	3264	3291	11	0	9703	9870	20	-4	16399	16247	17
H,K= 3 0				H,K= 7 0				H,K= -2 1			
-33	899	931	12	-23	516	509	22	-6	17504	17200	22
-30	3406	3417	15	-20	4633	4599	18	0	16732	16654	23
-27	755	746	17	-17	492	450	25	3	10965	11040	10
-24	4574	4513	18	-14	4675	4624	18	6	15479	15250	16
-21	636	622	18	-8	4621	4609	17				
-18	7654	7641	21	-2	3015	2993	13	H,K=	-1	1	
-15	1479	1465	8					4	18384	18445	23
-12	2223	2204	10	H,K= 8 0				10	15159	15176	18
-6	5601	5789	14								
-3	1654	1585	7	-22	1357	1367	10				
0	22102	21972	24	-19	1092	1102	12	H,K=	0	1	
				-16	2324	2285	11				
H,K= 4 0				-13	1076	1112	14	-34	3329	3259	16
				-10	4805	4785	18	-31	246	215	45
-20	6191	6119	24	-7	927	920	15	-28	4697	4676	19
-14	7166	7275	20	-4	5767	5775	25	-25	561	516	21
-11	939	920	10	-1	1253	1290	12	-22	2196	2210	10
-8	7118	7128	17					-16	4129	4252	19
-2	4896	4865	15	H,K= 9 0				-13	586	522	12
								-10	15250	15176	18
H,K= 5 0				-21	285	327	28	-7	3130	3183	12
				-18	3140	3124	13	-4	18270	18445	22
-31	615	631	15	-6	3117	3122	14	-1	1120	1257	5
-28	3652	3641	18	-3	640	665	20				
-25	651	625	19	0	5302	5345	26	H,K= 1 1			
-22	2067	2028	10								
-19	1264	1257	12	H,K= 10 0				-33	401	433	25
-16	3482	3492	14					-30	1621	1545	10
-13	1403	1385	10	-14	2992	2964	13	-27	400	416	31
-10	7384	7528	20	-11	227	184	43	-24	7734	7721	25
-7	670	536	13	-8	2799	2831	13	-21	657	613	16
-4	9720	9716	18	-5	307	288	35	-18	4348	4401	15
-1	2002	1990	9	-2	1791	1810	9	-15	2522	2518	12
								-12	3498	3357	12
H,K= 6 0				H,K= 11 0				-6	17176	17200	21
								-3	5279	5176	10
-30	2489	2472	10	-4	3316	3357	15	0	16980	16654	23
-27	274	300	37	-1	753	782	12	3	10776	11040	13

L	F0	FC	SIGF	L	F0	FC	SIGF	L	F0	FC	SIGF
6	15219	15250	21	-17	835	817	15	H,K=	10	1	
				-14	7232	7244	23				
H,K=	2	1		-11	399	401	24	-12	234	127	34
				-8	3953	4001	15	-6	2224	2208	10
-26	1019	1003	14	-5	1297	1272	9	0	4327	4362	16
-23	629	606	19	-2	2024	2063	9				
-20	5819	5882	23					H,K=	-4	2	
-17	1144	1119	10	H,K=	6	1					
-14	9759	9809	18					0	12692	12741	18
-11	506	431	13	-28	3882	3860	15				
-8	7586	7593	14	-25	645	639	17	H,K=	-3	2	
-5	2007	1962	9	-16	1300	1309	12				
-2	4973	4929	12	-13	305	271	37	4	13931	14058	12
4	14003	14058	17	-10	8011	7964	23	10	12636	12595	15
10	12499	12595	15	-7	630	607	17				
				-4	4939	4924	22	H,K=	-2	2	
H,K=	3	1		-1	412	426	24				
								-10	12676	12566	14
-31	383	348	26	H,K=	7	1		-4	18355	18200	20
-28	4747	4705	18								
-25	625	598	21	-24	4006	3986	16	H,K=	-1	2	
-22	1261	1237	12	-18	3280	3253	16				
-16	2560	2523	12	-15	695	721	19	-6	15309	15250	15
-13	314	250	25	-12	481	525	26	-3	10805	11040	13
-10	11807	11894	17	-9	619	616	20	0	16844	16654	17
-7	1669	1578	8	-6	4482	4469	18	6	17351	17200	21
-4	9937	9821	14	0	6419	6465	24				
-1	1403	1342	6					H,K=	0	2	
				H,K=	8	1					
H,K=	4	1									
				-23	228	258	35	-29	295	252	40
-30	1600	1565	9	-20	2606	2584	12	-26	1272	1285	12
-27	301	264	38	-17	429	434	26	-23	288	267	38
-24	6178	6128	26	-14	5062	5056	18	-20	5622	5709	22
-21	474	449	25	-11	371	300	33	-17	862	795	11
-18	3869	3858	18	-8	2186	2201	10	-14	11125	11120	17
-15	1424	1444	10	-5	721	713	18	-11	1099	1042	8
-12	1767	1705	8	-2	921	927	15	-8	7234	7137	13
-9	1715	1659	8					-5	1589	1570	7
-6	8584	8578	17	H,K=	9	1		-2	3444	3375	11
-3	1055	1000	8					4	18273	18200	20
0	10165	10237	16	-16	822	779	13	10	12439	12566	14
				-13	213	265	48	H,K=	1	2	
H,K=	5	1		-10	5067	5083	24				
				-4	2860	2904	14	-34	3534	3486	15
-26	1125	1099	12					-31	214	147	49
-23	594	591	21					-28	3887	3863	19
-20	4135	4136	19					-25	499	465	25

L	FO	FC	SIGF	L	FO	FC	SIGF	L	FO	FC	SIGF
-22	2828	2812	14	-24	4309	4294	18	H,K=	10	2	
-16	4711	4782	20	-21	971	972	15				
-10	11121	11022	15	-18	4133	4115	19	-4	3485	3514	14
-7	3139	3110	11	-15	631	673	20	-1	625	648	14
-4	16420	16247	16	-12	784	610	15				
-1	321	385	15	-9	1067	1041	12	H,K=	-3	3	
				-6	6155	5876	22				
H,K=	2	2		-3	1640	1591	9	0	21918	21972	24
				0	7335	7358	21				
-33	588	612	15					H,K=	-2	3	
-30	2868	2859	13	H,K=	6	2					
-27	1291	1309	12					4	16232	16247	16
-24	5378	5399	26	-26	573	562	16				
-21	1914	1922	9	-23	332	328	32	H,K=	-1	3	
-18	5526	5573	22	-20	3715	3681	15				
-15	1630	1588	8	-17	458	446	27	-10	12763	12595	15
-9	2646	2636	10	-14	5750	5698	25	-4	14112	14058	16
-6	10498	10359	14	-11	900	887	15				
-3	5478	5326	14	-8	3022	3004	13	H,K=	0	3	
0	12784	12741	13	-5	467	439	24				
				-2	1206	1198	11	-33	942	959	11
H,K=	3	2						-30	3357	3395	15
				H,K=	7	2		-27	775	789	17
-29	524	496	21					-24	4538	4540	19
-26	1093	1071	13	-22	2099	2132	9	-21	683	677	17
-20	4764	4759	18	-19	521	501	21	-18	7718	7617	21
-14	8616	8618	21	-16	2955	2969	14	-15	1576	1549	8
-11	1196	1136	9	-13	880	886	16	-12	2328	2181	10
-8	4529	4535	18	-10	4115	4134	19	-9	1218	1160	7
-2	1770	1837	8	-7	1418	1429	11	-6	5746	5811	14
				-4	5920	5897	25	-3	1518	1405	7
H,K=	4	2		-1	1199	1179	12	0	22136	21972	24
-31	298	276	27	H,K=	8	2		H,K=	1	3	
-28	2899	2861	13								
-25	691	702	18	-18	2616	2597	12	-29	579	587	21
-22	2722	2714	13	-12	548	527	21	-26	609	583	21
-19	489	528	25	-6	3771	3697	15	-23	401	337	29
-16	4085	4044	18	0	4508	4555	18	-20	5830	5813	24
-13	936	907	13					-17	365	393	26
-10	6769	6791	20	H,K=	9	2		-14	8450	8505	19
-7	2315	2257	10					-11	2174	2030	10
-4	9322	9337	18	-14	3325	3341	15	-8	6450	6425	16
-1	1195	1159	8	-11	626	649	16	-5	1151	1070	7
				-8	2135	2138	10	-2	3573	3580	15
H,K=	5	2		-5	390	406	27	4	12071	12034	14
				-2	982	977	13				
-27	682	662	15								

L	FO	FC	SIGF	L	FO	FC	SIGF	L	FO	FC	SIGF
H,K=	2	3		H,K=	6	3		-10	10728	10738	18
-31	639	631	16	-24	3276	3253	15	-7	2111	1977	10
-28	4101	4073	18	-18	3778	3781	15	-4	9509	9375	15
-25	658	650	20	-6	3545	3526	15	-1	489	428	14
-22	1886	1874	10	0	6627	6636	24	H,K=	1	4	
-19	1392	1389	11					-30	1545	1521	9
-16	3417	3451	14	H,K=	7	3		-27	279	172	41
-13	1793	1754	8	-20	3218	3206	15	-24	6253	6211	26
-10	8789	8806	18	-17	342	330	30	-21	294	326	40
-7	598	629	12	-14	3972	3972	18	-18	3741	3743	18
-4	10838	10786	16	-8	2979	2977	14	-15	1300	1296	10
-1	2812	2774	12	-2	1787	1695	10	-12	1935	1872	9
H,K=	3	3						-9	1566	1495	8
				H,K=	8	3		-6	8751	8815	17
-30	2716	2709	11					-3	792	831	10
-27	552	547	21	-16	1707	1692	8	0	9920	9962	16
-24	4134	4106	19	-13	1094	1129	11				
-21	513	479	24	-10	3562	3545	17	H,K=	2	4	
-18	5852	5816	25	-7	960	953	13	-26	511	495	23
-15	997	986	13	-4	4346	4350	17	-23	617	610	21
-12	986	1067	13	-1	1226	1237	11	-20	5121	5106	18
-9	573	559	16					-17	791	765	16
-6	4560	4681	20	H,K=	9	3		-14	6593	6537	23
-3	763	683	11					-8	5425	5359	20
0	11931	11878	18	-9	292	284	27	-5	849	840	11
				-6	2479	2484	11	-2	3399	3396	14
H,K=	4	3		-3	490	506	19				
				0	3646	3645	15				
-20	4758	4741	19					H,K=	3	4	
-14	5979	5938	24	H,K=	-3	4					
-11	836	824	15					-28	4011	4017	16
-8	4557	4525	16	-4	12170	12034	14	-25	787	800	16
-5	429	341	22					-19	381	384	32
-2	2610	2547	12	H,K=	-2	4		-16	1424	1444	11
								-13	446	400	24
H,K=	5	3		0	12818	12741	13	-10	8675	8604	22
								-7	934	933	12
-25	821	833	14	H,K=	0	4		-4	5304	5326	21
-22	1534	1513	10					-1	421	350	21
-19	1464	1472	11	-31	456	463	21				
-16	2637	2642	12	-28	4301	4306	18	H,K=	4	4	
-13	1581	1587	11	-25	790	793	17				
-10	5595	5604	25	-22	1546	1504	11	-24	4580	4595	17
-7	1259	1250	11	-19	394	360	27	-21	249	149	46
-4	6917	6898	23	-16	2697	2742	12	-18	3251	3225	14
-1	1856	1860	9	-13	379	366	22	-15	602	629	21

L	FO	FC	SIGF	L	FO	FC	SIGF	L	FO	FC	SIGF
-12	1050	984	13	H,K=	1	5		H,K=	5	5	
-9	603	554	19								
-6	5473	5442	23	-28	2862	2824	12	-21	432	444	20
-3	430	373	25	-25	483	451	24	-18	3174	3192	14
0	6671	6668	22	-22	2619	2623	12	-12	241	160	48
				-16	3897	3931	18	-9	324	377	37
H,K=	5	4		-13	605	585	18	-6	3595	3627	16
				-10	6430	6416	21	-3	600	590	21
-23	291	265	32	-7	1785	1739	8	0	5340	5341	26
-20	3468	3447	15	-4	9010	8946	19				
-17	359	387	33	-1	812	796	11	H,K=	6	5	
-14	5075	5058	18								
-8	3184	3154	14	H,K=	2	5		-14	3855	3850	16
-5	440	451	27					-8	2315	2330	11
-2	1681	1704	10	-27	647	653	16	-2	1134	1121	12
				-24	4108	4071	18				
H,K=	6	4		-21	983	1004	14	H,K=	7	5	
				-18	4440	4404	19				
-22	385	345	21	-15	784	738	16	-10	2723	2728	13
-19	376	367	26	-9	1165	1161	11	-7	1032	1084	11
-16	786	739	15	-6	5538	5522	22	-4	4124	4136	16
-13	407	374	29	-3	1823	1773	8	-1	898	915	13
-10	6109	6085	25	0	7796	7714	21				
-7	502	508	24					H,K=	0	6	
-4	3135	3098	14	H,K=	3	5					
				-26	889	904	12	-30	2360	2345	10
H,K=	7	4		-20	3483	3473	16	-27	528	538	19
				-17	351	303	35	-24	3990	3955	19
-18	2549	2553	12	-14	6242	6178	25	-21	571	526	22
-15	264	296	35	-8	2905	2907	13	-18	5061	5046	18
-6	3068	3064	13	-5	505	484	22	-15	975	965	13
0	4612	4646	18	-2	1162	1171	11	-12	697	701	16
								-9	628	602	16
H,K=	8	4						-6	4293	4293	16
				H,K=	4	5		-3	318	259	27
-11	291	250	27					0	9854	9870	20
-8	1678	1707	8	-25	560	570	15				
-2	862	741	13	-22	2298	2306	10	H,K=	1	6	
				-19	480	488	24				
H,K=	0	5		-16	3213	3231	14	-26	544	495	19
				-13	973	892	14	-23	531	566	22
-26	1445	1415	11	-10	4300	4326	19	-20	4193	4162	19
-23	471	465	26	-7	1536	1543	11	-17	784	780	17
-20	4007	4015	19	-4	6332	6355	24	-14	6069	6017	25
-17	736	723	16	-1	1314	1264	11	-11	1437	1431	11
-14	8346	8299	22					-8	3588	3531	14
-8	3672	3681	14					-5	1055	1028	11
-5	1356	1340	8					-2	1557	1546	9

L	FO	FC	SIGF	L	FO	FC	SIGF	L	FO	FC	SIGF
H,K=	2	6		H,K=	0	7		0	4249	4238	18
-25	665	681	15	-25	689	686	15	H,K=	5	7	
-22	1415	1361	10	-22	949	915	13				
-19	1297	1294	12	-19	347	329	34	-8	2138	2146	10
-16	2420	2429	11	-16	1624	1605	11	-2	1152	1153	11
-13	1409	1397	11	-13	370	439	32				
-10	5665	5582	25	-10	7105	7061	24	H,K=	0	8	
-7	1146	1104	12	-7	796	731	15				
-4	6520	6489	24	-4	4902	4923	24	-23	435	458	21
-1	1661	1666	10	-1	248	160	40	-20	2672	2649	13
								-17	637	680	19
H,K=	3	6		H,K=	1	7		-14	5694	5668	26
								-11	553	563	22
-24	3438	3396	15	-24	4258	4238	15	-8	2204	2162	10
-21	339	326	30	-21	261	273	41	-5	1062	1076	13
-18	3664	3654	15	-18	2940	2903	14	-2	807	776	16
-15	699	707	18	-15	259	272	46				
-9	437	448	28	-12	1002	1002	14	H,K=	1	8	
-6	3598	3594	16	-6	5075	5076	18				
0	6624	6630	25	-3	311	182	36	-22	1881	1890	9
				0	5750	5796	24	-16	2685	2681	12
H,K=	4	6						-13	628	582	20
				H,K=	2	7		-10	4053	4035	19
-20	3060	3082	13					-7	1067	1081	13
-14	4442	4431	18	-23	354	350	24	-4	5505	5435	26
-11	542	566	23	-20	3747	3803	17	-1	895	856	15
-8	2645	2617	12	-17	468	411	24				
-5	326	284	37	-14	4145	4124	18	H,K=	2	8	
-2	1304	1225	12	-11	274	147	43				
				-8	3687	3677	16	-18	3218	3242	13
H,K=	5	6		-2	2315	2324	10	-9	367	360	31
								-6	2971	2938	14
-16	1775	1761	8	H,K=	3	7		-3	658	608	19
-13	1229	1245	11					0	5330	5304	26
-10	3763	3780	18	-19	302	355	31				
-7	1096	1057	12	-16	892	856	13	H,K=	3	8	
-4	4606	4591	18	-13	356	362	32				
-1	1340	1353	11	-10	5787	5773	25	-14	3866	3911	15
				-7	517	504	24	-8	1981	1979	9
H,K=	6	6		-4	3163	3156	14	-5	516	502	21
								-2	929	907	14
-12	283	194	29	H,K=	4	7					
-6	2672	2698	12					H,K=	4	8	
0	3975	4005	16	-18	2333	2339	10				
				-12	534	539	20	-10	2714	2713	12
				-6	3407	3435	15	-7	940	970	11
				-3	444	323	26	-4	3941	3975	16

L	FO	FC	SIGF	L	FO	FC	SIGF	L	FO	FC	SIGF	
-1	794	794	13	H,K=	2	9		H,K=	1	10		
	H,K= 0 9			-13	880	894	11	-12	505	524	16	
				-10	3465	3448	16	-9	405	398	21	
-18	2860	2855	14	-7	706	688	15	-6	3041	3033	13	
-15	668	711	17	-4	4038	4032	17	-3	508	543	19	
-9	546	536	22	-1	949	969	13	0	3461	3453	16	
-6	3239	3259	14									
-3	460	381	27	H,K=	3	9		H,K=	2	10		
0	5335	5345	26		-9	418	476	19	-2	1342	1361	8
	H,K= 1 9				-6	2638	2619	12				
					-3	352	340	24	H,K=	0	11	
-17	545	539	16	0	3634	3625	15					
-14	4007	4006	16					-5	648	655	13	
-11	912	943	13	H,K=	0	10		-2	673	538	13	
-8	2052	2034	10									
-5	693	689	18	-16	1012	988	9					
-2	771	758	16	-10	4432	4406	16					
				-4	3016	2979	13					
				-1	272	219	39					

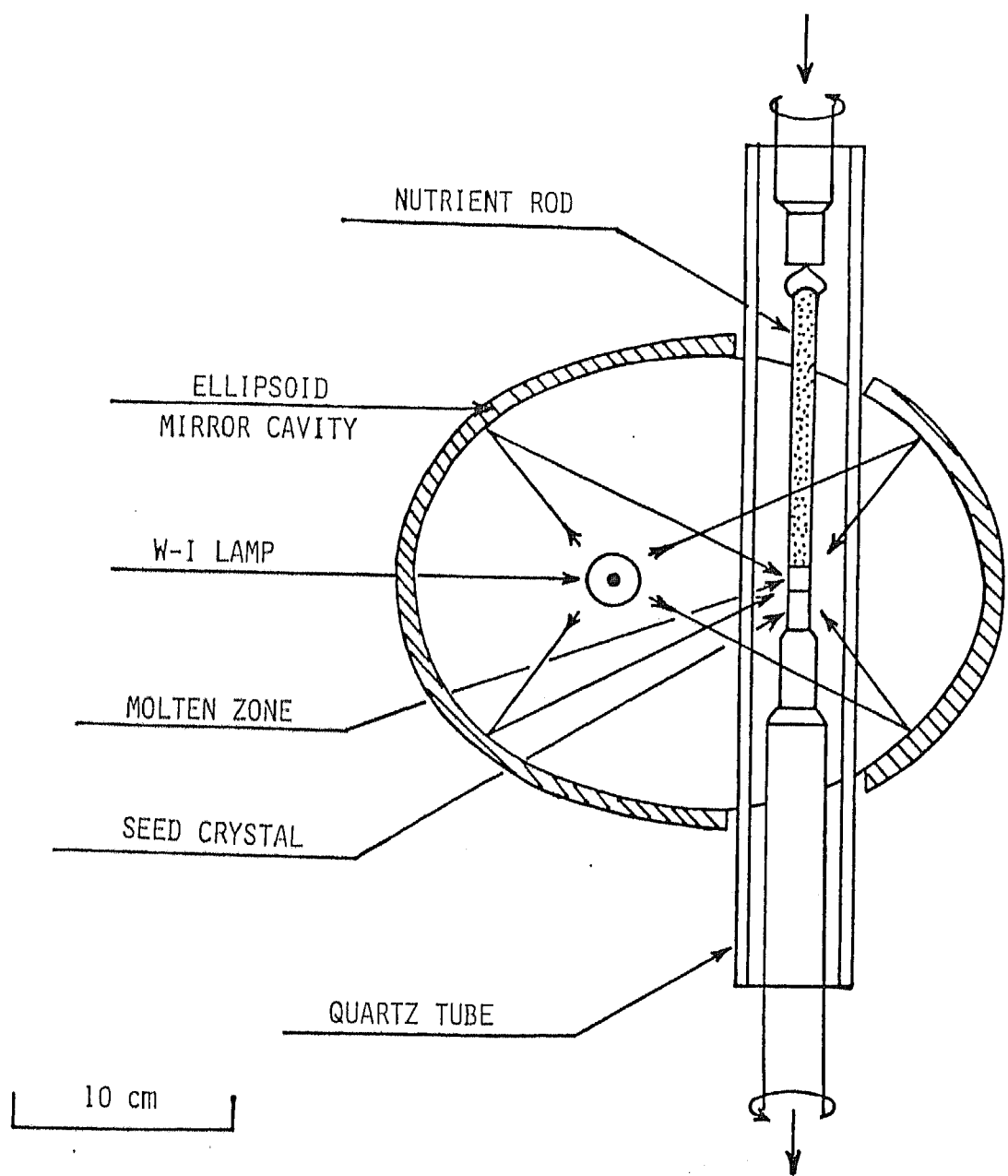


図3-1 赤外線集中加熱式単結晶育成装置の概略図

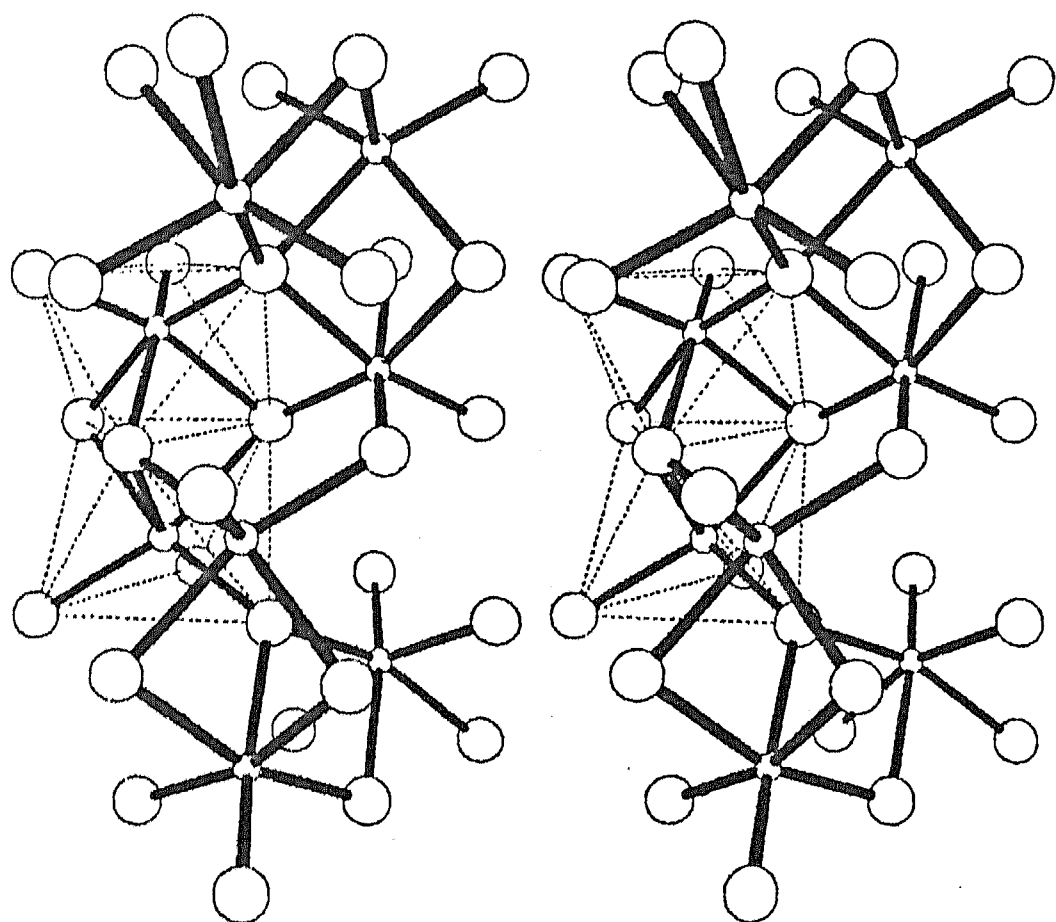


図3-2 CoO_6 及び TiO_6 八面体とその周囲の様子を示す
ステレオ投影図。白丸の大きさの順に O^{2-} , Co^{2+} ,
 Ti^{4+} イオンを表わす。

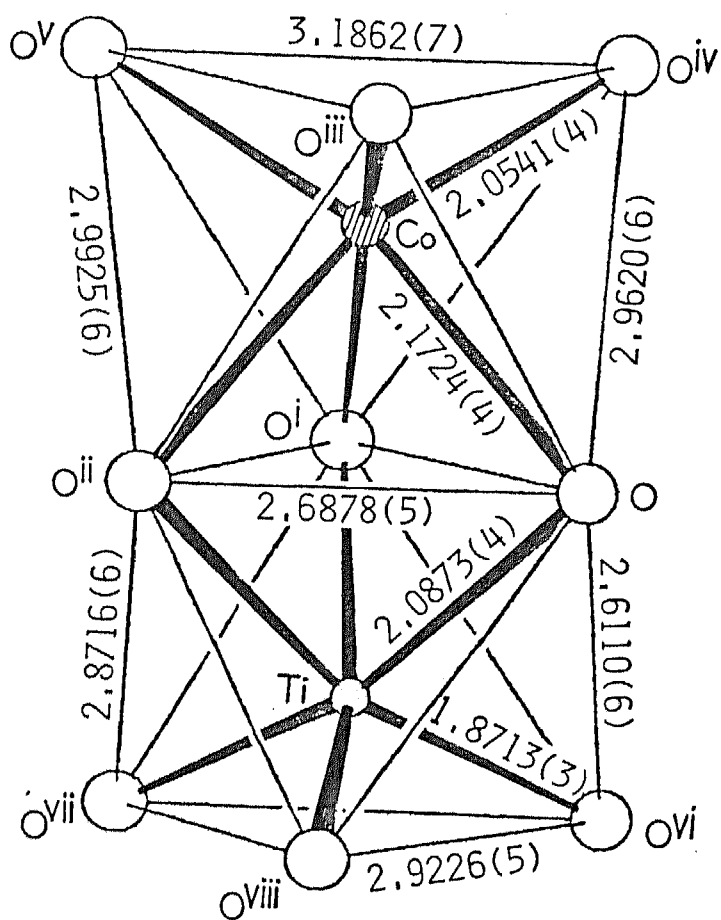


図3-3 CoO_6 及び TiO_6 八面体に於ける原子間距離 (\AA)

対称コード : (i) $-y, x-y, z$; (ii) $y-x, -x, z$;
 (iii) $1/3-x, 2/3-y, 2/3-z$; (iv) $1/3+y, 2/3-x+y, 2/3-z$;
 (v) $1/3+x-y, 2/3+x, 2/3-z$; (vi) $2/3-x, 1/3-y, 1/3-z$;
 (vii) $2/3+y, 1/3-x+y, 1/3-z$; (viii) $2/3+x-y, 1/3+x, 1/3-z$.

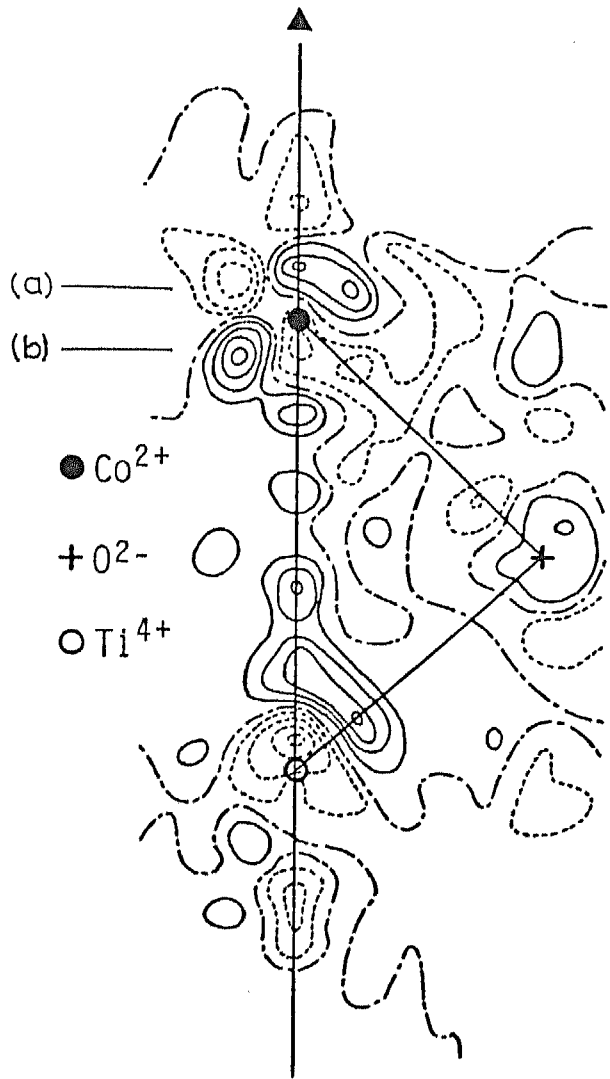
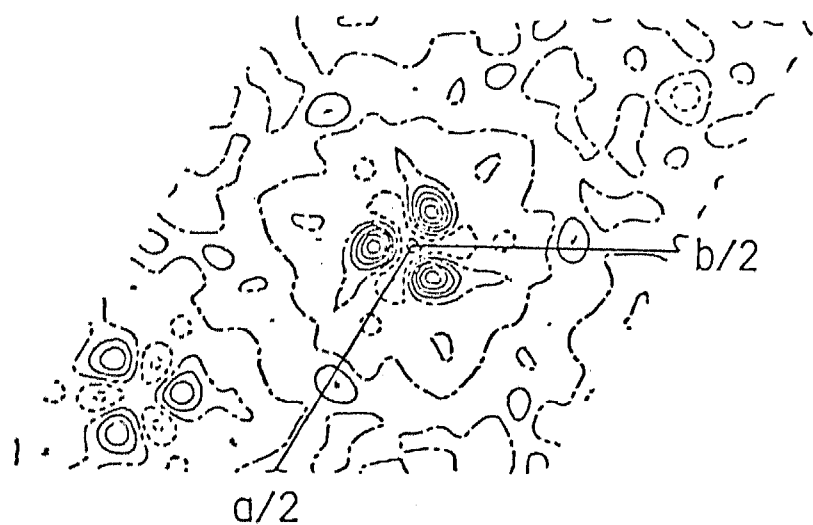


図3-4 球対称原子散乱因子を用いて構造精密化を行った後に得られた差フーリエ合成図の Co^{2+} , Ti^{4+} , O^{2-} イオン及び3回軸を含む断面。等高線の間隔は $0.2 \text{ e}\AA^{-3}$ で、破線は負、一点鎖線は零、実線は正を示す。(a), (b)は $Z=0.37$, $Z=0.34$ の断面の位置を示す。



(a)



(b)

図3-5 球対称原子散乱因子を用いて構造精密化を行った後に得られたCo イオン付近の差フーリエ合成図。 (a) $Z=0.37$, (b) $Z=0.34$ 。等高線の間隔は $0.2 \text{ e}\AA^{-3}$ で、破線は負、一点鎖線は零、実線は正を示す。

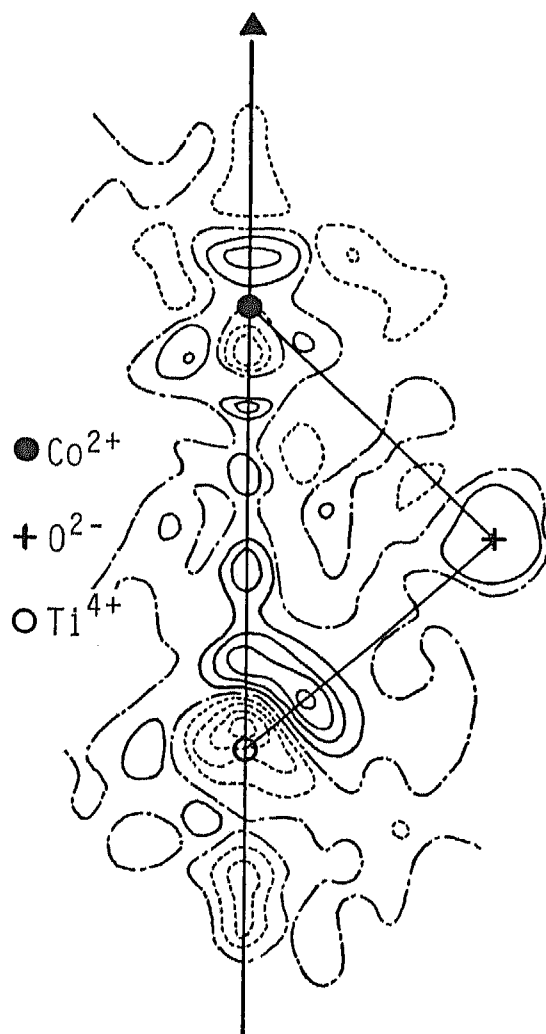


図3-6 C_3 結晶場に基いて求めた非球対称原子散乱因子を用いて構造精密化を行った後に得られた差フーリエ合成図の Co^{2+} , Ti^{4+} , O^{2-} イオン及び3回軸を含む断面。等高線の間隔は $0.2 \text{ e}\text{\AA}^{-3}$ で、破線は負、一点鎖線は零、実線は正を示す。

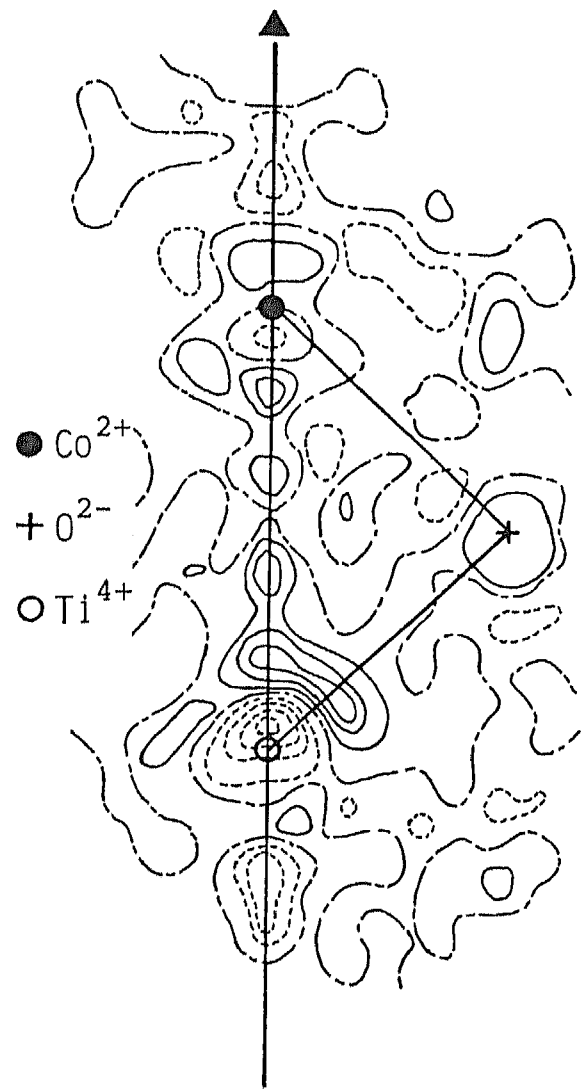


図3-7 Co^{2+} イオンの非球対称原子散乱因子を用い、 Co^{2+} 及び Ti^{4+} イオンの非調和熱振動を考慮した構造精密化の後に得られた差フーリエ合成図の Co^{2+} , Ti^{4+} , O^{2-} イオン及び3回軸を含む断面。等高線の間隔は $0.2 \text{ e}\AA^{-3}$ で、破線は負、一点鎖線は零、実線は正を示す。

第4章 チタン酸マンガンの単結晶X線構造解析

4-1 実験

解析には、 CoTiO_3 の場合と同様、赤外線集中加熱式単結晶育成装置を用いてフローティングゾーン法によって合成された大型単結晶 (Takei, Hosoya & Kojima, 1982) の一部を切り出して用いた。格子定数は $\text{MoK}\alpha$ 線を用いて四軸型自動X線回折計により、 88° 以上の値をもつ39個の 2θ 値を測定し、これらの値を用いて最小二乗法により決定した。得られた値を他の結晶学的データとともに表4-1に示す。

結晶を球状に整形し、 CoTiO_3 と同様の方法で積分反射強度を測定した。独立な $1/6$ の逆格子空間について測定を行ない、合計2453個の反射データを得た。測定条件は表4-2に示すとおりである。 Lorentz 因子、偏光因子及び吸收効果に対する補正を CoTiO_3 結晶の場合と同じ手順で行ない、消衰効果に対する補正も CoTiO_3 結晶と同様、構造精密化の段階で Becker & Coppens (1974a, 1974b, 1975) の方法により行なった。なお、構造因子の絶対値 $|F|$ が標準偏差の $(|F|)$ の3倍以下の弱い反射は、データセットから消去し、以下の計算には用いなかった。

4-2 電子密度分布解析

2段階に分けて電子密度分布の解析を行なった。まず、総ての構成イオンに対して、 CoTiO_3 の場合と同様、自由イオンの与える球対称原子散乱因子を用い、熱振動は調和振動のみを考慮して通常の方法で解析した。続いて Fe^{2+} 及び Ti^{4+} イオンの熱振動に非調和性を考慮して解析を行なった。 Mn^{2+} は $3d$ 電子 5 個をもち、高スピン状態をとるので、非球対称原子散乱因子を用いて解析は行なわなかつた。Shrane, Pickart & Ishikawa (1959) によって与えられている MnTiO_3 の原子座標を出発座標とし、最小二乗法プログラム LINEX (Becker & Coppens, 1974a, 1974b, 1975) により構造の精密化を行なつた。 Mn^{2+} と Ti^{4+} の散乱因子及び異常分散項は International Tables for X-ray Crystallography (1974) の値を用い、 O^{2-} の散乱因子については Tokonami (1965) の値を用いた。 CoTiO_3 の解析で陽イオンの一部が他種陽イオン席を占め、配列が部分的に不規則化していることが明らかになつてゐるので、この結晶についても、 $(\text{Mn}_g \text{Ti}_r)(\text{Mn}_u \text{Ti}_v)\text{O}_{g+r+2(u+v)}$ という組成式を仮定し、 $g+r$ または $u+v$ のうち大きい方の値を 1.0 に規格化するという条件下で精密化を行なつた。異方性消衰効果の補正は タイプ I を仮定した時の R 及び R_w 値 (0.0135 及び 0.0160) に比べて タイプ II を仮定した時の R 及び R_w 値 (0.0123 及び 0.0150) の方が小さな値となつたのでタイプ II を採択した。 g, r, u 及び v の値としてそれぞれ 0.92(2), 0.08(3), 0.93(3), 0.06(2) を得

た。従って、本研究で用いた結晶の組成は、誤差の範囲内で、
 $(\text{Mn}_{0.92} \text{Ti}_{0.08})(\text{Ti}_{0.93} \text{Mn}_{0.06} \square_{0.01})\text{O}_3$ と書き表されるものである。

この段階で等価な反射を平均して 差フーリエ合成を行なったところ、 Mn^{2+} , Ti^{4+} イオン共に負の領域に存在し、その周囲にいくつかの正の領域が観測された。特に 3 回軸上、 Mn^{2+} イオンから非共有面方向に 0.29\AA の位置に $0.71 e \text{\AA}^{-3}$ の正の領域が観測され、これを $3d$ 電子の非球対称分布による残差電子密度と考えるには Mn^{2+} イオンの位置に近すぎることから、残差電子密度を非調和熱振動によって説明することを試みた。非調和熱振動の解析は CoTiO_3 結晶の場合と同様、Willis (1969) の方法に従って行ない、座標軸も同じように選んだ。第 2 章 4 節で示したポテンシャルの式 (2-70) を用いて 3 次と 4 次の非調和ポテンシャルパラメーターを求めた。最小二乗法プログラム LINKT 80 を用いて 構造精密化を行なったところ、 R_F 及び R_w 値はそれぞれ 0.0118 , 0.0149 となり、調和振動子モデルの場合に比べ僅かに減少した。最終的に得られた座標、温度因子 及び 消滅効果補正のパラメーターを表 4-3 に、調和ポテンシャル及び 3 次と 4 次の非調和ポテンシャルパラメーターを表 4-4 に、また最終的な精密化の後の構造因子の実測値、計算値 及び 標準偏差を表 4-5 にそれぞれ示す。

4-3 結果及び考察

図4-1に MnO_6 及び TiO_6 八面体の結合距離を示す。値は \AA 単位で与えられており、括弧内は標準偏差である。 Mn^{2+} イオンのイオン半径 0.97\AA (Shannon, 1976)は、 Ti^{4+} イオンのイオン半径に比べかなり大きいために、 MnO_6 八面体の平均 $Mn-O$ 結合距離(2.195\AA)は TiO_6 八面体の平均 $Ti-O$ 結合距離(1.980\AA)に比べて大きい。また平均 $Ti-O$ 結合距離は、 $CoTiO_3$ 中の平均 $Ti-O$ 結合距離と誤差の範囲内で同じであるが、平均 $Mn-O$ 結合距離は平均 $Co-O$ 結合距離(2.113\AA)より長くなっている。 $O-O$ 距離には $CoTiO_3$ 結晶中に見られた特徴と同じような特徴が見られる。即ち、 MnO_6 八面体中の $O-O$ 距離は、共有面を構成している $O-O^{ii}$ が最も短いが、 TiO_6 八面体では、共有稜を構成する $O-O^{vi}$ が最も短い距離をもち、 TiO_6 八面体では $CoTiO_3$ 結晶の場合と同様3回軸方向にかなりつぶれた形になっていることがわかる。金属イオンは、他のイルメナイト型またはコランダム型結晶と同様、八面体の中心位置から空の八面体席の方向にずれている。中心金属と共有面を構成している O^{2-} イオンとの距離の、中心金属と非共有面を構成している O^{2-} イオンとの距離に対する比は、 TiO_6 八面体では 1.109 、 MnO_6 八面体では 1.080 である。しかし、金属と共有面との間隔の、金属と非共有面との間隔に対する比は MnO_6 八面体(1.848)の方が TiO_6 八面体(1.650)に比べてはるかに大きい。この MnO_6 八面体における比は、他のすでに解析されているイルメナイト型結晶中で最も大

きな値である。 Mn^{2+} イオンが空隙側へずれる力を受ける場合、稜を共有して隣接する Mn^{2+} との反発力を緩和するために、共有稜を構成する O-O 間の距離は非共有面の O-O 間の距離に比べて大きくなりにくく、その結果共有面が押し広げられる力を受ける。 Mn^{2+} イオンはイルメナイト型酸化物となる第一遷移金属の中で特に大きなイオン半径をもつために、 Mn^{2+} の空隙側への移動によって非共有面を構成する O²⁻ イオンを押し広げる割合が大きく、 Mn^{2+} イオンと非共有面の間隔の小さくなる割合が特に大きいと考えられる(図4-2)。

図4-3 に示した通常の精密化後の差フーリエ合成図で、最も大きな正のピークは $0.71 e\text{\AA}^{-3}$ の高さをもち、3回軸上 Mn^{2+} イオンの位置から非共有面方向へ 0.29\AA の位置に存在する。この正のピークは、非調和熱振動も考慮に入れた精密化後、 $0.25 e\text{\AA}^{-3}$ (図4-4)に減少した。また、 Mn^{2+} イオンの非調和ポテンシャルパラメーターのうち C_{111} , C_{311} , γ_{1111} , γ_{1133} 及び γ_{3333} について標準偏差より大きな絶対値を得た。これらの事実から、非調和熱振動を考慮することによって R 及び R_w 値はほんの僅かしか減少しなかったにもかかわらず図4-3 で Mn^{2+} の周りに見られる残差電子密度の大部分は Mn^{2+} イオンの熱振動の非調和性に起因すると結論出来る。

Ti^{4+} イオンについては、非調和ポテンシャルパラメーターのうち C_{311} のみが標準偏差より大きな絶対値を与え、非調和熱振動を考慮に入れた精密化後、図4-3 において Ti^{4+} の位置にあった $-0.68 e\text{\AA}^{-3}$ の負のピークは $-0.37 e\text{\AA}^{-3}$ と小さくなったが Ti^{4+} イオンの周りの正のピークには大きな変化は見られなかった。これらの結果か

ら、室温における Ti^{4+} イオンの熱振動に非調和性が認められるが、極めて小さく観察出来る程度であると言うことが出来る。

Ti^{4+} イオンの位置にある負のピークの極小の位置は、 Ti^{4+} イオンの位置から、3回軸上僅かに 0.03\AA° 共有面方向へずれている。従って図4-4に見られるように Ti^{4+} イオンの周りの電子密度分布の特徴は、 $CoTiO_3$ における Ti^{4+} イオンの周りの残差電子密度分布と共通の特徴をもつ(図3-7)。すなわち、 Ti^{4+} イオンの周りの電子雲が隣接する Mn^{2+} イオンの正の電荷の方向に伸びる形で変形している。

これらの解析結果より、 $MnTiO_3$ において Mn^{2+} イオンは予想されるように高スピニン状態をとり、球対称的電子密度分布をもっているという結論を得た。また、 Mn^{2+} イオンが大きなイオン半径をもつために、陽イオンどうしの反発により Mn^{2+} イオンが非共有面方向へずれる場合、わずかなずれに対しても非共有面を構成している O^{2-} が大きく広がる力を受け、不安定な状態が生じ、その結果 Mn^{2+} イオンの熱振動の非調和性が顕著に現われることがわかった。

表 4-1 MnTiO₃ の結晶学的データ

Space group	R̄3
a	5.13948 (7) Å
c	14.2829 (4)
z	6
D _x	4.601 g cm ⁻³
μ(MoKα)	89.04 cm ⁻¹

表4—2 MnTiO₃ の測定条件

Diameter of specimen	0.148 mm
Radiation	MoKα
Monochromator	Graphite
$2\theta_{\max}$	150°
Scan technique	$\omega - 2\theta$
Scan Speed	2°min^{-1} in 2θ
Number of measured reflections	2453
Number of used reflections	1461
Independent reflections	1259
Reflections for anisotropic extinction corrections	86

表4-3 $(\text{Mn}_{0.92}\text{Ti}_{0.08})(\text{Ti}_{0.93}\text{Mn}_{0.06}\square_{0.01})\text{O}_3$ の最終パラメーター

Positional and thermal parameters (\AA^2)					
Mn	x	0	O	x	0.3189(1)
	y	0		y	0.0310(1)
	z	0.36002(1)		z	0.24393(3)
	U_{11}	0.00614(4)		U_{11}	0.0050(1)
	U_{33}	0.00655(4)		U_{22}	0.0062(1)
Ti	x	0		U_{33}	0.0066(1)
	y	0		U_{12}	0.00248(9)
	z	0.14758(1)		U_{13}	0.00032(8)
	U_{11}	0.00434(3)		U_{23}	0.00150(8)
	U_{33}	0.00472(4)			

Extinction parameters (10^{-4}cm)

G_{11}	3.4(1)	G_{12}	-2.0(1)
G_{22}	1.2(1)	G_{13}	0.5(1)
G_{33}	4.1(2)	G_{23}	-0.5(1)

The form of the anisotropic temperature factor is as

$$\exp[-2\pi^2\{(h^2+k^2)a^*{}^2U_{11}+l^2c^*{}^2U_{33}+\frac{1}{2}hka^*{}^2U_{11}\}]$$

表4-4 調和 (10^{-19}JA^{-2}) , 3 次の非調和 (10^{-19}JA^{-3}) 及び
4 次の非調和 (10^{-19}JA^{-4}) ポテンシャルパラメーター
(24°C)

	Mn	Ti
b_1	6.68(0.06)	9.4(0.1)
b_3	6.26(0.04)	8.7(0.07)
c_{111}	-0.27(0.23)	0.05(0.6)
c_{222}	-0.13(0.22)	-0.6(0.6)
c_{311}	1.0(0.5)	-2.0(1.5)
c_{333}	-0.27(0.36)	-0.5(1.0)
q_{1111}	-2.6(1.3)	-2.1(4.4)
q_{1133}	14.7(9.1)	1.4(31.5)
q_{3333}	-5.3(3.0)	-6.0(28.1)
q_{1131}	-5.4(7.7)	20.2(26.7)
q_{2223}	1.1(7.4)	-2.1(10.0)

Values in parentheses are the e.s.d. s.

表4—5 構造因子の実測値 及び 計算値 ($\times 100$)

L	F0	FC	SIGF	L	F0	FC	SIGF	L	F0	FC	SIGF
H,K= 3 -6				H,K= 0 -2				-4 17569	17747	26	
0 11047 10920	20	-10 11341	11171	16				8 10848	10720	13	
		-4 17738	17587	24	H,K= 2 -1						
H,K= 2 -4				H,K= 1 -2				-6 13076	13155	17	
0 12169 12100	15			-6 16068	15991	24		0 15308	15465	20	
		0 15153	15465	27				6 15989	15991	25	
H,K= 3 -4				6 12938	13155	17	H,K= 3 -1				
4 12287 12131	16	H,K= 2 -2						4 16497	16085	27	
H,K= -1 -3				4 17638	17587	24	H,K= 4 -1				
-4 12239 12131	16	10 11254	11171	16				-4 12255	12131	16	
H,K= 0 -3		H,K= 3 -2						H,K= -3 0			
0 20316 20738	29	-10 11715	11630	17				0 20791	20738	29	
		-4 12895	12934	19							
H,K= 1 -3		H,K= 4 -2			H,K= -2 0						
4 12944 12934	19										
10 11711 11630	17	0 12201	12100	15	4 17494	17587	24				
H,K= 2 -3		H,K= -2 -1			H,K= -1 0						
-4 16066 16085	27	-10 11784	11630	17				-10 13656	13405	20	
		-4 12777	12934	19				-4 17110	17747	27	
H,K= 3 -3		H,K= -1 -1						8 10771	10720	13	
0 21226 20738	29										
		-6 13050	13155	17	H,K= 0 0						
H,K= 6 -3		0 15445	15465	27				6 3203	2677	11	
		6 16161	15991	25				9 706	727	8	
0 11075 10920	20	H,K= 0 -1						12 1987	2056	9	
H,K= -2 -2								15 5233	5210	18	
		-8 10727	10720	17				18 8755	8674	21	
0 12294 12100	15	4 17703	17747	27				21 1052	1020	11	
		10 13665	13405	15				24 3774	3803	16	
H,K= -1 -2		H,K= 1 -1						27 823	787	16	
4 16028 16085	20							30 1997	1988	10	
		-10 13688	13405	20				33 3724	3740	15	
								36 956	958	10	

L	FO	FC	SIGF	L	FO	FC	SIGF	L	FO	FC	SIGF
H,K= 1 0				36	818	797	10	7	332	333	31
-8 10789	10720	17		H,K= 4 0				10	6237	6182	27
1 575	628	6						13	1680	1728	11
4 17241	17747	27		4 9036	9033	17		16	1111	1072	13
7 2587	2631	9		7 1653	1629	8		22	1493	1492	11
10 13614	13405	15		10 9491	9479	19		25	1515	1506	10
13 2578	2628	11		13 2550	2601	12		28	2508	2534	12
16 2486	2555	11		16 1658	1692	9		31	859	887	8
19 3158	3183	13		19 2122	2118	10					
22 2920	2935	13		22 2329	2268	11		H,K= 8 0			
25 2134	2113	10		25 2218	2189	10					
28 3845	3768	17		28 3327	3317	14		2	608	483	19
31 959	950	14		31 1180	1165	11		5	1803	1807	10
34 2001	1968	9		34 1733	1746	8		8	2047	2032	10
37 1871	1918	8						14	5595	5577	20
				H,K= 5 0				20	1554	1542	10
H,K= 2 0								23	1926	1948	9
				2 904	891	10		26	734	740	12
-10 11298	11171	15		5 2658	2671	12		29	1434	1453	7
-4 17549	17587	24		8 3466	3533	16					
2 2430	2375	9		11 358	289	25		H,K= 9 0			
5 3784	3801	13		14 8223	8107	24					
8 7255	7200	14		17 365	344	28		0	4830	4775	20
11 1799	1747	8		20 2449	2472	12		3	870	851	15
14 10513	10454	19		23 2678	2670	13		6	3310	3322	15
17 667	679	14		26 804	795	16		9	485	446	23
20 3839	3920	17		29 2106	2115	10		12	1044	926	13
23 3093	3069	14		32 2406	2400	11		15	1521	1537	10
26 328	292	34		35 281	223	19		18	2351	2357	11
29 2605	2619	11						24	2710	2687	11
32 2465	2460	12		H,K= 6 0							
35 333	364	24						H,K= 10 0			
38 1348	1393	6		0 9049	9014	22					
				6 4041	4140	17		4	3245	3238	14
H,K= 3 0				9 786	806	14		7	358	289	28
				12 504	419	21		10	3710	3702	15
0 20782	20738	29		15 2539	2514	12		13	794	815	13
6 4699	4783	15		18 4475	4496	20		16	762	731	12
9 1032	1017	8		21 474	437	24		19	1296	1284	7
12 888	798	10		24 3386	3401	14					
15 4035	4033	15		27 1103	1066	12		H,K= 11 0			
18 7185	7152	23		30 975	994	11					
21 1020	798	13		33 2255	2295	9		2	360	350	23
24 3665	3714	17						5	874	880	11
27 950	923	14		H,K= 7 0				8	1273	1267	9
30 1707	1686	10						14	3243	3231	13
33 3293	3286	14		4 5007	5045	18					

L	F0	FC	SIGF	L	F0	FC	SIGF	L	F0	FC	SIGF
H,K= 12 0				26	449	422	25	32	1709	1714	9
0 2463	2465	10		29	2596	2565	12	35	907	888	9
3 698	726	9		32	2057	2060	9				
				38	1680	1716	7	H,K= 4 1			
H,K= -4 1				H,K= 1 1				0	9607	9741	18
4 12284	12131	16			-6 16244	15991	25	6	6666	6755	19
				0 14996	15465	27	9	3456	3497	15	
H,K= -3 1				3 9144	9688	14	12	1214	1170	10	
				6 13028	13155	17	15	883	888	13	
-4 16386	16085	20		9 7688	7751	14	18	5291	5271	26	
				12 2143	2113	10	21	1349	1298	12	
H,K= -2 1				15 330	328	21	24	3525	3542	17	
				18 6598	6687	22	27	2421	2434	11	
-6 15934	15991	25		21 2472	2436	11	30	1651	1667	10	
0 15133	15465	20		24 4099	4130	20	33	1857	1854	9	
6 13005	13155	17		27 3394	3358	15	36	979	1024	7	
				30 2106	2117	10					
H,K= -1 1				33 1844	1855	9	H,K= 5 1				
				36 1361	1389	8					
-8 10857	10720	17						1	1293	1277	9
1 557	628	6	H,K= 2 1					4	7308	7400	21
4 17267	17747	26						7	531	548	17
7 2589	2631	9		1 2864	2938	14	10	7112	7066	23	
10 13581	13405	15		4 12822	12934	19	13	893	895	13	
13 2583	2628	11		10 11739	11630	17	16	1407	1441	11	
16 2465	2555	11		13 1405	1430	8	19	2876	2868	13	
19 3143	3183	14		16 1654	1730	8	22	1691	1697	11	
22 2926	2935	13		19 3467	3442	14	25	1108	1097	13	
25 2103	2113	10		22 2230	2186	10	28	3205	3224	13	
28 3774	3768	17		25 1689	1678	11	31	540	546	16	
31 927	950	14		28 4008	4009	17	34	1167	1186	7	
34 1955	1968	9		31 770	784	15					
37 1885	1918	9	H,K= 6 1	34 1562	1519	9					
				37 1814	1843	8					
H,K= 0 1								2	3673	3731	15
			H,K= 3 1					5	1233	1258	11
-10 13730	13405	20						8	5707	5672	25
-4 17909	17747	27		2 5663	5848	15	14	4058	4093	16	
2 6637	6818	11		5 2541	2160	11	20	4042	4046	17	
5 2097	2086	9		8 8564	8536	17	23	2998	2997	13	
8 10734	10720	13		11 990	954	9	26	676	682	16	
11 2819	2794	12		14 6595	6685	21	29	1019	1002	10	
14 9814	9773	17		20 5094	4970	18	32	1182	1193	7	
17 873	897	10		23 3521	3526	17					
20 5023	5054	23		26 678	665	19					
23 3214	3178	14		29 1719	1711	10					

L	FO	FC	SIGF	L	FO	FC	SIGF	L	FO	FC	SIGF
H,K= 7 1				H,K= -4 2				19	4096	4103	17
0 6411	6401	26		0 12215	12100	15		22	2923	2833	14
6 3542	3572	16						25	1241	1259	12
9 1499	1502	11		H,K= -3 2				28	3756	3794	17
12 436	384	26						31	366	385	29
15 1232	1248	13		4 12834	12934	19		34	1739	1725	9
18 3776	3799	17		10 11675	11630	17		37	2176	2206	10
21 180	210	58						H,K= 1 2			
24 2540	2545	12		H,K= -2 2				-4	16151	16085	27
27 1304	1311	9						2	2166	2145	8
30 1140	1129	6		-10 11336	11171	16		8	6908	6952	15
				-4 17609	17587	24					
H,K= 8 1				2 2453	2375	9		11	3438	3420	13
				5 3720	3801	13		14	9222	9223	19
1 331	296	33		8 7159	7200	14		17	1805	1827	8
4 4893	4919	20		11 1803	1747	8		20	4340	4388	18
7 346	349	33		14 10500	10454	18		23	2352	2257	11
10 4121	4144	17		17 659	679	13		29	2973	2964	13
13 875	824	15		20 3910	3920	17		32	1894	1906	9
16 1294	1330	12		23 3082	3069	14					
19 1876	1871	9		26 279	292	40		H,K= 2 2			
22 1393	1401	9		29 2627	2619	12					
				32 2458	2460	12		0 12147	12100	15	
H,K= 9 1				35 358	364	22		3 2406	2570	10	
				38 1358	1393	6		6 10182	10107	16	
2 2277	2273	11						9 269	288	24	
5 748	761	16		H,K= -1 2				12 3369	3347	14	
8 3475	3495	16						15 3491	3490	16	
14 2593	2614	12		-6 13108	13155	17		18 3984	3968	18	
20 2592	2591	11		0 15240	15465	27		24 5615	5609	20	
23 1949	1997	9		3 6050	6401	10		27 1900	1935	11	
				6 15894	15991	18		33 2198	2218	10	
H,K= 10 1				9 588	619	10					
				12 4986	5015	17		H,K= 3 2			
0 4247	4275	18		15 4464	4439	19					
3 304	284	30		18 3994	4083	16		1 1041	985	8	
6 1781	1787	9		24 6489	6477	26		4 10679	10736	18	
9 593	598	16		27 2080	2090	10		10 7224	7298	20	
12 330	73	24		33 2399	2370	11		13 1045	1082	10	
18 2444	2446	10						16 2611	2637	12	
				H,K= 0 2				19 3367	3365	16	
H,K= 11 1				1 3772	3804	11		22 2739	2714	12	
				4 17386	17587	24		25 999	998	14	
4 2997	3017	14		10 11268	11171	16		28 3058	3051	15	
10 2180	2182	9		13 929	948	9		31 273	278	34	
				16 2704	2711	13					

L	FO	FC	SIGF	L	FO	FC	SIGF	L	FO	FC	SIGF
H,K=	4	2		23	736	754	14	4	15972	16085	19
2	1079	1104	9	H,K=	8	2		7	2189	2269	10
8	4196	4282	16					10	9267	9262	16
11	3044	3030	14	0	4600	4602	20	13	2292	2355	10
14	6549	6513	25	6	3090	3092	15	19	3068	3111	15
17	2387	2397	11	9	1243	1265	12	22	3532	3513	16
20	3823	3812	16	12	647	609	18	25	1680	1676	11
23	1250	1271	13	15	799	785	15	28	3027	3026	13
26	547	553	21	18	2675	2690	12	31	608	599	18
29	2796	2798	13	21	373	332	22	34	2197	2182	10
32	1269	1254	9	H,K=	9	2		37	2041	2088	9
H,K=	5	2						H,K=	-1	3	
0	7238	7288	23	1	313	217	32	-10	11842	11630	17
3	726	710	14	4	3202	3185	14	-4	13062	12934	19
6	5306	5306	24	10	3503	3498	15	2	4787	4787	13
9	1033	1033	12	13	1062	1092	11	5	3592	3624	14
12	1539	1518	10	16	826	821	11	8	8059	8119	15
15	1957	1917	10	H,K=	10	2		11	1068	1053	8
18	3561	3544	17					14	8816	8908	19
24	3815	3802	16	2	515	467	16	20	4294	4314	18
27	1648	1651	10	5	408	415	19	23	3457	3419	16
30	742	737	12	8	1655	1663	8	29	2164	2174	10
33	1696	1729	7	H,K=	-6	3		32	2221	2238	10
H,K=	6	2						35	637	623	13
				0	11093	10920	20	H,K=	0	3	
4	6044	6007	26	H,K=	-3	3		0	20604	20738	29
10	4983	5005	20					3	308	234	18
13	1253	1261	12					6	4672	4737	15
16	1755	1775	11	0	21118	20738	29	9	1186	1189	7
19	2093	2109	10	6	4717	4783	15	15	3932	3925	15
22	1882	1905	10	9	1255	1017	7	18	7304	7211	23
25	942	919	12	12	834	798	10	21	765	730	15
28	2245	2246	10	15	4022	4033	15	24	3621	3658	17
31	394	412	13	18	7195	7152	23	27	961	963	14
				21	798	798	15				
H,K=	7	2		24	3690	3714	17	30	1756	1733	10
				27	953	923	14	33	3273	3264	15
2	557	580	21	30	1713	1686	10	36	866	833	9
5	960	951	14	33	3296	3286	15	H,K=	1	3	
8	2675	2658	13	36	775	797	10				
11	2069	2085	10	H,K=	-2	3		1	1225	1293	7
14	4311	4335	20					4	12178	12131	16
17	1939	1978	10					7	2506	2451	11
20	2705	2733	13	1	663	778	8				

L	FO	FC	SIGF	L	FO	FC	SIGF	L	FO	FC	SIGF
10	8273	8317	18	28	2392	2369	11	H, K =	10	3	
13	2764	2801	13	31	739	741	12				
16	3002	3068	14					1	470	483	12
19	2358	2369	10	H, K =	5	3		4	2642	2628	12
22	3331	3302	14					7	606	589	7
25	1965	1952	10	5	2368	2287	11				
28	2733	2763	12	8	2253	2243	10	H, K =	-4	4	
31	877	851	14	11	343	341	32				
34	2185	2186	10	14	6648	6585	28	4	9121	9033	17
37	1748	1811	8	20	1605	1625	11	7	1704	1629	7
				23	2242	2233	11	10	9404	9479	19
H, K =	2	3		26	908	939	13	13	2571	2601	12
								16	1670	1692	9
2	1426	1451	7	H, K =	6	3		19	2120	2118	10
5	3157	3154	13					22	2252	2268	11
8	4310	4328	19	0	6019	5978	27	25	2196	2189	10
14	8514	8530	23	6	3516	3523	17	28	3312	3317	14
20	2770	2789	13	9	1176	1122	13	31	1156	1165	11
23	2987	2932	13	12	608	632	20	34	1738	1746	8
26	701	731	18	15	1412	1392	12				
29	2145	2146	10	18	3203	3255	15	H, K =	-3	4	
32	2474	2484	11	24	2750	2736	12				
35	345	308	17					-4	12333	12131	16
H, K =	3	3						2	2676	2712	12
								5	222	343	32
0	11095	10920	20	4	4355	4376	21	8	6469	6554	17
6	4121	4253	15	7	397	230	28	11	3065	3073	14
9	1309	1355	9	10	4077	4067	16	14	7653	7724	21
15	2498	2502	11	13	908	935	15	17	1845	1826	9
18	5366	5371	19	16	1180	1214	12	20	4595	4505	18
21	358	281	32	19	1647	1647	9	23	2143	2146	10
24	3319	3331	15	22	1345	1364	9	26	600	560	20
27	1213	1210	12	H, K =	8	3		29	2727	2735	12
30	1341	1347	10					32	1629	1615	9
33	2471	2481	11								
H, K =	4	3									
1	436	444	20	5	1361	1397	11	H, K =	-2	4	
4	6906	6966	23	8	1380	1392	11				
7	860	862	13	11	316	274	31	0	12245	12100	15
10	6017	6023	25	14	4219	4209	17	3	4001	4007	16
13	1999	2008	10	17	263	219	31	6	8737	8745	16
16	2088	2066	10	H, K =	9	3		9	4826	4852	18
19	1878	1898	11								
22	2392	2347	11	6	2459	2490	11	12	1503	1481	8
25	1528	1499	11	9	654	663	14	15	623	652	15
								15			
								24	3816	3794	16
								27	2836	2860	14
								30	1887	1899	10

L	FO	FC	SIGF	L	FO	FC	SIGF	L	FO	FC	SIGF
33	1858	1864	9	36	897	950	7	H,K=	6	4	
36	1182	1210	7					2	2760	2766	12
H,K=	-1	4						5	958	874	15
1	921	863	8	1	757	700	11	8	4166	4168	17
4	8750	8742	16	4	6395	6480	20	14	2867	2880	13
7	1312	1317	7	10	8358	8307	23	20	2997	3030	13
10	11012	11025	19	13	1811	1817	9	23	2290	2327	11
13	2427	2457	11	16	955	897	13				
16	994	1033	11	19	2132	2116	10	H,K=	7	4	
19	2254	2258	11	22	1455	1458	12				
22	1781	1780	10	25	1812	1822	11	0	4338	4354	20
25	2302	2312	10	28	3418	3403	16	3	479	481	23
28	3844	3838	17	31	1046	1069	11	6	2758	2785	13
31	1303	1303	11	34	1243	1246	7	9	677	661	17
34	1491	1505	8	H,K=	3	4		12	584	587	19
37	1331	1386	6					15	1197	1190	11
H,K=	0	4						18	2361	2373	11
2	3810	3842	16								
5	1235	1260	10	H,K=	8	4					
8	5954	5951	24								
2	4454	4399	17	14	4417	4474	19	1	360	372	26
5	1126	1127	7	20	4233	4195	21	4	3451	3476	15
8	7355	7376	18	23	3059	3075	14	7	266	209	33
11	1540	1540	8	26	704	677	17	10	2714	2734	12
14	6558	6625	22	29	1173	1122	10	13	1002	1044	10
17	695	666	15								
20	4710	4716	19	H,K=	4	4		H,K=	-5	5	
23	3018	3003	13								
26	659	642	19	0	6332	6315	25	2	894	891	10
29	1967	1958	10	6	4680	4679	18	5	2670	2671	12
32	1603	1621	9	9	1638	1651	10	8	3575	3533	15
35	664	665	11	12	1098	1090	13	14	8057	8107	24
				15	1263	1236	13	17	360	344	28
H,K=	1	4		18	3595	3613	17	20	2454	2472	11
				21	465	445	25	23	2692	2670	13
0	9233	9359	18	24	3106	3129	14	26	801	795	16
3	2023	1979	9	27	1587	1625	9	29	2108	2115	10
6	7106	7132	19					32	2402	2400	11
9	3355	3413	15	H,K=	5	4		35	276	223	19
12	1509	1487	9								
15	863	891	13	4	4817	4856	20	H,K=	-4	5	
18	4968	5021	19	10	5146	5161	20				
21	1325	1339	12	13	1351	1370	12	0	9380	9359	18
24	3747	3725	17	16	1256	1136	13	3	1233	1252	8
27	2500	2494	11	19	1630	1634	11	6	7801	7898	19
30	1569	1540	10	22	1412	1396	11	9	887	900	10
33	1761	1785	8	25	1174	1168	10	12	2697	2666	12

L	FO	FC	SIGF	L	FO	FC	SIGF	L	FO	FC	SIGF
15	2611	2596	12	H, K=	0	5		22	1641	1647	11
18	3658	3711	15					25	586	545	18
24	4976	4974	20	1	2392	2353	11	28	2604	2615	12
27	2061	1983	10	4	9430	9369	20				
30	552	521	18	7	1469	1482	8	H, K=	4	5	
33	1936	1935	9	10	6791	6892	21				
				16	2003	2029	9	2	640	684	18
H, K=	-3	5		19	3943	3931	16	5	847	862	15
				22	2104	2057	10	8	2859	2875	13
1	2816	2827	13	28	3333	3344	16	11	2048	2083	11
4	10421	10239	18	34	1189	1200	7	14	4550	4554	21
7	1433	1438	7					17	1934	1953	10
10	7880	8011	20	H, K=	1	5		20	2944	2891	13
16	1897	1882	9					23	978	883	13
19	3965	3980	19	2	1164	1170	9	26	497	497	18
22	2011	2004	10	5	349	341	24				
25	678	688	18	8	3993	4081	16	H, K=	5	5	
28	3651	3648	16	11	2320	2333	11				
				14	6329	6376	25	0	5708	5621	20
H, K=	-2	5		17	1920	1913	10	6	2875	2874	13
				20	3526	3565	17	9	758	806	17
2	1317	1373	7	23	1551	1532	11	15	1397	1394	12
5	1411	1422	7	26	349	391	32	18	3062	3093	14
8	4566	4626	19	29	2546	2519	12				
11	1515	1561	8	32	1354	1350	8	H, K=	6	5	
14	7958	8027	22								
17	1245	1114	11	H, K=	2	5		4	3645	3653	17
20	3385	3375	16					10	3871	3905	16
23	2374	2349	11	0	7695	7766	23	13	835	834	14
29	2460	2465	11	3	1019	1015	11	16	969	821	12
32	2047	2019	9	6	4870	4911	24	19	1459	1461	9
				9	645	670	17				
H, K=	-1	5		12	1316	1244	11	H, K=	7	5	
				15	2276	2267	11				
0	9849	9741	18	18	3703	3704	17	2	429	392	22
3	1506	1503	7	24	3708	3731	17	5	672	539	15
6	7487	7600	19	27	1379	1394	10	8	1793	1802	9
9	738	630	12	30	767	740	13	11	1248	1254	10
12	2486	2477	11	33	1873	1905	9	14	2919	2936	13
15	2802	2838	13								
18	3777	3815	15	H, K=	3	5		H, K=	8	5	
24	4906	4929	20								
27	1801	1814	11	1	1070	1011	12	0	3406	3439	16
30	560	523	18	4	6311	6333	26				
33	2048	2051	9	10	5234	5257	19	H, K=	-6	6	
				13	465	457	26				
				16	1539	1573	12	0	9062	9014	22
				19	2778	2781	12	3	651	576	15

L	F0	FC	SIGF	L	F0	FC	SIGF	L	F0	FC	SIGF
6	4075	4140	17	24	3446	3479	15				
9	792	806	13	27	1153	1040	12	H, K=	1	6	
12	459	419	22	30	1248	1221	10	1	1246	1241	10
15	2509	2514	12	33	2561	2588	11	4	7299	7295	24
18	4509	4496	20					7	1314	1285	10
21	426	437	26	H, K=	-2	6		10	4712	4738	18
24	3404	3401	15					13	2195	2188	10
27	1062	1066	12	1	1643	1619	8	16	2717	2746	12
30	1005	994	10	4	9397	9370	20	19	1713	1710	11
33	2249	2295	9	7	1896	1896	9	22	2838	2855	13
				10	5385	5492	22	25	1351	1341	11
H, K=	-5	6		13	2549	2538	12	28	1754	1784	9
				16	3506	3368	15				
1	872	868	11	19	2000	2010	10	H, K=	2	6	
4	8668	8653	21	22	3431	3436	15				
7	1179	1156	10	25	1531	1530	11	2	704	702	16
10	5549	5589	23	28	1981	1972	9	5	1769	1784	10
13	1995	2000	9	31	587	582	16	8	2484	2487	11
16	2891	2917	13	34	2157	2183	10	14	6067	6068	28
19	2281	2287	10					17	430	377	27
22	3002	2993	13	H, K=	-1	6		20	1861	1871	10
25	1292	1274	12					23	2047	2042	10
28	2243	2215	11	2	1915	1937	9	26	679	671	15
31	514	464	16	5	1883	1879	9				
34	1897	1893	8	8	4227	4270	16	H, K=	3	6	
				14	6585	6643	25				
H, K=	-4	6		17	435	383	25	0	5932	5951	27
				20	3064	3032	13	3	407	408	27
2	3483	3554	15	23	2603	2609	12	6	3463	3424	16
5	1618	1650	8	26	340	249	31	9	1620	1644	11
8	5877	5902	21	29	1827	1855	9	12	502	445	24
14	5611	5688	25	32	1954	1936	9	15	989	967	15
20	4079	4048	16					18	3468	3495	17
23	3024	3039	13	H, K=	0	6		21	385	361	28
26	394	399	28					24	2497	2487	11
29	1543	1533	10	0	9119	9014	22				
32	1585	1594	8	6	3918	3986	17	H, K=	4	6	
35	655	697	9	9	1429	1453	10				
				12	220	181	44	1	412	345	27
H, K=	-3	6		15	1982	2001	10	4	4951	4952	21
				18	4797	4801	20	10	3708	3692	17
0	11115	10920	20	24	3106	3094	15	13	1225	1219	13
3	357	369	21	27	1283	1271	11	16	1672	1699	11
6	4177	4330	15	30	1244	1252	9	19	1562	1559	10
9	1080	930	10	33	2139	2181	9	22	1772	1780	9
15	2848	2833	13								
18	5188	5235	19								
21	562	516	21								

L	FO	FC	SIGF	L	FO	FC	SIGF	L	FO	FC	SIGF	
H,K= 5 6				29	2368	2339	11	6	4901	4955	17	
				32	1127	1133	7	9	2146	2160	10	
2 371	370	29						12	950	915	13	
5 1364	1383	12	H,K= -5 7					15	1196	1100	12	
8 1549	1554	11						18	4243	4247	20	
11 233	221	45	0	7733	7766	22		21	706	703	17	
14 4345	4359	19	3	909	866	12		24	3159	3138	14	
17 283	269	35	6	4510	4459	17		27	1883	1859	9	
20 1183	1175	10	9	2257	2262	10		30	1277	1281	9	
			15	1070	1110	13		33	1669	1697	7	
H,K= 6 6				18	4646	4624	20					
				21	631	628	19	H,K= -1 7				
0 3551	3544	15	24	2860	2860	13						
6 2530	2571	12	27	1753	1758	9		4	4473	4361	17	
9 1238	1260	10	30	1470	1474	8		7	580	561	18	
12 582	553	16	33	1775	1811	8		10	7504	7552	26	
15 435	418	20						13	2105	2104	10	
			H,K= -4 7					19	1325	1314	12	
H,K= 7 6								22	1027	1007	13	
				4	4879	4950	23		25	2002	2002	9
1 322	305	23	7	708	720	14		28	3048	3062	14	
4 3043	3057	13	10	7853	7868	24						
			13	2216	2234	10	H,K= 0 7					
H,K= -7 7				16	564	574	20					
				19	1433	1424	11		2	2513	2492	11
1 190	126	50	22	1275	1240	12		5	967	961	13	
4 5060	5045	18	25	2066	2081	10		8	4417	4437	19	
7 359	333	28	28	3104	3109	15		11	353	391	31	
10 6222	6182	26	31	1283	1294	8		14	4559	4532	20	
13 1721	1728	11						17	346	288	33	
16 1067	1072	13	H,K= -3 7					20	3354	3326	15	
19 1603	1611	11						23	2476	2474	11	
22 1488	1492	11	2	1954	1926	9		26	298	322	32	
25 1448	1506	11	5	356	305	25						
28 2543	2534	12	8	4400	4381	17	H,K= 1 7					
31 847	887	8	11	1576	1418	10						
			14	5610	5592	26		0	5567	5551	27	
H,K= -6 7				17	1129	1140	13		3	278	246	37
				20	3563	3520	17		6	4484	4469	19
2 1007	1058	12	23	2047	2035	10		9	1297	1287	12	
5 689	670	15	26	342	344	30		12	1225	1231	12	
8 3568	3584	15	29	1959	1949	9		15	1237	1248	13	
11 2213	2232	10	32	1365	1390	7		18	3092	3085	15	
14 5459	5476	19						21	387	337	28	
17 1981	1955	10	H,K= -2 7					24	3066	3074	13	
20 3260	3311	15						27	1473	1495	8	
23 1280	1251	12	0	7279	7288	23						
26 494	438	20	3	701	659	14						

L	FO	FC	SIGF	L	FO	FC	SIGF	L	FO	FC	SIGF	
H,K= 2 7				17	272	224	38	12	1432	1414	11	
				20	1567	1542	10	15	1425	1431	12	
4 3805	3815	17		23	1964	1948	9	18	3270	3243	15	
7 352	281	32		26	747	740	12	21	420	412	26	
10 5564	5503	20		29	1439	1453	7	24	3514	3485	16	
13 1616	1611	11						27	1692	1696	9	
16 645	613	19		H,K= -7	8			30	720	719	10	
19 1216	1193	12		0	5597	5551	26	H,K= -3	8			
22 1046	1031	12		6	4487	4513	20					
25 1433	1415	9			9	1547	1538	11	1	1935	1947	9
H,K= 3 7				12	978	1277	17	4	6676	6639	25	
				15	1022	1009	14	7	1818	1803	10	
2 2264	2277	10		18	3077	3044	15	10	5177	5202	19	
5 847	865	15		21	595	585	19	13	407	387	27	
8 3644	3666	17		24	3095	3105	15	16	1590	1456	11	
14 3119	3128	15		27	1724	1735	8	19	3414	3427	15	
20 2673	2689	12		30	780	779	8	22	1454	1418	11	
23 2137	2148	10						28	2872	2885	14	
			H,K= -6 8									
H,K= 4 7				1	1413	1390	10	H,K= -2	8			
				4	6208	6227	26	2	1348	1301	11	
0 3891	3889	16		7	1282	1266	11	5	548	494	19	
3 757	749	16		10	5113	5140	19	8	3355	3364	16	
6 3259	3285	14		16	1414	1413	12	14	5081	5055	20	
9 511	504	22		19	2922	2940	13	17	998	997	14	
12 1043	1072	13		22	1451	1434	11	20	2847	2875	13	
15 1221	1215	11		28	2706	2714	11	23	1744	1750	10	
18 1952	1963	9		31	170	142	29	26	244	186	36	
H,K= 5 7								H,K= -1	8			
			H,K= -5 8									
1 328	296	29		2	979	997	12	0	6405	6401	26	
4 3140	3153	13		5	1472	1474	10	3	650	601	18	
10 3225	3171	14		8	2970	2938	14	6	3856	3809	16	
13 1131	1131	10		11	262	295	41	9	845	834	15	
H,K= 6 7				14	5858	5844	28	12	791	790	16	
				17	552	490	22	15	1694	1690	11	
2 1430	1472	8		20	2329	2327	11	18	3299	3322	15	
5 441	437	18		23	2135	2110	10	24	3005	2993	13	
				26	353	372	26	27	1265	1232	9	
H,K= -8 8								H,K= 0	8			
			H,K= -4 8									
2 521	483	22		0	6319	6315	25	1	1460	1440	11	
5 1803	1807	10		6	4898	4887	18	4	5686	5609	28	
8 2051	2032	10		9	1291	1295	11	7	1462	1457	11	

L	F0	FC	SIGF	L	F0	FC	SIGF	L	F0	FC	SIGF
10	4432	4480	20	H,K=	-9	9		H,K=	-5	9	
16	1337	1293	12	0	4838	4775	20	1	1336	1324	11
19	2851	2858	13	3	1047	851	13	4	6249	6212	27
22	1286	1275	11	6	3352	3322	15	7	1095	1095	13
H,K= 1 8				9	455	446	25	10	3723	3677	17
				12	958	926	13	13	1927	1915	10
2	1042	1045	14	15	1578	1537	10	16	2580	2582	12
8	2863	2867	14	18	2354	2357	11	19	1489	1489	11
11	1298	1296	12	21	221	214	35	22	2576	2600	12
14	3896	3890	16	24	2656	2687	12	25	1041	1031	10
17	1283	1280	11					28	1374	1398	7
20	2663	2658	12	H,K= -8 9				H,K= -4 9			
23	1183	1174	10					1	758	728	17
H,K= 2 8				4	5045	4991	20	2	1719	1716	10
				7	549	572	21	5	687	705	18
0	5535	5528	20	10	3874	3833	17	8	3495	3449	17
3	555	537	21	13	1495	1512	11	11	508	554	23
6	2323	2315	10	16	1785	1787	10	14	4414	4414	20
9	633	557	18	19	1455	1441	10	17	612	615	20
15	1499	1481	10	22	1869	1873	9	20	2735	2737	13
18	3013	3014	13	25	929	904	9	23	1877	1879	9
21	318	316	26					29	1409	1418	6
H,K= 3 8				H,K= -7 9				H,K= -3 9			
				2	2443	2421	11				
1	624	597	18	5	770	789	16	0	6025	5978	27
4	3758	3771	16	8	4026	4002	17	3	325	320	34
7	697	682	16	14	3542	3549	17	6	3502	3521	17
10	3538	3502	15	17	243	233	43	9	996	973	14
13	407	385	23	20	3042	3047	14	12	624	611	20
16	847	857	13	23	2174	2179	10	15	1504	1517	11
19	1352	1709	7	26	518	423	14	18	3275	3276	14
								24	2725	2738	13
H,K= 4 8				H,K= -6 9				H,K= -2 9			
				0	5973	5951	27				
2	635	562	16	3	909	911	14	1	1396	1407	12
5	268	310	34	6	3655	3671	17	4	5867	5938	28
8	1880	1886	9	12	801	844	17	7	1122	1133	13
11	984	986	11	15	1939	1930	10	10	3340	3365	15
H,K= 5 8				18	3013	2999	15	13	1901	1916	10
				21	380	346	26	16	2529	2544	11
0	3892	3875	16	24	3024	3014	14	19	1329	1326	11
3	303	304	25	27	943	948	9	22	2562	2557	12
								25	1014	1013	10

L	FO	FC	SIGF	L	FO	FC	SIGF	L	FO	FC	SIGF
H,K= -1 9				H,K=-10 10				23	1250	1265	9
2 840	828	16		1 350	327	28		H,K= -5 10			
5 744	720	17		4 3240	3238	14					
8 2375	2377	11		7 345	289	27		0 5584	5621	20	
14 4510	4552	20		10 3764	3702	18		6 2797	2784	12	
17 745	740	16		13 816	815	13		9 1078	1095	13	
20 1955	1964	9		16 771	731	12		15 1182	1185	12	
23 1458	1448	9		19 1275	1284	8		18 3339	3317	15	
								27 990	1032		7
H,K= 0 9				H,K= -9 10				H,K= -4 10			
0 4809	4775	20		2 622	610	18					
3 376	374	29		5 420	414	25		4 2963	2949	13	
6 3047	3062	13		8 2179	2170	10		7 409	364	27	
9 1488	1500	11		11 1295	1298	11		10 5565	5536	20	
12 465	486	23		14 3505	3498	15		13 1715	1720	11	
15 679	679	17		17 1314	1344	10		19 837	833	14	
18 2851	2897	13		20 2154	2140	10		22 757	738	12	
21 391	391	22		23 807	819	8					
								H,K= -3 10			
H,K= 1 9				H,K= -8 10							
1 834	819	15		0 5535	5528	20		2 1324	1135	12	
4 4546	4513	20		6 2200	2199	10		5 723	753	17	
7 587	565	19		9 995	960	13		8 2633	2609	12	
10 2985	2942	14		15 1264	1214	11		14 3961	3991	16	
13 1376	1358	10		18 3316	3292	14		17 500	433	20	
16 1761	1771	9		24 1767	1790	8		20 2083	2094	9	
19 1166	1177	9						23 1671	1679	8	
				H,K= -7 10				H,K= -2 10			
H,K= 2 9											
2 456	436	23		4 3235	3256	15		0 4610	4602	20	
5 765	748	15		10 5052	5045	20		3 469	446	24	
8 1582	1576	10		13 1474	1479	11		6 3190	3167	15	
11 272	214	32		16 514	499	20		9 785	794	16	
14 3657	3679	17		19 1070	1035	11		12 786	740	15	
				22 887	896	11		15 1123	1149	12	
				25 1311	1314	7		18 2549	2528	12	
H,K= 3 9											
				H,K= -6 10				H,K= -1 10			
0 3192	3176	14		2 915	829	15		4 2699	2692	12	
3 572	567	16		8 2505	2488	12		10 4699	4703	19	
6 2359	2375	11		11 954	952	14		13 1398	1419	10	
9 1445	1468	9		14 4136	4148	20		16 286	284	31	
				17 1053	1035	12		19 824	811	12	
				20 2230	2240	10					

L	F0	FC	SIGF	L	F0	FC	SIGF	L	F0	FC	SIGF
H,K= 0 10				5	982	994	13	4	4137	4120	19
				8	1908	1933	9	7	1243	1256	11
2 1268	1260	11		14	3696	3683	17	10	3344	3325	15
5 860	853	14		20	1548	1526	7	16	904	910	11
8 2411	2411	11		H,K= -7 11				H,K= -2 11			
14 3119	3115	14									
H,K= 1 10				0	3890	3889	16	2	1307	1309	11
				3	507	378	21	8	2544	2552	12
0 3246	3252	15		6	3125	3136	14	11	426	456	21
3 771	789	14		9	1524	1527	10	14	2685	2715	12
6 2878	2876	13		12	788	753	14				
9 356	328	24		18	2340	2361	11	H,K= -1 11			
12 995	1016	10		21	629	605	11				
								0	4270	4275	18
H,K= 2 10				H,K= -6 11				3	295	290	31
								6	1862	1817	9
4 2434	2417	10		1	1085	1086	13	9	572	566	16
				4	4297	4292	20				
H,K=-11 11				7	1214	1212	12	H,K= 0 11			
				10	3559	3564	16				
2 385	350	21		16	962	939	12	1	588	590	15
5 898	880	11		19	2122	2224	10	4	3222	3255	14
8 1323	1267	8		22	892	902	8	7	751	752	12
14 3191	3231	13		H,K= -5 11				H,K=-12 12			
H,K=-10 11											
				2	1263	1262	12	0	2438	2465	10
0 3277	3252	15		5	694	706	17	3	709	726	8
3 435	446	21		8	2543	2553	12				
6 2654	2656	11		14	3350	3377	15	H,K=-11 12			
9 1466	1468	9		17	385	370	23				
12 632	588	13		20	2067	2063	9	4	2585	2584	12
18 2033	2083	9		23	1540	1553	7	10	2464	2506	10
H,K= -9 11				H,K= -4 11				H,K=-10 12			
1 453	454	22		0	4331	4354	20	2	1284	1274	9
4 3846	3834	19		3	177	40	59	5	436	444	18
7 623	603	16		6	2745	2759	13	8	2230	2222	10
10 3156	3112	15		9	1081	1085	12	11	170	115	36
13 411	382	21		12	609	506	17	14	2189	2221	9
16 1019	998	10		15	788	790	13				
19 1638	1651	7		18	2473	2488	11	H,K= -9 12			
H,K= -8 11				H,K= -3 11							
								0	3182	3176	14
								3	932	948	11
2 769	774	15		1	1132	1109	12	6	2684	2692	12

L	F0	FC	SIGF	L	F0	FC	SIGF	L	F0	FC	SIGF
15	1196	1212	7	4	3955	3997	18	11	435	430	12
				7	538	568	18				
H,K=	-8	12		10	2343	2307	10	H,K=	-8	13	
				13	1216	1216	9				
1	677	647	15	19	955	1014	7	0	3845	3875	15
4	3658	3667	14					3	241	251	30
7	344	392	25	H,K=	-4	12		6	1288	1305	8
10	2495	2485	11	2	696	653	14	9	472	477	14
13	1071	1093	9	8	1834	1824	8	12	247	249	21
16	1451	1457	7	11	729	729	12	H,K=	-7	13	
H,K=	-7	12		H,K=	-3	12		4	2075	2102	9
2	1135	1104	11					10	3207	3240	14
5	251	180	35	0	3261	3270	14	13	1084	1116	7
8	2241	2262	11	6	2373	2398	11				
11	487	498	17	9	870	888	11	H,K=	-6	13	
14	2701	2730	13					2	459	453	17
17	569	599	11	H,K=	-2	12		5	553	588	14
H,K=	-6	12		1	735	749	12	8	1373	1380	7
				4	3335	3357	16	14	2787	2858	12
0	3535	3544	15	7	483	471	16				
3	540	668	21					H,K=	-5	13	
6	2720	2742	12	H,K=-10	13						
9	392	397	23					0	3429	3439	15
12	836	812	11	4	2147	2173	9	3	358	359	21
15	1161	1118	9					12	264	185	14
18	1754	1794	8	H,K=	-9	13					
H,K=	-5	12		2	500	496	14				
				5	197	186	31				
1	862	879	13	8	1430	1446	7				

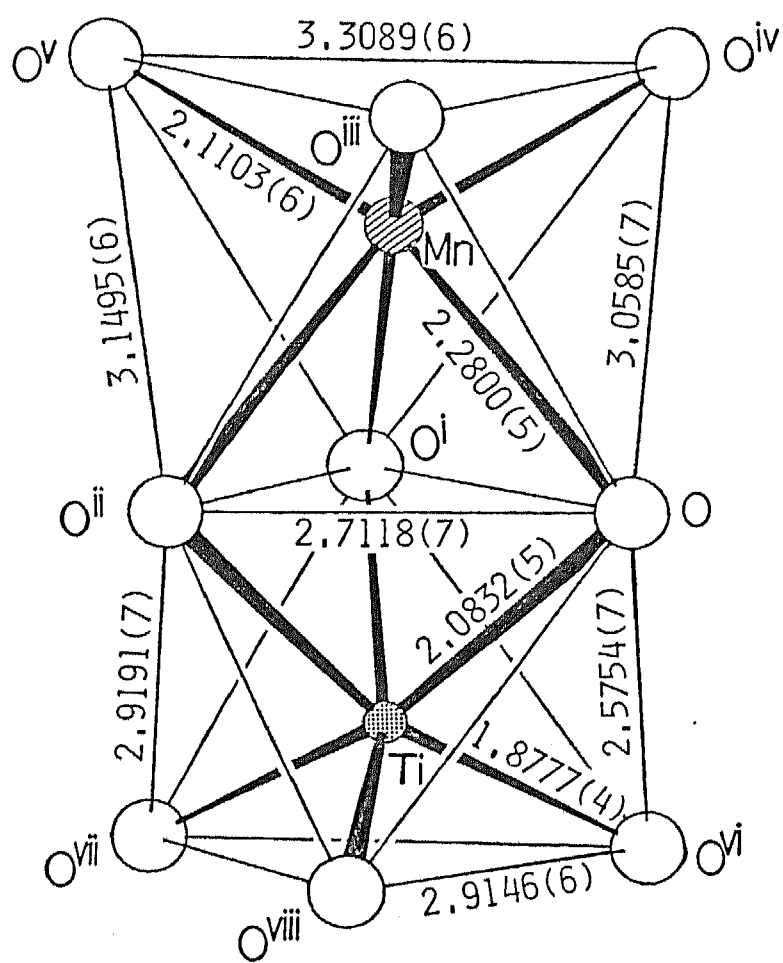


図4-1 MnO_6 及び TiO_6 八面体に於ける原子間距離 (\AA)

対称コード : (i) $-y, x-y, z$; (ii) $y-x, -x, z$;
 (iii) $1/3-x, 2/3-y, 2/3-z$; (iv) $1/3+y, 2/3-x+y, 2/3-z$;
 (v) $1/3+x-y, 2/3+x, 2/3-z$; (vi) $2/3-x, 1/3-y, 1/3-z$;
 (vii) $2/3+y, 1/3-x+y, 1/3-z$; (viii) $2/3+x-y, 1/3+x, 1/3-z$.

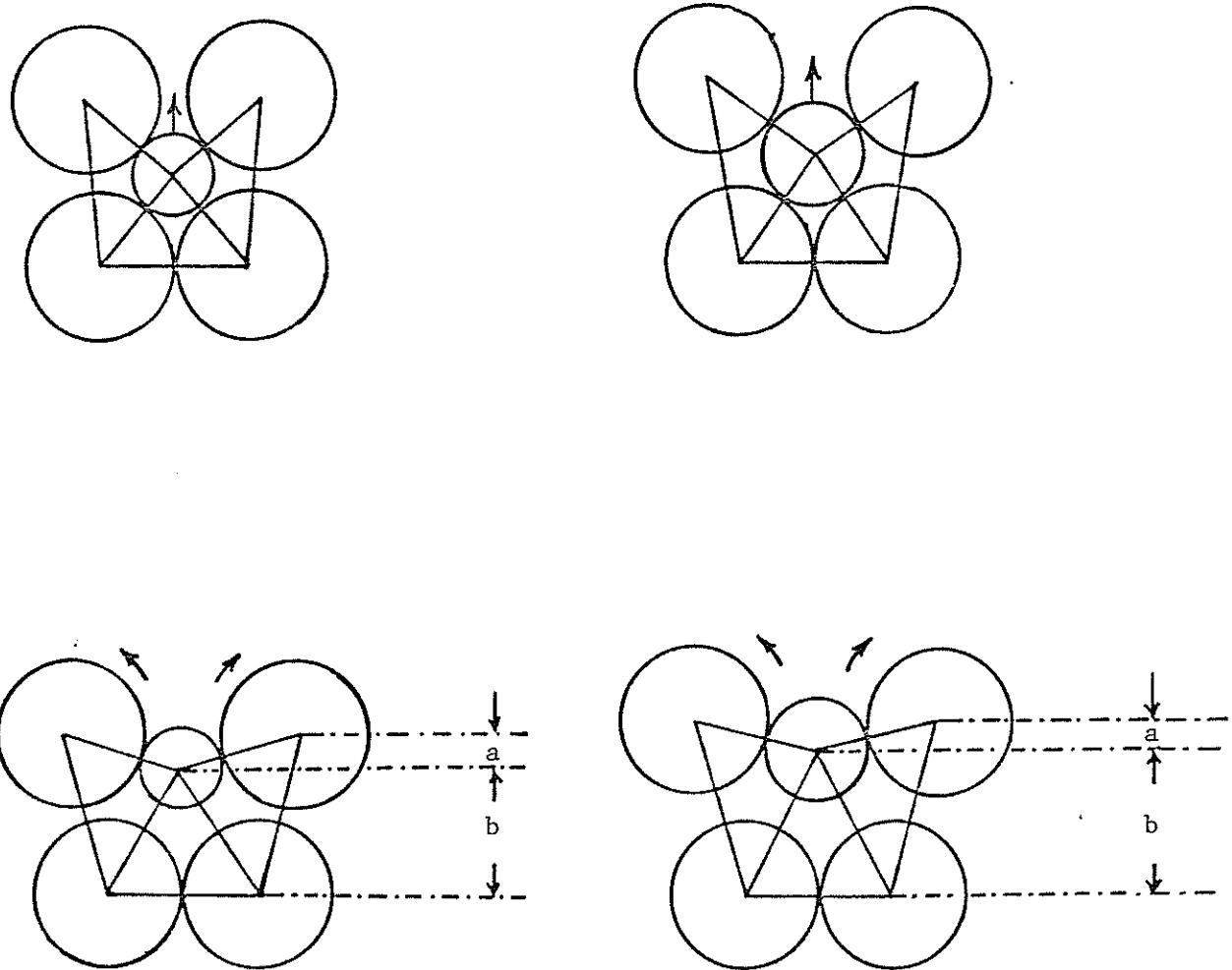


図4-2 MoO_6^{2-} 八面体において Mo^{2+} イオンのイオン半径
が大きい程、 Mo^{2+} イオンの非共有面方向への一定の
ずれに對して、 b/a が大きくなることを示す模型図。

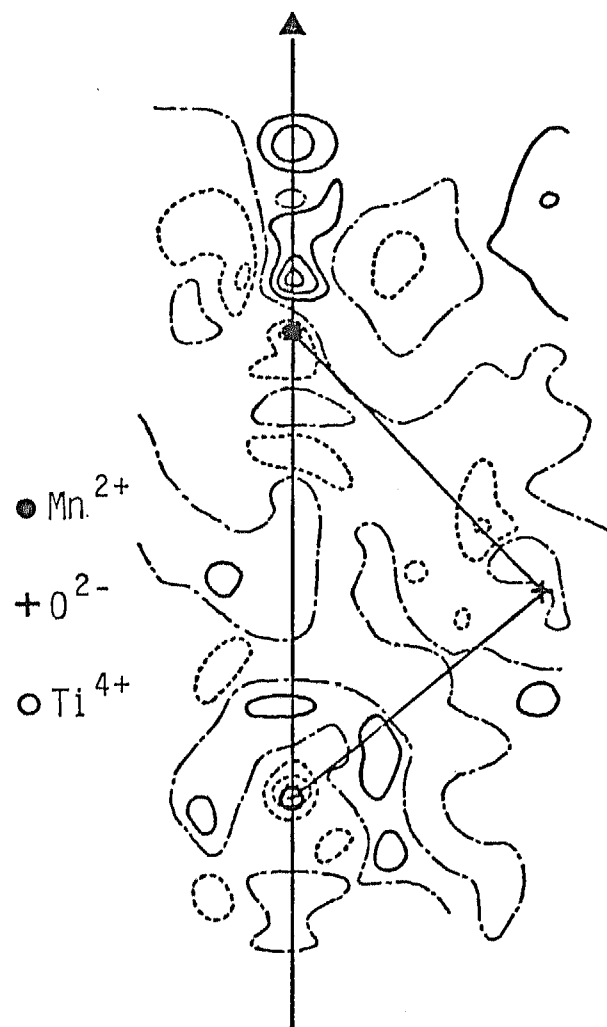


図4-3 球対称原子散乱因子を用い、調和熱振動のみを考慮した通常の構造精密化後に得られた差フーリエ合成図の Mn^{2+} , Ti^{4+} , O^{2-} イオン及び3回軸を含む断面。等高線の間隔は $0.2\text{e}\text{\AA}^{-3}$ で、破線は負、一点鎖線は零、実線は正を示す。

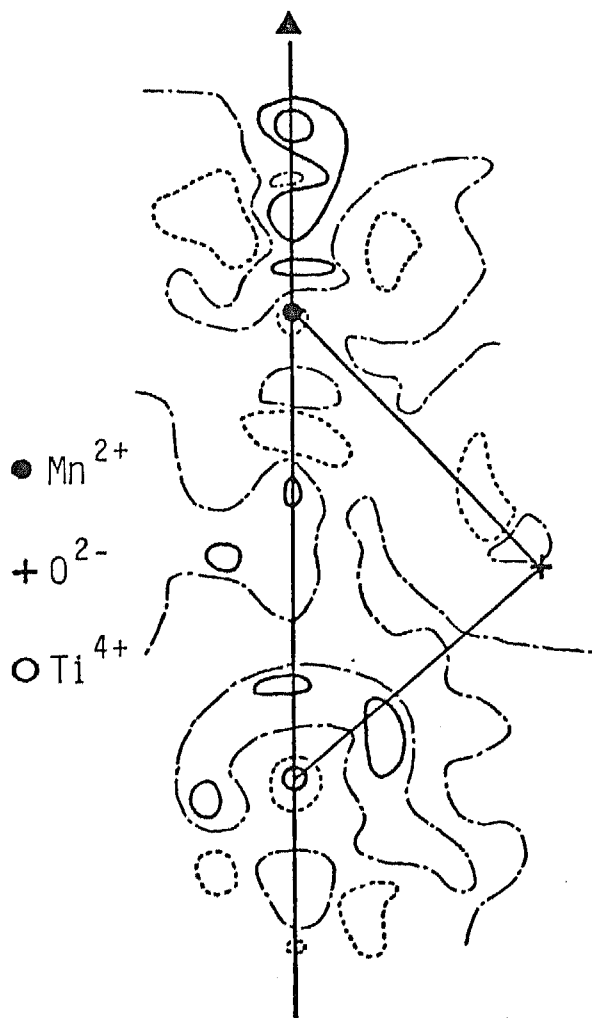


図4-4 Mn^{2+} 及び Ti^{4+} イオンの非調和熱振動を考慮した
構造精密化後に得られた差フーリエ合成図の Mn^{2+} ,
 Ti^{4+} , O^{2-} イオン及び3回軸を含む断面。等高線の間
隔は $0.2 \text{e}\text{\AA}^{-3}$ で、破線は負。一点鎖線は零。実線は
正を示す。

第5章 チタン酸鉄の単結晶X線構造解析

5-1 実験

CoTiO_3 及び MnTiO_3 と同様、フローティング・ゾーン法によって合成された (Takei, Hosoya & Kojima, 1982) 大型単結晶の一部を用いて実験を行なった。格子定数は $\text{MoK}\alpha$ 線を用い、四軸型自動X線回折計で 85° 以上の値をもつ 49 個の 2θ 値から最小二乗法により決定した。得られた値を他の結晶学的データと共に表5-1 に示す。

独立な $1/6$ の逆格子空間について積分反射強度を測定し、合計 1759 個の反射データを得た。測定条件をまとめて表5-2 に示す。Lorentz 因子、偏光因子、吸收効果及び消衰効果に対する補正を CoTiO_3 , MnTiO_3 結晶と同様の方法で行なった。なお、構造因子の絶対値 $|F|$ が標準偏差 $\sigma(|F|)$ の 3 倍以下の弱い反射はデータセットから消去した。

5-2 電子密度分布解析

2段階に分けて解析を行なった。まず、総てのイオンに対して球対称原子散乱因子を用い、調和熱振動のみを考慮した通常の方法により解析した。続いて、 Fe^{2+} イオンの 3d 電子に対して非球対称軌道散乱因子を用い、 Fe^{2+} 及び Ti^{4+} イオンの熱振動に非調和性を考慮して解析を行なった。

a) 球対称原子散乱因子を用いた構造の精密化

Shirane, Pickart & Ishikawa (1959) によって与えられている FeTiO_3 の原子座標を出発座標として、最小二乗法プログラム LINEX (Becker & Coppens, 1974a, 1974b, 1975) により構造の精密化を行なった。モザイタの広がりにガウス分布を仮定して、タイプIIの異方性消衰効果の補正を含む最小二乗法計算の結果得られた R 及び R_w 値は 0.0116 及び 0.0128 であった。タイプIの消衰効果の補正のもとに最小二乗法計算を行なった結果、 R 及び R_w 値は 0.0123 及び 0.0138 であったので、タイプIIの異方性効果を仮定した結果を採択した。構造精密化後、等価な反射を平均して差ツーリエ合成を行なった。その結果、 Fe^{2+} イオンの位置に -0.91 \AA^{-3} 、 Ti^{4+} イオンの位置に 0.82 \AA^{-3} のピーコクが現れた。これらを説明するために CoTiO_3 , MnTiO_3 と同様、金属イオンが一部他種陽イオン席を占めているモデル $(\text{Fe}_q \text{Ti}_r)(\text{Ti}_u \text{Fe}_v)_{0_{q+r+2(r+u)}}$ を仮定した。 $q+r$, $u+v$ のうち大きな方の値を 1.0 に規格化して精密化し、 q, r, u, v としてそれぞれ 0.95(1), 0.05(1), 0.91(2), 0.08(1) という値を得た。従って本研究で用いた結晶の組成は誤差の範囲内で $(\text{Fe}_{0.95} \text{Ti}_{0.05})(\text{Ti}_{0.91} \text{Fe}_{0.08})_{0_{0.01}} \text{O}_3$ である。この段階で R 及び R_w 値は 0.0112 及び 0.0115 であった。

b) 非球対称原子散乱因子を用いた構造の精密化

Fe^{2+} イオンの席対称は C_3 である。そこで FeO_6 八面体を構成する六つの O^{2-} , 3 回軸上の Ti^{4+} 及び酸素八面体の稜を共有して隣接する三つの Fe^{2+} イオンにそれぞれ -2, +4, +2 の点電荷を置い

て2章3節で述べた方法に従って波動関数 及びそれに基く非球対称軌道散乱因子を求め、次のよろな結果を得た。

$$a: \psi_{3z=0} \quad (5-1)$$

$$e(t_{2g}): \begin{cases} 0.8245 \psi_{322} + (0.5635 + 0.0511 i) \psi_{32-1} \\ 0.8245 \psi_{32-2} - (0.5635 - 0.0511 i) \psi_{321} \end{cases} \quad (5-2)$$

$$e(e_g): \begin{cases} 0.5659 \psi_{322} - (0.8211 + 0.0745 i) \psi_{32-1} \\ 0.5659 \psi_{32-2} + (0.8211 - 0.0745 i) \psi_{321} \end{cases} \quad (5-3)$$

$$f(a) = \langle \bar{j}_0 \rangle - \frac{5}{7} (3 \cos^2 \theta - 1) \langle \bar{j}_2 \rangle + \frac{9}{28} (35 \cos^4 \theta - 30 \cos^2 \theta + 3) \langle \bar{j}_4 \rangle \quad (5-4)$$

$$\begin{aligned} f\{e(t_{2g})\} = & \langle \bar{j}_0 \rangle + 0.3172 (3 \cos^2 \theta - 1) \langle \bar{j}_2 \rangle \\ & - 0.0322 (35 \cos^4 \theta - 30 \cos^2 \theta + 3) \langle \bar{j}_4 \rangle \\ & + (3.4848 \cos 3\phi - 0.3161 \sin 3\phi) \sin^3 \theta \cos \theta \langle \bar{j}_4 \rangle \end{aligned} \quad (5-5)$$

$$\begin{aligned} f\{e(e_g)\} = & \langle \bar{j}_0 \rangle - 0.0141 (3 \cos^2 \theta - 1) \langle \bar{j}_2 \rangle \\ & - 0.1285 (35 \cos^4 \theta - 30 \cos^2 \theta + 3) \langle \bar{j}_4 \rangle \\ & - (3.4848 \cos 3\phi - 0.3161 \sin 3\phi) \sin^3 \theta \cos \theta \langle \bar{j}_4 \rangle \end{aligned} \quad (5-6)$$

これらの非球対称軌道散乱因子を用いて電子密度分布を解析した。

非球対称軌道散乱因子は主として Fe^{2+} イオンが占める席の Fe^{2+} イオンの $3d$ 電子についてのみ用いた。さらに電子密度分布解析後の差フーリエ合成図上に現れた残差電子密度を説明するために Fe^{2+} 及び Mn^{4+} イオンについて (2-70) 式を用いて熱振動の非調和性を考慮に入れた解析を行ない、非調和ポテンシャルを求めた。最終

的にR及びR_w値は1.0109及び1.113となり、表5-3に示すような座標、温度因子、各3d軌道を占める電子数及び消衰効果補正のパラメーターを得た。調和ポテンシャル及び3次と4次の非調和ポテンシャルパラメーターを表5-4に、最終的な精密化後の構造因子の実測値、計算値及び標準偏差を表5-5にそれぞれ示す。

5-3 結果 および 考察

図5-1に FeO_6 および TiO_6 八面体中の原子間距離を示す。 Fe^{2+} イオンのイオン半径、 0.92\AA (Shannon, 1976)は Ti^{4+} のイオン半径、 0.745\AA (Shannon, 1976)に比べて大きいために FeO_6 八面体中の平均Fe-O結合距離(2.141\AA)は、 TiO_6 八面体中の平均Ti-O結合距離(1.980\AA)よりも大きい。O-O間の距離の特徴は、 CoTiO_3 、 MnTiO_3 の場合と同様、 FeO_6 八面体においては共有面を構成するO-Oⁱⁱ間の距離が最も短いが、 TiO_6 八面体では共有稜であるO-O^{vi}間の距離が最も短い。即ち TiO_6 八面体は3回軸方向にかなりつぶれた形になっている。また、陽イオン間の反発による Fe^{2+} と Ti^{4+} イオンの非共有面方向へのずれの結果、 TiO_6 八面体の Ti^{4+} イオンと共有面を構成するO²⁻イオンとの距離は、反対側の非共有面を構成するO²⁻イオンとの距離の1.114倍、 FeO_6 八面体の Fe^{2+} イオンと共有面を構成するO²⁻イオンとの距離が非共有面を構成するO²⁻イオンとの距離の1.059倍となっている。本研究ですでに解析した CoTiO_3 、 MnTiO_3 と Ti_2O_3 (Vincent et al.,

1980) 及び LiNbO_3 (Abrahams, Reddy & Bernstein, 1966) と比較検討するために、これらの構造上の特徴を表 5-6 に示した。この 1.114 及び 1.059 という値は CoTiO_3 における金属イオンと非共有面を構成する O^{2-} イオンとの距離の、共有面を構成する O^{2-} イオンとの距離に対する比 (1.115 及び 1.058) とほぼ同じである。また、 FeTiO_3 及び CoTiO_3 結晶中の TiO_6 八面体と LiNbO_3 中の NbO_6 八面体の、この比はそれぞれ 1.114, 1.115, 1.116 と大差ない値となっており、他の MeO_6 八面体に比べて値が大きいということも特徴的である。 Ti^{4+} イオンのイオン半径は 0.745\AA , Nb^{5+} イオンは 0.78\AA であり、その値が近いことから、この程度のイオン半径を持つ金属イオンが三方対称場中で八面体配位している場合、結合距離の正八面体配位からの差の最大値が、この約 1.115 という値で与えられるものと考えられる。また、金属イオンと共有面の間隔の、非共有面との間隔に対する比は、 MnO_6 八面体 (1.848) と LiO_6 八面体 (2.24) が大きく、イオン半径が大きくて原子量が小さいほど 八面体の中心からのずれが大きいことが窺える。しかし、 FeO_6 八面体は Fe^{2+} のイオン半径が 0.92\AA と大きいのに対し、この比は 1.666 で、イオン半径の小さい Ti^{4+} イオンの共有面との間隔の非共有面との間隔に対する比 (1.698) よりも小さい。この FeTiO_3 の特徴は CoTiO_3 にも見られる。すなわち Co^{2+} イオンの共有面との間隔の非共有面との間隔に対する比は 1.663 であり、 Ti^{4+} イオンの比 1.725 よりも小さい。

図 5-2 は、通常の構造精密化後の差フーリエ合成図である。

3回軸上、 Fe^{2+} イオンの周りに二つの正のピークと一つの負のピークがみられる。負のピークは Fe^{2+} イオンの位置から共有面方向へ 0.35\AA の位置にあり、 -0.40 e\AA^{-3} の深さをもち、 Fe^{2+} イオンは負の領域にある。正のピークは3回軸上 Fe^{2+} イオンの両側に観測され、一つは非共有面側、 Fe^{2+} イオンの位置から 0.35\AA の位置にあって 0.88 e\AA^{-3} の高さをもち、他の一つは共有面側 0.63\AA の位置にあって 0.62 e\AA^{-3} の高さをもつ。これらの残差電子密度は3回軸上に沿って広がる $3d_{z^2}$ 軌道を占める電子密度が他の $3d$ 軌道の電子密度よりも高く、 Fe^{2+} イオンの周りの電子密度分布が全体として非球対称的であることによると考えることが出来るが、一方、 $MnTiO_3$ と同様、非調和熱振動による影響の可能性も考えられる。 Ti^{4+} イオンの周りの残差電子密度は、 Fe^{2+} イオンの周りと非常によく似ており、一つの負のピークと二つの正のピークが見られる。負のピークは Ti^{4+} イオンから共有面方向へ 0.19\AA の位置にあり -0.53 e\AA^{-3} の深さで Ti^{4+} は負の領域に存在する。正のピークは3回軸上 Ti^{4+} イオンの両側に観測され、一つは非共有面側 Ti^{4+} イオンから 0.50\AA の位置にあり、 0.65 e\AA^{-3} の高さをもち、他の一つは共有面側で Ti^{4+} イオンから 0.61 e\AA^{-3} の位置にあり、 0.78 e\AA^{-3} の高さをもっている。また Ti^{4+} イオンの付近 $Ti-O$ 結合上、 Ti^{4+} イオンから 0.49\AA の位置に 0.21 e\AA^{-3} の正のピークが観測される。この Ti^{4+} イオンの周りの3回軸上非共有面側にある高い正のピークは $CoTiO_3$ 、 $MnTiO_3$ には見られなかった特徴である。

Fe^{2+} イオンに非球対称原子散乱因子を用いて構造精密化を行

な。た後、図 5-3 に示すような差フーリエ合成図を得た。 Fe^{2+} イオンの周り、3 回軸上非共有面側 Fe^{2+} イオンから 0.35 \AA の位置に付いた正のピークは 0.77 e\AA^{-3} に、共有面側 0.63 \AA の位置にあった正のピークは 0.42 e\AA^{-3} にそれぞれ減少した。 Fe^{2+} イオンの位置から共有面側 0.35 \AA の位置にあった負のピークは -0.48 e\AA^{-3} とむしろ大きくなって現れた。また Fe^{2+} イオンの置かれている位置が図 5-2 では僅かに負の領域にあったのが、図 5-3 ではほぼ零の等高線上にある。これらの特徴は MnTiO_3 の通常の精密化後の差フーリエ合成図（図 4-3）と非常によく似ている。すなわち、 Fe^{2+} イオンに非球対称原子散乱因子を用いて構造を精密化したことにより非調和熱振動の存在が、より明確になつたと考えられる。

最終的な電子密度分布解の結果、 a , $e(t_{2g})$, $e(e_g)$ の各軌道を占める電子数を比較してみると、誤差の範囲内で $e(t_{2g})$ と $e(e_g)$ 軌道の電子数が等しく、一つの軌道あたりの電子数は a で最も大きくなっている。この結果は、 Fe^{2+} イオンの 3d 電子配列は高スピン状態をとっており六つの 3d 電子のうちスピンが逆向きの一つの電子は d_{z^2} 軌道に入る確率が最も高いことを示している。

非調和熱振動の解析後、図 5-4 に示すような差フーリエ合成図を得た。 Fe^{2+} イオンの周りの、3 回軸上非共有面側の正のピークは 0.24 e\AA^{-3} に、共有面側の負のピークは -0.18 e\AA^{-2} にそれぞれ減少した。 Fe^{2+} イオンの非調和ポテンシャルパラメーターのうち、 C_{311} と C_{333} が標準偏差よりも大きな値を与えた。また、 Ti^{4+} イオンの周りの残差電子密度にはほとんど変化はみられなかつたが

再び3回軸上共有面方向へ 0.19 \AA の位置に負のピークが現れた (0.33 eA^{-3})。また Ti^{4+} イオンについては 非調和ポテンシャルパラメータのうち C_{222} , C_{311} と γ_{2223} が標準偏差より大きな値となった。 Fe^{2+} イオンの周りは、ほとんど残差電子密度がなくなったにも拘らず Ti^{4+} イオンの周りは、差フーリエ合成図にあまり改善がみられなかつた原因として、鉄イオンは3価が混ざり易いことから、 Fe^{2+} 席に一部 Fe^{3+} が混入し、それと同時に Ti^{4+} 席に一部 Ti^{3+} が入っているため、 Ti^{3+} イオンの3d電子による残差電子密度が現れている可能性が考えられる。しかしこのモデルは、メスバウアー測定の結果 (Ito, 1983) と矛盾する。しかし FeTiO_3 における Ti^{4+} イオンの周りの残差電子密度は、電子雲が変形して Fe^{2+} イオンの方向へ伸びることによって陽イオン間の反発力を緩和しているだけでなく、他の原因が考えられ、今後の研究課題である。

FeO_6 八面体と CoO_6 八面体において、金属イオンの非共有面方向へのずれがこれらのイオン半径から予想されるよりも小さい (表 5-6) 理由として、電子密度分布解析の結果明らかにされたように Fe^{2+} 及び Co^{2+} イオンは、3d電子が非球対称的な電子密度分布をもっており、金属-金属イオン間に存在する $3d_{z^2}$ 軌道を占める 3d電子によって、陽イオン間の反発力が一部緩和されることが挙げられる。

電子密度分布解析の結果、 MeTiO_3 ($\text{Me} = \text{Mn}, \text{Fe}, \text{Co}$) 結晶中の Me^{2+} イオンは、いずれも高スピニ状態の電子配列をとっていることが、実験的に明らかにされた。一軌道あたりの電子数が、 Co^{2+}

イオンでは $e(t_{2g})$ 軌道で最も多く、 Fe^{2+} イオンでは α 軌道で最も多いといふ実験結果は Co^{2+} イオンが $3d$ 電子を 7 個、 Fe^{2+} イオンが $3d$ 電子を 6 個もっていることから、合理的な結果と言える。

表 5-1 FeTiO₃ の結晶学的データ

Space group	R $\bar{3}$
a	5.08854(7) Å
c	14.0924(3)
Z	6
D _x	4.789
μ (MoK α)	103.40
	gcm ⁻³
	cm ⁻¹

表5—2 FeTiO₃ の測定条件

Diameter of specimen	0.145 mm
Radiation	MoK α
Monochromator	Graphite
$2\theta_{\max}$	135°
Scan technique	$\omega - 2\theta$
Scan Speed	2°min^{-1} in 2θ
Number of measured reflections	1759
Number of used reflections	1260
Independent reflections	1072
Reflections for anisotropic extinction corrections	75

表5-3 $(Fe_{0.95}Ti_{0.05})(Ti_{0.91}Fe_{0.08}O_{0.01})O_3$ の最終パラメータ

Positional and thermal parameters (\AA^2)					
	x	0		x	0.31725(9)
Fe	y	0		y	0.02352(9)
	z	0.35542(1)		z	0.24495(3)
	U_{11}	0.00627(3)		U_{11}	0.0052(1)
	U_{33}	0.00607(4)		U_{22}	0.0060(1)
				U_{33}	0.0069(1)
Ti	x	0		U_{12}	0.00224(9)
	y	0		U_{13}	0.00027(8)
	z	0.14640(1)		U_{23}	0.00157(8)
	U_{11}	0.00490(3)			
	U_{33}	0.00513(4)			

Extinction parameters (10^{-4}cm) Electron populations

G_{11}	535(49)	a	1.31
G_{22}	564(49)	$e(t_{2g})$	2.33(4)
G_{33}	85(6)	$e(e_g)$	2.36(3)
G_{12}	-544(49)		
G_{13}	-89(10)		
G_{23}	101(11)		

The form of the anisotropic temperature factor is defined as

$$\exp[-2\pi^2\{(h^2+k^2)a^*{}^2U_{11}+l^2c^*{}^2U_{33}+1/2hka^*{}^2U_{11}\}]$$

表5-4 調和 ($10^{-19} \text{J\AA}^{-2}$) , 3次の非調和($10^{-19} \text{J\AA}^{-3}$) 及び
4次の非調和($10^{-19} \text{J\AA}^{-4}$) ポテンシャルパラメーター
(24°C)

	Fe	Ti
b_1	6.54(0.04)	8.37(0.07)
b_3	6.75(0.04)	8.00(0.06)
c_{111}	-0.1(0.2)	-0.5(0.5)
c_{222}	0.04(0.2)	-0.5(0.4)
c_{311}	0.6(0.5)	-2.1(1.1)
c_{333}	-0.9(0.4)	-0.5(0.8)
q_{1111}	-1.0(1.3)	-0.6(3.1)
q_{1133}	8.1(10.5)	4.9(23.8)
q_{3333}	-2.9(3.7)	-2.1(7.7)
q_{1311}	-5.2(7.5)	3.0(18.3)
q_{2223}	-0.26(6.7)	21.3(17.1)

Values in parentheses are the e.s.d. s.

表5-5 構造因子の実測値 及び 計算値 ($\times 100$)

L	FO	FC	SIGF	L	FO	FC	SIGF	L	FO	FC	SIGF
H,K= 0 -6				H,K= 3 -3				H,K= -2 -1			
0 9503 9499	23	0 21551 21534	20	-10 12523 12444	17	-4 13489 13606	19				
H,K= 3 -6				H,K= 6 -3				H,K= -1 -1			
0 11501 11406	20	0 11518 11406	21	-6 14674 14888	24						
H,K= 1 -5				H,K= -2 -2				0 16548 16486	26		
0 9966 9918	19	0 12417 12448	15	6 17072 17240	25						
H,K= 2 -4				H,K= -1 -2				H,K= 0 -1			
0 12455 12448	15	4 16051 16014	19	-8 9713 9846	13						
H,K= 3 -4				H,K= 0 -2				-4 18052 18262	26		
4 11767 11877	16	-10 12357 12341	16	10 14939 14876	21						
H,K= 5 -4		-4 17692 17892	23	-4 18264 18262	27						
0 9826 9918	19	H,K= 1 -2		8 9769 9846	13						
H,K= -3 -3											
0 11541 11406	21	-6 17088 17240	24	H,K= 2 -1							
H,K= -1 -3		0 16531 16486	19								
-4 11939 11877	16	6 14796 14888	18	-6 14815 14888	18						
H,K= 0 -3		H,K= 2 -2		0 16535 16486	14						
0 21670 21534	27	4 17893 17892	17	6 17217 17240	18						
H,K= 1 -3		10 12366 12341	16								
H,K= 2 -3		H,K= 3 -2									
-4 13516 13606	19	-10 12306 12444	17	H,K= 4 -1							
10 12455 12444	17	-4 13482 13606	19	H,K= -6 0							
H,K= -4 -1		0 12441 12448	15								
-4 15904 16014	19	0 9963 9918	19	0 9493 9499	23						
				H,K= -3 0							
				0 21704 21534	27						

L	FO	FC	SIGF	L	FO	FC	SIGF	L	FO	FC	SIGF
H,K= -2 0				14	10905	10808	20	H,K= 6 0			
4 17702 17892	23			17	664	571	15				
10 12408 12341	16			20	5566	5610	25	0	9564	9499	23
				23	627	607	21	6	4227	4251	18
				26	1460	1450	13	9	458	393	25
H,K= -1 0				29	778	763	19	12	691	673	19
				32	2379	2357	11	15	1275	1263	13
-10 14916 14876	21			35	380	405	23	18	4563	4564	21
-4 17694 18262	26							21	401	448	33
8 9833 9846	13			H,K= 3 0				24	3905	3909	18
								27	386	417	29
H,K= 0 0				0	21841	21534	27	30	2146	2173	10
				3	994	904	8				
3 996 1423	4			6	5686	5740	16	H,K= 7 0			
6 4878 4632	11			9	954	879	10				
9 1804 1729	8			12	2294	2199	10	4	4759	4746	19
12 3878 3696	18			15	2088	2045	9	7	581	566	22
15 2757 2711	13			18	7118	7109	25	10	6677	6654	28
18 8627 8536	22			21	607	630	21	13	683	682	20
21 663 699	18			24	4596	4580	21	16	1743	1740	12
24 4836 4855	20			27	712	747	20	22	853	841	16
27 941 943	16			30	3206	3209	15	25	885	905	14
30 3655 3651	16			33	1275	1305	11	28	2945	2967	14
33 1501 1511	11							H,K= 8 0			
36 589 582	15			H,K= 4 0							
H,K= 1 0				1	288	198	27	2	818	698	17
				4	9180	9087	18	5	1167	1169	14
-8 9817 9846	13			7	1914	1762	9	8	1945	1888	11
1 857 1089	5			10	10418	10350	20	11	544	524	25
4 17769 18262	26			13	684	775	16	14	5363	5407	21
7 2957 2973	10			16	2919	2868	14	17	473	486	27
10 14963 14876	21			22	1474	1379	12	20	2487	2440	11
16 4289 4326	15			25	1159	1173	15	23	597	610	18
19 562 573	19			28	3993	3945	17	H,K= 9 0			
22 2014 1984	10										
25 958 961	16			H,K= 5 0				0	4890	4959	22
28 4436 4416	18							3	512	551	27
34 3217 3239	16			2	1356	1345	9	6	3195	3175	14
				5	1602	1536	8				
H,K= 2 0				8	3344	3362	14	12	223	165	55
				14	8048	8043	25	15	789	836	17
-10 12424 12341	16			17	609	548	21	18	2441	2446	11
-4 17713 17892	23			20	3843	3857	18	21	234	264	37
2 3309 3303	13			23	725	711	20				
5 1932 1912	8			26	1582	1565	12	H,K= 10 0			
8 6733 6780	15			29	493	535	23				
11 1173 1033	9			32	2195	2221	10	4	2846	2836	13

L	FO	FC	SIGF	L	FO	FC	SIGF	L	FO	FC	SIGF
10	3961	3982	16	23	585	580	21	H,K=	4	1	
13	298	288	33	26	962	936	16				
16	1090	1064	10	29	733	737	20	0	9959	9918	19
				32	2045	2050	10	3	3095	2933	12
H,K=	11	0		35	471	501	20	6	7610	7577	20
								9	2169	2156	10
2	505	450	19	H,K=	1	1		12	454	324	23
5	604	652	16					15	825	843	15
8	1133	1123	10	-6	17138	17240	25	18	4899	4929	20
				0	16685	16486	19	21	1494	1499	13
H,K=	-4	1		3	10507	10700	15	24	4572	4538	22
				6	14780	14888	18	27	976	988	15
4	11831	11877	16	9	5061	5086	16	30	2773	2768	13
				12	1050	895	9				
H,K=	-3	1		15	1780	1751	8	H,K=	5	1	
				18	6192	6273	23				
-4	16043	16014	19	21	2569	2491	12	1	1549	1442	10
				24	5537	5535	20	4	7510	7473	22
H,K=	-2	1		27	1567	1533	12	7	475	558	22
				30	3322	3331	16	10	7450	7425	24
-6	17219	17240	25	33	210	247	51	13	681	644	18
0	16469	16486	19					16	2584	2559	12
6	14783	14888	25	H,K=	2	1		19	1208	1177	14
								22	1160	1119	14
H,K=	-1	1		1	3071	3015	11	28	3621	3606	16
				4	13612	13606	14	31	340	344	25
-8	9809	9846	13	10	12595	12444	17				
1	829	1089	5	13	821	742	12	H,K=	6	1	
4	18323	18262	27	16	3471	3487	17				
7	2949	2973	10	19	1126	1116	12	2	3623	3578	16
10	15031	14876	21	22	1507	1480	11	5	563	564	21
16	4270	4326	15	25	480	510	28	8	5037	5010	19
19	602	573	18	28	4464	4480	22	14	4403	4408	21
22	1991	1984	10	34	2805	2801	13	17	624	617	22
25	997	961	15					20	4835	4838	22
28	4423	4416	18	H,K=	3	1		23	1009	1021	15
34	3261	3239	15								
				2	5888	5772	16	H,K=	7	1	
H,K=	0	1		5	1074	1001	9				
				8	7662	7624	18	0	6207	6204	28
-10	14895	14876	21	11	568	450	16	3	783	761	18
2	7519	7494	11	14	7215	7278	22	6	3962	3948	17
5	518	476	10	17	855	760	14	9	852	852	18
8	9744	9846	13	20	6197	6186	27	12	206	163	63
11	1940	1845	9	23	1029	1047	15	18	3630	3604	15
14	10496	10472	19	26	556	510	25	21	545	542	22
17	602	448	16	32	1659	1661	10	24	3119	3089	13
20	6632	6726	25								

L	F0	FC	SIGF	L	F0	FC	SIGF	L	F0	FC	SIGF	
H,K= 8 1				32	2362	2357	11	H,K= 2 2				
				35	402	405	22					
1 657	640	21						0 12459	12448	15		
4 4707	4716	22	H,K= -1 2					3 1927	1983	9		
7 525	514	26						6 11275	11144	17		
10 4433	4408	21	-6 14788	14888	18			9 1896	1790	9		
16 1849	1841	11	0 16495	16486	26			12 2246	2191	10		
19 798	809	15	3 5429	5388	11			15 2014	1926	9		
22 901	876	12	6 17102	17240	24			18 3716	3744	16		
			9 3409	3337	12			24 6738	6625	29		
H,K= 9 1				12 3389	3308	14			30 1729	1675	11	
				15 2734	2629	13			33 514	510	20	
2 2236	2246	10	18 3942	4085	17							
5 306	315	40	21 244	216	45	H,K= 3 2						
8 3118	3145	13	24 7540	7528	28							
14 2661	2650	13	30 1689	1668	12			1 809	717	12		
17 409	414	23	33 558	575	21			4 10918	10801	19		
								7 723	648	13		
H,K= 10 1				H,K= 0 2				10 7892	7936	21		
								13 339	217	29		
0 4037	4062	19	1 3328	3343	12							
6 1954	1929	9	4 17719	17892	23			16 4001	4003	19		
9 267	201	35	7 739	622	10			19 1040	1032	14		
12 380	387	23	10 12408	12341	16			22 2155	2137	11		
			13 1168	1020	9			25 319	256	40		
H,K= -4 2								28 3403	3377	15		
			16 4484	4511	16							
			19 1399	1380	10	H,K= 4 2						
0 12426	12448	15	22 2131	2104	10							
			25 272	304	46			2 1483	1500	9		
H,K= -3 2				28 4234	4233	18			5 1544	1481	9	
				31 464	494	27			8 3817	3829	17	
4 13462	13606	19							11 2250	2137	10	
10 12300	12444	17	34 3111	3119	13				14 6857	6858	26	
			H,K= 1 2									
H,K= -2 2								17 1253	1279	13		
			-4 16095	16014	19				20 4716	4678	21	
-10 12318	12341	16	2 3027	2979	11							
-4 17906	17892	17	5 1072	1035	8			23 649	639	20		
2 3225	3303	13	8 6431	6418	16			29 1299	1285	11		
5 1909	1912	8	11 2560	2442	12			32 1444	1439	8		
8 6719	6780	15	14 9762	9716	20	H,K= 5 2						
11 1183	1033	8	17 472	490	21							
14 10817	10808	20	20 5826	5786	26			0 7116	7173	24		
17 698	571	15	26 1028	1020	15			3 592	544	19		
20 5491	5610	26	29 1171	1150	14			6 5999	5969	25		
23 606	607	21	32 1969	1966	10			9 368	312	31		
26 1457	1450	13						12 1009	1024	14		
29 756	763	19						15 815	822	18		

L	F0	FC	SIGF	L	F0	FC	SIGF	L	F0	FC	SIGF
18	3146	3119	14	H,K=	-6	3		H,K=	0	3	
24	4727	4705	21								
30	1580	1563	8	0	11474	11406	21	0	21773	21534	27
								3	1180	1111	7
H,K=	6	2		H,K=	-3	3		6	5676	5714	16
								9	843	739	11
4	6095	6107	27	0	21656	21534	27	12	2314	2231	10
10	5067	5062	20	3	989	904	8	15	2014	1954	9
13	356	285	36	6	5564	5740	16	18	7186	7145	25
16	2770	2787	12	9	913	879	10	21	534	572	23
19	490	523	27	12	2275	2199	10	24	4551	4549	21
22	1582	1590	11	15	2078	2045	9	27	741	705	19
25	322	312	32	18	7120	7109	24	30	3236	3239	15
				21	606	630	21	33	1283	1280	11
H,K=	7	2		24	4617	4580	21				
				27	766	747	19	H,K=	1	3	
2	841	742	18	30	3234	3209	15				
5	1233	1245	14	33	1285	1305	11	1	866	840	10
8	2280	2283	11					4	11992	11877	16
11	1557	1580	12	H,K=	-2	3		7	2691	2558	12
14	4546	4527	21					10	9572	9570	19
17	1152	1183	14	1	560	535	11	13	934	940	12
20	3231	3207	14	4	15969	16014	19	16	4127	4109	18
23	517	564	19	7	2739	2700	13	22	2310	2257	11
				10	10505	10608	17	25	1052	1061	16
H,K=	8	2		13	339	407	25	28	3493	3482	16
				16	4855	4857	23	34	3181	3211	14
0	4265	4306	18	19	509	528	22				
6	3481	3493	15	22	2690	2570	13	H,K=	2	3	
9	383	385	33	25	772	774	18				
12	483	422	25	28	3651	3641	16	2	1868	1887	9
15	209	102	53	34	3418	3394	14	5	2171	2066	10
18	2297	2275	10					8	3997	4025	15
21	463	422	18	H,K=	-1	3		11	345	362	28
								14	8676	8538	24
H,K=	9	2		-10	12440	12444	17	17	920	819	14
				-4	13505	13606	19	20	4187	4191	17
4	3343	3363	14	2	5061	4992	14	23	870	895	17
7	334	344	33	5	2235	2162	10	26	1661	1643	12
10	3250	3274	16	8	7597	7320	16	29	464	469	26
13	349	334	27	11	460	401	17	32	2360	2356	11
16	1534	1535	8	14	9430	9445	20				
				17	1058	933	12	H,K=	3	3	
H,K=	10	2		20	5776	5771	26				
				23	918	946	16	0	11606	11406	21
2	467	469	19	26	1218	1176	14	3	552	460	17
5	642	683	14	32	2194	2170	10	6	4525	4573	16
				35	566	584	16	12	1093	1072	12

L	F0	FC	SIGF	L	F0	FC	SIGF	L	F0	FC	SIGF	
15	1210	1193	12	H,K=	8	3		3	4964	4855	17	
18	5320	5313	20					6	10054	9958	17	
21	339	336	39	2	403	365	30	9	3067	3034	14	
24	4061	4044	18	5	1049	1056	14	12	729	563	14	
27	288	371	41	8	1219	1182	12	15	1224	1221	11	
30	2531	2545	11	11	540	536	21	18	5594	5452	25	
				14	4084	4140	18	21	1977	1935	10	
H,K=	4	3			17	397	433	22	24	5014	5009	21
								27	1256	1250	14	
1	423	324	27	H,K=	9	3		30	2998	3030	13	
4	6581	6650	24									
7	1058	1025	13	0	3271	3313	15	H,K=	-1	4		
10	6733	6736	26	6	2429	2438	12					
13	796	808	17					1	1136	1071	8	
16	2868	2759	13	H,K=	-5	4		4	9371	9335	16	
22	1550	1542	12					7	1461	1370	8	
25	832	868	17	0	9828	9918	19	10	11661	11616	19	
28	2889	2910	14					13	291	368	32	
				H,K=	-4	4		16	2553	2527	12	
H,K=	5	3						22	1019	1037	15	
				1	236	198	34	25	1075	1077	15	
2	712	706	18	4	8923	9087	18	28	4404	4385	21	
5	1618	1608	11	7	1879	1762	9	34	2597	2602	12	
8	2183	2067	10	10	10239	10350	20					
11	733	742	19	13	700	775	15	H,K=	0	4		
14	6516	6467	29	16	2791	2868	13					
17	673	667	21	22	1381	1379	13	2	4892	4758	18	
20	2679	2659	12	25	1170	1173	14	8	6877	6824	19	
23	772	762	17	28	3976	3945	17	11	958	890	11	
26	1542	1544	10	31	285	310	37	14	6948	6927	23	
								17	495	328	23	
H,K=	6	3		H,K=	-3	4		20	5964	5967	28	
								23	752	740	19	
0	6211	6231	29	-4	11766	11877	16	29	415	427	29	
6	3471	3490	16	2	3420	3404	13	32	1567	1576	10	
15	691	687	20	5	1109	1013	9					
18	3227	3211	15	8	6027	6087	18	H,K=	1	4		
24	3222	3208	15	11	2188	2063	10					
				14	8094	8142	22	0	9683	9611	19	
H,K=	7	3		17	495	568	22	3	2935	2783	12	
				20	5678	5726	27	6	7910	7874	20	
4	3952	3965	18	26	792	709	18	9	2070	2068	10	
10	4422	4426	21	29	989	1001	15	12	662	576	16	
16	1684	1669	11	32	1707	1703	10	15	828	812	15	
22	894	910	11					18	4754	4734	20	
				H,K=	-2	4		21	1483	1494	12	
								24	4689	4694	22	
				0	12445	12448	15	27	1019	1009	15	

L	FO	FC	SIGF	L	FO	FC	SIGF	L	FO	FC	SIGF
30	2665	2663	12	H,K=	6	4		H,K=	-3	5	
H,K=	2	4		2	2802	2805	13	1	2756	2633	12
				5	383	393	34	4	10434	10336	18
1	955	878	12	8	3824	3830	18	7	902	968	11
4	6738	6794	21	14	2936	2910	14	10	8539	8577	21
7	423	336	23	17	585	550	20	13	1510	1303	10
10	8634	8539	24	20	3716	3699	15	16	3326	3320	16
16	2113	2121	10	23	872	895	11	19	1789	1770	11
19	531	506	25					22	1559	1491	12
22	890	857	17	H,K=	7	4		28	3961	3927	17
25	710	713	19					31	677	672	16
28	3850	3850	16	0	4282	4307	17				
				6	2791	2795	13	H,K=	-2	5	
H,K=	3	4		9	199	237	58				
				18	2413	2424	11	2	1712	1772	8
2	3952	3918	18					8	4243	4239	15
5	536	502	21	H,K=	8	4		11	1154	1067	10
8	5458	5443	25					14	8249	8116	24
14	4655	4683	20	4	3222	3222	15	20	4685	4665	20
17	625	619	22	10	2920	2974	12	26	1165	1174	14
20	5174	5173	21					29	896	886	15
23	1056	1066	15	H,K=	-5	5		32	1928	1962	9
H,K=	4	4		2	1616	1345	8	H,K=	-1	5	
				5	1560	1536	9				
0	6335	6343	26	8	3274	3362	14	0	10010	9918	19
3	926	825	15	14	8019	8043	25	3	1176	1223	9
6	4871	4922	20	17	649	548	20	6	8406	8367	20
9	900	928	16	20	3829	3857	18	9	1251	1155	10
12	330	307	38	23	742	711	19	12	1627	1564	9
18	3581	3557	16	26	1556	1565	12	15	1549	1527	10
21	657	683	21	29	538	535	21	18	3571	3543	17
24	3674	3654	16	32	2204	2221	10	24	5893	5882	21
27	509	475	19					30	1681	1650	10
				H,K=	-4	5		33	476	473	18
H,K=	5	4		0	9586	9611	19	H,K=	0	5	
1	387	336	32	3	1139	1030	9				
4	4787	4783	21	6	8605	8619	20	1	2079	1954	9
10	5387	5398	21	9	1045	956	11	4	9405	9348	20
16	1807	1799	11	12	1790	1736	9	7	824	856	13
19	462	465	27	15	1385	1353	11	10	7295	7305	23
22	873	845	14	18	3428	3427	15	13	1258	1150	11
25	389	417	23	24	5938	5944	21	16	3400	3375	14
				30	1630	1616	10	19	1704	1697	11
				33	418	383	20	22	1694	1642	12
								28	3577	3537	17

L	FO	FC	SIGF	L	FO	FC	SIGF	L	FO	FC	SIGF
31	696	714	15	23	577	591	19	25	687	607	20
				26	437	377	19	28	2645	2620	12
H,K=	1	5		H,K=	5	5		H,K=	-4	6	
2	1324	1344	10	0	5147	5147	21	2	3499	3425	16
5	1076	1037	11	3	445	288	30	5	914	903	12
8	3570	3543	15	6	3446	3454	16	8	5164	5134	23
11	1805	1756	10	15	482	477	25	14	6064	6131	26
14	6771	6719	26	18	2659	2651	12	17	652	603	20
17	1071	1048	14	4	3749	3717	17	20	4946	4968	21
20	4430	4437	21	10	3791	3807	17	23	958	926	16
23	351	371	37	H,K=	6	5		26	676	634	20
26	734	700	18	16	1546	1550	10	H,K=	-3	6	
29	1152	1155	12	19	446	453	20				
H,K=	2	5						0	11553	11406	20
0	7483	7563	24					3	418	285	22
3	1178	786	12	H,K=	7	5		6	4551	4581	16
6	5739	5633	25					9	444	316	23
9	591	586	21	2	480	436	23	12	1030	1058	13
12	896	774	16	5	882	909	14	15	1344	1331	12
15	1102	1081	14	8	1494	1504	10	18	5240	5297	20
18	3327	3298	16	11	1065	1135	11	21	388	442	34
24	4620	4610	21	14	2991	3021	13	24	4135	4066	18
30	1650	1616	8					27	493	464	24
				H,K=	-6	6		30	2532	2526	11
H,K=	3	5		0	9360	9499	23				
1	778	735	17	6	4139	4251	18	H,K=	-2	6	
4	6326	6307	27	9	431	393	26				
7	514	475	24	12	727	673	18	1	1418	1349	10
10	5370	5408	20	15	1253	1263	13	4	9125	9071	21
13	503	450	26	18	4538	4564	21	7	2127	1965	10
16	2605	2611	13	21	432	448	30	10	6303	6262	24
19	1075	1080	15	24	3905	3909	17	13	1122	1152	13
22	1331	1352	12	30	2164	2173	10	16	4097	4137	17
28	2740	2755	12					22	2548	2530	12
				H,K=	-5	6		25	873	862	17
H,K=	4	5		1	860	879	14	28	2619	2584	12
2	783	759	18	4	8563	8604	22	H,K=	-1	6	
5	1318	1309	13	7	1477	1389	10				
8	2510	2421	12	10	5993	6078	25	2	2024	2044	9
11	1660	1675	12	13	753	758	17	5	1294	1281	10
14	4817	4809	22	16	3880	3916	17	8	3783	3743	18
17	1263	1260	13	19	347	286	37	14	6894	6901	27
20	3425	3414	15	22	2330	2345	11	17	619	572	21

L	FO	FC	SIGF	L	FO	FC	SIGF	L	FO	FC	SIGF
20	4050	4022	18	H,K=	4	6		20	4049	4060	18
23	850	788	17					26	695	546	17
26	1222	1203	13	1	301	322	44	29	951	985	11
				4	4633	4606	21				
H,K=	0	6		7	462	422	29	H,K=	-5	7	
				10	4072	4058	18				
0	9559	9499	23	13	412	450	31	0	7442	7563	24
3	558	565	19	16	2152	2160	10	3	1508	1473	10
6	4108	4159	18	22	1278	1289	10	6	5160	5172	18
12	832	822	16					9	1318	1350	12
15	865	816	16	H,K=	5	6		15	391	417	34
18	4791	4761	21					18	4217	4219	18
21	264	167	48	2	549	403	24	21	926	947	17
24	3735	3731	18	5	1104	1119	14	24	3740	3704	17
30	2350	2343	11	8	1291	1270	12	27	595	619	19
				11	608	572	20	30	2347	2371	11
H,K=	1	6		14	4378	4386	19				
				17	477	437	20	H,K=	-4	7	
1	1038	1017	13					1	267	238	42
4	6903	6907	25	H,K=	6	6		4	5027	5034	24
7	1370	1320	12					7	808	763	15
10	5445	5439	19	0	3644	3652	16	10	8256	8216	26
13	1024	1019	15	6	2526	2532	12	13	758	796	18
16	3313	3307	16	9	322	330	31	16	1509	1516	12
22	2036	2035	11					22	688	587	20
25	737	783	17	H,K=	7	6		25	1115	1141	13
28	2350	2344	11					28	3585	3596	15
				1	227	229	36				
H,K=	2	6		H,K=	-7	7		H,K=	-3	7	
2	882	867	16								
5	1376	1367	12	4	4623	4746	19	2	2365	2376	11
8	2191	2191	10	7	662	566	19	8	4202	4161	19
11	572	597	24	10	6598	6654	28	11	824	796	16
14	6097	6113	29	13	648	682	21	14	5650	5642	20
17	519	540	26	16	1746	1740	12	20	4564	4524	22
20	2785	2723	13	22	884	841	16	23	435	325	29
23	653	670	19	25	867	905	15	26	617	516	20
26	1400	1393	10	28	2987	2967	14	29	564	565	18
				H,K=	-6	7		H,K=	-2	7	
H,K=	3	6									
0	6212	6220	29	2	1406	1411	11	0	7068	7173	24
6	3428	3422	15	5	1011	998	14	3	1283	1286	11
9	430	429	31	8	3246	3264	14	6	5547	5569	25
18	3366	3378	15	11	1521	1482	12	9	1226	1233	12
21	248	203	44	14	5620	5651	20	12	387	356	31
24	3053	3058	13	17	960	931	16	15	365	377	35

L	F0	FC	SIGF	L	F0	FC	SIGF	L	F0	FC	SIGF	
18	3949	3920	18	H,K=	3	7		21	480	438	25	
21	935	946	16					24	3884	3899	15	
24	3992	3948	17	2	2502	2503	12					
27	657	658	18	5	362	361	36	H,K=	-6	8		
30	2179	2206	10	8	3491	3533	16					
				11	331	248	37	1	1495	1487	12	
H,K=	-1	7		14	2982	3005	14	4	6116	6109	27	
				17	541	497	21	7	1219	1207	13	
4	4597	4559	19	20	3451	3466	15	10	5386	5373	20	
7	529	508	22					13	1047	1050	15	
10	7700	7703	27	H,K=	4	7		16	2317	2277	11	
13	613	644	22					19	1459	1483	13	
16	1321	1333	13	0	3920	3890	17	22	1058	1017	14	
22	532	467	24	6	3228	3229	15	25	394	338	26	
25	977	1005	14	15	392	337	26					
28	3482	3494	14	18	2051	2083	10	H,K=	-5	8		
H,K=	0	7		H,K=	5	7		2	1213	1132	13	
								5	658	648	19	
2	2835	2815	13	1	196	151	54	8	2646	2655	12	
5	283	288	41	4	2967	2979	14	14	5775	5815	21	
8	4268	4268	20	7	322	256	31	20	3301	3290	16	
14	4482	4461	21	10	3319	3334	15	23	463	441	26	
17	359	374	36	13	311	348	27	26	1028	1002	12	
20	4300	4336	18					H,K=	-4	8		
23	835	804	16	H,K=	6	7						
26	335	292	30		2	1603	1670	8	0	6272	6343	26
H,K=	1	7		H,K=	-8	8		6	5235	5241	19	
								12	1004	862	15	
0	5531	5489	20					15	676	648	21	
3	367	410	34	2	695	698	21	18	2925	2912	13	
6	4662	4687	21	5	1137	1169	14	24	4271	4286	20	
9	613	623	22	8	1901	1888	11	27	207	235	46	
12	536	543	25	11	515	524	26					
18	3061	3030	14	14	5367	5407	21	H,K=	-3	8		
21	563	537	22	17	460	486	27					
24	3560	3562	15	20	2506	2440	12	1	1764	1766	11	
				23	617	610	18	4	6548	6528	26	
H,K=	2	7						7	1443	1468	12	
				H,K=	-7	8		10	5393	5397	20	
4	3843	3838	18					13	1327	1323	13	
10	5611	5618	21	0	5415	5489	20	16	2489	2466	12	
13	456	456	29	6	4808	4875	21	19	1727	1742	12	
16	1346	1315	13	9	293	218	43	22	1154	1129	14	
22	590	571	18	12	848	854	18	25	517	533	22	
25	691	682	13	15	325	297	39	28	2959	3002	14	
				18	2722	2645	13					

L	F0	FC	SIGF	L	F0	FC	SIGF	L	F0	FC	SIGF	
H,K= -2 8				15	651	628	18	H,K= -6 9				
				18	2639	2651	12					
2 1249	1221	13						0 6174	6220	28		
5 305	268	39	H,K= 3 8					3 330	419	41		
8 2866	2852	13						6 3562	3511	15		
11 799	776	18	1 589	559	22			9 277	312	47		
14 5271	5276	21	4 3656	3651	17			15 907	924	17		
17 448	472	29	7 461	483	26			18 3154	3176	14		
20 3621	3598	18	10 3554	3554	16			21 297	305	37		
26 617	603	16	13 334	331	30			24 3256	3259	15		
			16 1432	1440	9							
H,K= -1 8				H,K= 4 8				H,K= -5 9				
0 6202	6204	27						1 1379	1305	12		
3 558	581	24	2 547	487	20			4 6068	6043	28		
6 4246	4254	17	5 736	756	15			7 1295	1268	13		
12 450	387	29	8 1542	1528	9			10 3968	3983	18		
15 802	803	18	11 909	968	12			13 1000	1001	16		
18 3025	2983	14						16 3201	3196	14		
24 3693	3726	15	H,K= -9 9					22 2024	2068	10		
								25 604	601	16		
H,K= 0 8				0 4886	4959	22		H,K= -4 9				
				3 615	551	25						
1 1235	1238	14	6 3155	3175	14							
4 5496	5461	21	9 399	362	32			2 1684	1688	12		
7 1090	1103	15	15 834	836	16			5 416	409	31		
10 4613	4616	21	18 2431	2446	12			8 2958	2961	13		
13 919	932	17						14 4659	4651	21		
16 2130	2152	11	H,K= -8 9					20 3312	3304	15		
19 1353	1365	12						23 441	449	24		
22 1025	1038	13	1 791	831	19			26 684	637	13		
25 389	379	22	4 5022	5061	21							
			7 851	807	18	H,K= -3 9						
H,K= 1 8				10 3804	3813	18						
				13 673	661	20	0 6212	6231	29			
2 942	886	16	16 2537	2564	12			6 3448	3424	15		
5 819	826	18	22 1579	1594	9			15 573	548	24		
8 2321	2323	11						18 3314	3358	15		
11 1109	1141	15	H,K= -7 9					24 3127	3096	15		
14 4178	4173	17										
17 813	841	16	2 2304	2309	11	H,K= -2 9						
20 3087	3115	14	8 3482	3483	16							
			14 3785	3753	18			1 1265	1272	14		
H,K= 2 8				17 268	300	45			4 5586	5642	21	
				20 3629	3611	16			7 1217	1223	14	
0 5071	5092	21	23 613	624	17			10 3796	3785	18		
3 438	391	30						13 996	1013	16		
6 2824	2810	13						16 2985	2992	14		

L	FO	FC	SIGF	L	FO	FC	SIGF	L	FO	FC	SIGF
22	1914	1952	9	10	3950	3982	15	H,K=	-4	10	
25	587	621	15	13	323	288	31				
				16	1055	1064	11	4	2857	2841	13
H,K=	-1	9						7	347	397	38
								10	5708	5706	21
2	884	901	17					13	671	669	20
5	607	613	23	2	710	691	20	16	836	785	16
8	2035	2026	11	5	629	659	21	22	327	264	27
14	4691	4704	21	8	1846	1848	11				
20	2491	2488	12	11	903	938	15	H,K=	-3	10	
23	341	347	26	14	3620	3612	16				
				17	656	673	16	2	1525	1486	12
H,K=	0	9						5	240	229	53
								8	2596	2615	12
0	4966	4959	21					14	3825	3767	17
3	474	512	29	0	5027	5092	21	20	2897	2905	13
6	3024	3009	14	3	409	376	32				
9	619	577	22	6	2663	2640	12	H,K=	-2	10	
18	2793	2821	12	9	416	464	31				
21	320	325	27	18	2959	2997	13	0	4349	4306	18
				21	222	253	39	6	3455	3453	16
H,K=	1	9						12	427	378	28
								18	2345	2361	10
								21	273	270	30
1	715	701	19								
4	4319	4286	21	4	2989	2967	14				
7	662	672	20	10	5296	5331	21	H,K=	-1	10	
10	3201	3192	15	13	573	612	23				
13	635	603	18	16	1027	941	14	4	2655	2631	12
16	2170	2174	10	22	401	388	22	7	309	282	40
								10	4744	4788	20
H,K=	2	9						13	486	506	24
								16	861	794	13
2	444	463	26	2	1087	1072	15				
5	701	701	18	8	2351	2319	11	H,K=	0	10	
8	1313	1281	11	11	573	550	23				
11	277	282	36	14	4096	4110	17	2	1607	1595	11
14	3721	3784	17	17	288	306	40	5	340	358	34
				20	2873	2859	13	8	2440	2478	11
H,K=	3	9						11	282	224	36
								14	2854	2838	13
0	3235	3277	15								
3	510	542	19	0	5107	5147	21	H,K=	1	10	
6	2333	2338	11	3	480	363	28				
9	607	633	15	6	3297	3302	14	0	3152	3144	14
				9	602	512	22	3	405	343	26
H,K=-10	10			18	2955	2971	13	6	2841	2884	13
				21	349	374	28	12	531	542	17
4	2831	2836	12	24	2664	2692	13				

L	F0	FC	SIGF	L	F0	FC	SIGF	L	F0	FC	SIGF
H,K= 2 10				7	1094	1135	14	H,K=-10 12			
4 2274	2282	10		10	3570	3574	17	2 1265	1296	10	
				13	911	960	14				
				16	1604	1569	10				
H,K=-11 11				19	1194	1227	10	H,K= -9 12			
2 408	450	26		H,K= -5 11				0 3209	3277	15	
5 611	652	16						3 528	539	20	
8 1188	1123	10		2 1119	1123	14		6 2504	2485	11	
				8 2130	2162	10		9 265	365	34	
H,K=-10 11				14 3470	3466	16		H,K= -8 12			
0 3133	3144	14		H,K= -4 11				1 741	765	16	
3 453	428	25						4 3617	3633	15	
6 2794	2817	13		0 4305	4307	17		7 654	691	16	
9 642	618	17		6 2916	2892	14		10 2453	2446	11	
12 483	396	19		12 267	179	41					
				18 2238	2244	10					
H,K= -9 11				H,K= -3 11				H,K= -7 12			
1 696	755	19						2 1104	1106	13	
4 3681	3673	16		1 1094	1108	14		8 1940	1965	9	
7 704	701	17		4 3981	4021	17		11 292	269	32	
10 3207	3221	15		7 1064	1070	14		14 2790	2806	13	
13 555	570	19		10 3327	3335	14		H,K= -6 12			
16 1413	1398	9		13 846	903	14					
				16 1533	1530	9					
H,K= -8 11				H,K= -2 11				0 3615	3652	16	
2 871	842	16						6 2569	2550	12	
5 567	575	22		2 1056	1020	14		H,K= -5 12			
8 1742	1739	11		5 309	268	36					
11 277	221	39		8 2026	2037	9		1 915	933	14	
14 3571	3591	15		11 438	485	23		4 3810	3830	15	
				14 2910	2945	12		7 820	834	14	
H,K= -7 11				H,K= -1 11				10 2451	2428	11	
								13 665	672	14	
0 3910	3890	17									
3 277	242	45		0 4046	4062	19		H,K= -4 12			
6 3238	3252	15		6 2026	2024	10					
9 447	437	27		12 198	196	43		2 754	696	16	
12 523	446	22						8 1536	1545	10	
18 2055	2052	10		H,K= 0 11				11 307	293	29	
H,K= -6 11				1 622	658	16		H,K= -3 12			
				4 3063	3088	14					
1 1169	1188	14		7 626	616	15		0 3281	3313	15	
4 4187	4216	17						6 2315	2315	11	

L	FO	FC	SIGF	L	FO	FC	SIGF	L	FO	FC	SIGF
9	394	365	22	4	3189	3223	14				
H,K= -2 12				H,K= -6 13							
1	687	716	14	2	621	615	15				

表5—6 イルメナイト型結晶及びコランダム型結晶における構造上の特徴

	MnTiO ₃ MnO ₆	TiO ₆	FeTiO ₃ FeO ₆	TiO ₆	CoTiO ₃ CoO ₆	TiO ₆	Ti ₂ O ₃ TiO ₆	Ti ₂ O ₃ LiO ₆	LiNbO ₃ NbO ₆
0-Me-O(非共有面) [°]	103.25	101.82	101.38	102.40	101.71	102.68	98.6	108.72	99.29
0-Me-O(共有面) [°]	72.98	81.22	75.56	80.56	76.44	80.15	85.2	74.75	80.14
金属イオン間距離 [Å] (//C軸)	3.0316		2.9456		2.9162		2.58		3.01
金属イオン間距離 [Å] (⊥C軸)	3.0633	3.0162	3.0031	2.9929	2.9871	2.9833	2.99		3.05
金属 — 共有面 金属 — 非共有面	1.848	1.650	1.666	1.698	1.663	1.725	1.315	2.24	1.58
金属 — 酸素(共有面) 金属 — 酸素(非共有面)	1.080	1.109	1.059	1.114	1.058	1.115	1.020	1.082	1.116

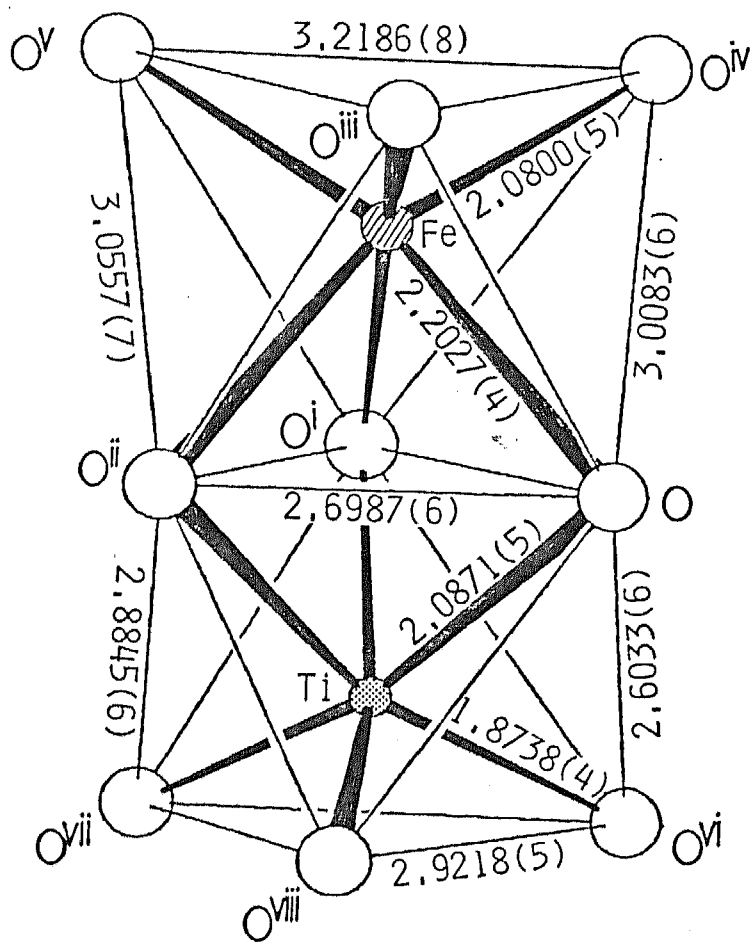


図5-1 FeO_6 及び TiO_6 八面体に於ける原子間距離 (\AA)

対称コード : (i) $-y, x-y, z$; (ii) $y-x, -x, z$;
 (iii) $1/3-x, 2/3-y, 2/3-z$; (iv) $1/3+y, 2/3-x+y, 2/3-z$;
 (v) $1/3+x-y, 2/3+x, 2/3-z$; (vi) $2/3-x, 1/3-y, 1/3-z$;
 (vii) $2/3+y, 1/3-x+y, 1/3-z$; (viii) $2/3+x-y, 1/3+x, 1/3-z$.

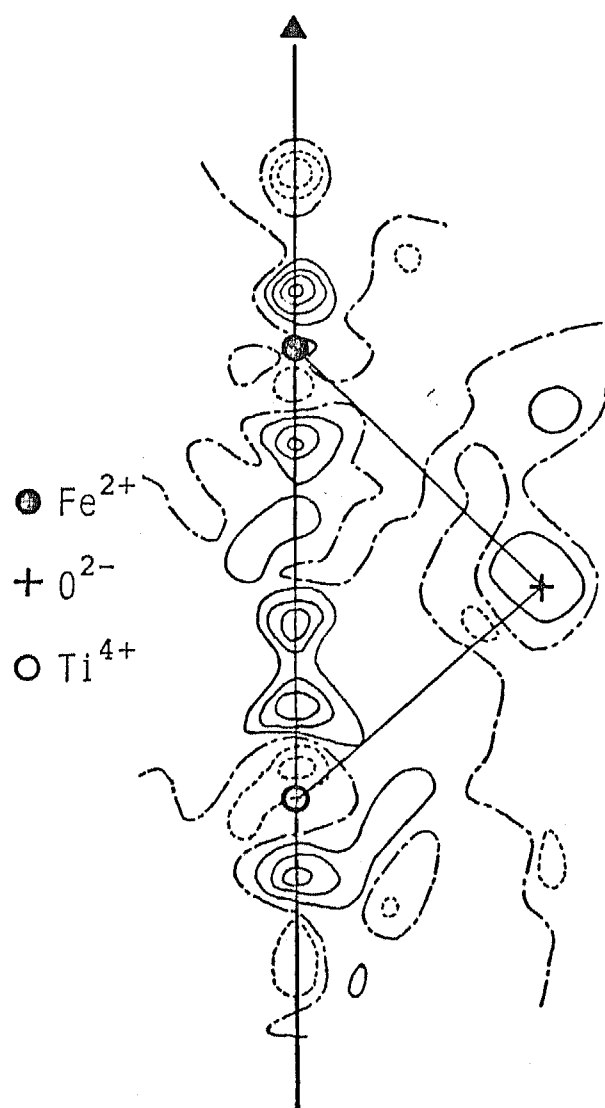


図5-2 球対称原子散乱因子を用い、調和熱振動のみを考慮した通常の構造精密化の後に得られた差フーリエ合成図の Fe^{2+} , Ti^{4+} , O^{2-} イオン及び3回軸を含む断面。等高線の間隔は $0.2 \text{ e}\text{\AA}^{-3}$ で、破線は負・一点鎖線は零・実線は正を示す。

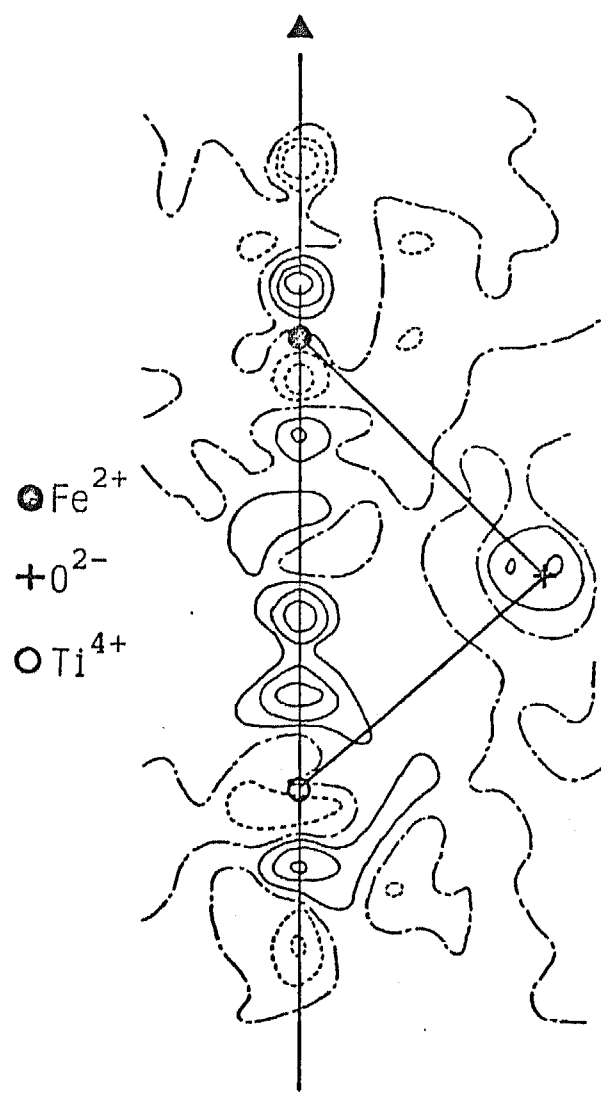


図5-3 Fe^{2+} イオンに非球対称原子散乱因子を用いた構造精密化の後に得られた差フーリエ合成図の Fe^{2+} , Ti^{4+} , O^{2-} イオン及び 3回軸を含む断面。等高線の間隔は $0.2 \text{e}\text{\AA}^{-3}$ で、破線は負。一点鎖線は零・実線は正を示す。

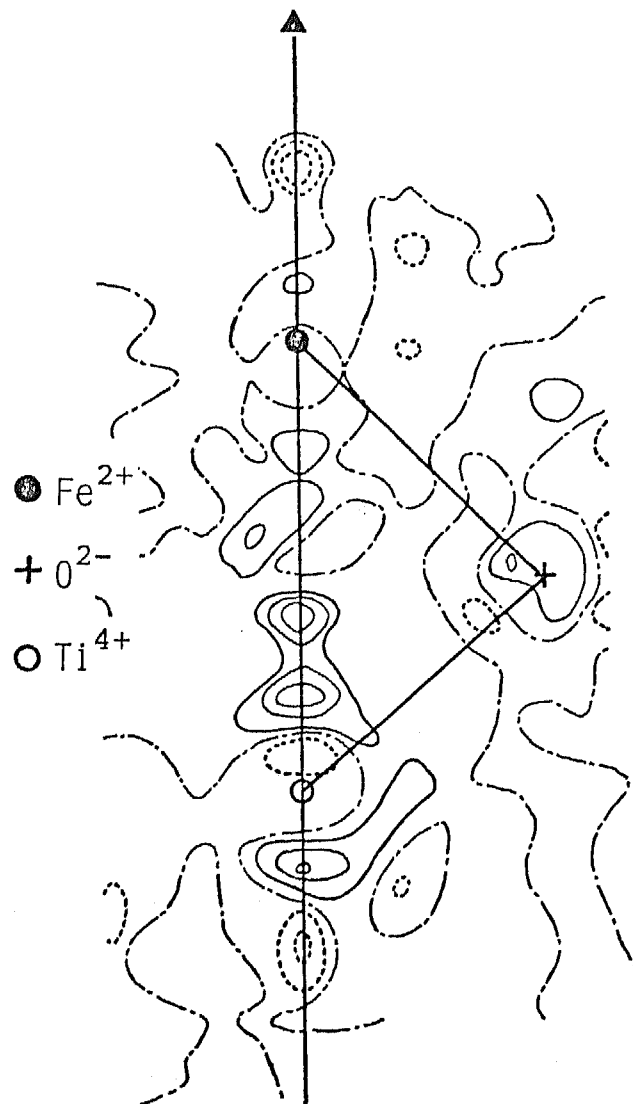


図5-4 Fe^{2+} イオンに非球対称原子散乱因子を用い、 Fe^{2+}
及び Ti^{4+} イオンの非調和熱振動を考慮に入れた構造
精密化後に得られた差フーリエ合成図の $\text{Fe}^{2+}, \text{Ti}^{4+}$,
 O^{2-} イオン及び3回軸を含む断面。等高線の間隔は、
 0.2\AA^{-3} で、破線は負。一点鎖線は零。実線は正を示
す。

第 6 章 電子密度分布と磁気構造

6-1 緒 言

$MnTiO_3$, $FeTiO_3$, $CoTiO_3$ は何れも低温で反強磁性を示し(表1-1), それぞれ図6-1に示すような磁気構造をもっている。 $FeTiO_3$, $CoTiO_3$ は(0001)面に平行な面内でスピンが強磁性的に規則配列し, 下層を1枚隔てた隣の(0001)面に平行な面内のスピンと反強磁性的に規則配列している。一方, $MnTiO_3$ では同一面内で反強磁性構造が実現している。磁気構造の研究手段としては, 一般に中性子線回折法が有力な手段とされるが, このような磁気構造をもつ理由が, 電子の移動を伴う原子間の相互作用によるものであれば、X線回折法も磁気構造の研究手段となり得る筈である。

イルメナイト型酸化物の場合, 図6-2に示すような主として J_1 , J_2 , J_3 , J_4 , 及び J_5 , の5種類の相互作用が期待される(Goodenough & Stickler, 1967)。これらの相互作用の中で J_1 は二つの寄与から成り立っている。一つは、隣り合う陽イオン間の直接の $e(t_{2g})$ 軌道の重なりによる陽イオン-陽イオンの直接相互作用によるものであり、もう一つは陰イオンをはさんだ 90° 超交換相互作用である。後者は片方の陽イオンの $e(t_{2g})$ 軌道ともう一方の陽イオンの $e(e_g)$ 軌道のかッパリングに支配される。陽イオンが高スピン状態をとっているから、 Mn^{2+} , Fe^{2+} , Co^{2+} イオンの $e(e_g)$ 軌道は半分しか満たされていない確率が高い。また $e(t_{2g})$ 軌道は Mn^{2+} の場合半分しか満たされていないと考えられるが Fe^{2+} あるいは Co^{2+} イオンでは半分

以上満たされていると考えられる。従って隣接する二つの Mn^{2+} イオン間で直接相互作用が起こる場合、スピンが反強磁性的に配列しないと第6番目の電子が入ることが出来ない。すなわち $J_1^{Mn} < 0$ となることが明らかである。また、 Fe^{2+} あるいは Co^{2+} イオンが直接相互作用する場合は $J_1^{Fe} > 0$, $J_1^{Co} > 0$ であることが明らかである。

J_1 以外の相互作用はいずれも、陽イオン-陰イオン-陰イオン-陽イオンという、二つの陰イオンを介した超交換相互作用であり、比較的弱い。

これらの磁気構造は、ネール点以下で存在するものであるが原子間相互作用は室温においても存在する。 \times 線回折法は電子密度分布を求める有効な手段であるから、これらイルメナイト型酸化物の磁気構造の違いが、電子の移動を伴う原子間の相互作用に起因するものであれば、室温における \times 線構造解析によって何らかの知見が与えられる筈である。

6-2 電子密度分布図

図6-4は非調和熱振動の解析後の $MnTiO_3$ における、稜を共有して隣接する MnO_6 八面体の二つの Mn^{2+} イオンと、共有稜上の二つの O^{2-} イオンを含む面の差フーリエ合成図である。4本のMn-O結合によってつくられる四角形の中心に対称心がある。O-Mn-Oの結合角は $91.59(2)^\circ$, Mn-O-Mnの結合角は $88.41(2)^\circ$ である。二つの Mn^{2+} イオンを結ぶ正の領域があることが特徴的である。

図 6-5 は Fe^{2+} イオンに非球対称原子散乱因子を用い、非調和熱振動を解析した後の FeTiO_3 における、稜を共有して隣接する FeO_6 八面体の二つの Fe^{2+} イオンと、共有稜上の二つの O^{2-} イオンを含む面の差フーリエ合成図である。O-Fe-O の結合角は $91.00(2)^\circ$ 、Fe-O-Fe の結合角は $89.00(2)^\circ$ である。 MnTiO_3 にみられたような陽イオン間を結ぶ正の領域ではなく、 O^{2-} イオンが正の領域にあり、結合距離の短い方の Fe-O 結合から少し四角形の外側にずれた位置と、その反対側に、ほぼ同じ高さの正のピーグがみられる。

図 6-6 は、 Co^{2+} イオンに対して非球対称原子散乱因子を用いて構造精密化した後の、 CoTiO_3 における稜を共有して隣接する CoO_6 八面体の二つの Co^{2+} イオンと共有稜上の二つの O^{2-} イオンを含む面の差フーリエ合成図である。O-Co-O の結合角は $90.10(1)^\circ$ 、Co-O-Co の結合角は $89.90(2)^\circ$ である。 FeTiO_3 に見られたように、 O^{2-} イオンが正の領域にあり、また MnTiO_3 と同様、陽イオン間を結ぶ正の領域が観測される。

6-3 考 察

これらの差フーリエ合成図から、 MnTiO_3 及び CoTiO_3 に観測される陽イオン間を結ぶ残差電子密度が、電子の移動を伴う陽イオン間の直接相互作用の存在を示すものと考えられる。それぞれの結晶について、稜を共有して隣接する二つの MeO_6 八面体の Me^{2+} イオン間の距離をみると、 $\text{Mn} \cdots \text{Mn} = 3.0633(1) \text{\AA}$ 、 $\text{Fe} \cdots \text{Fe} = 3.0031(1)$

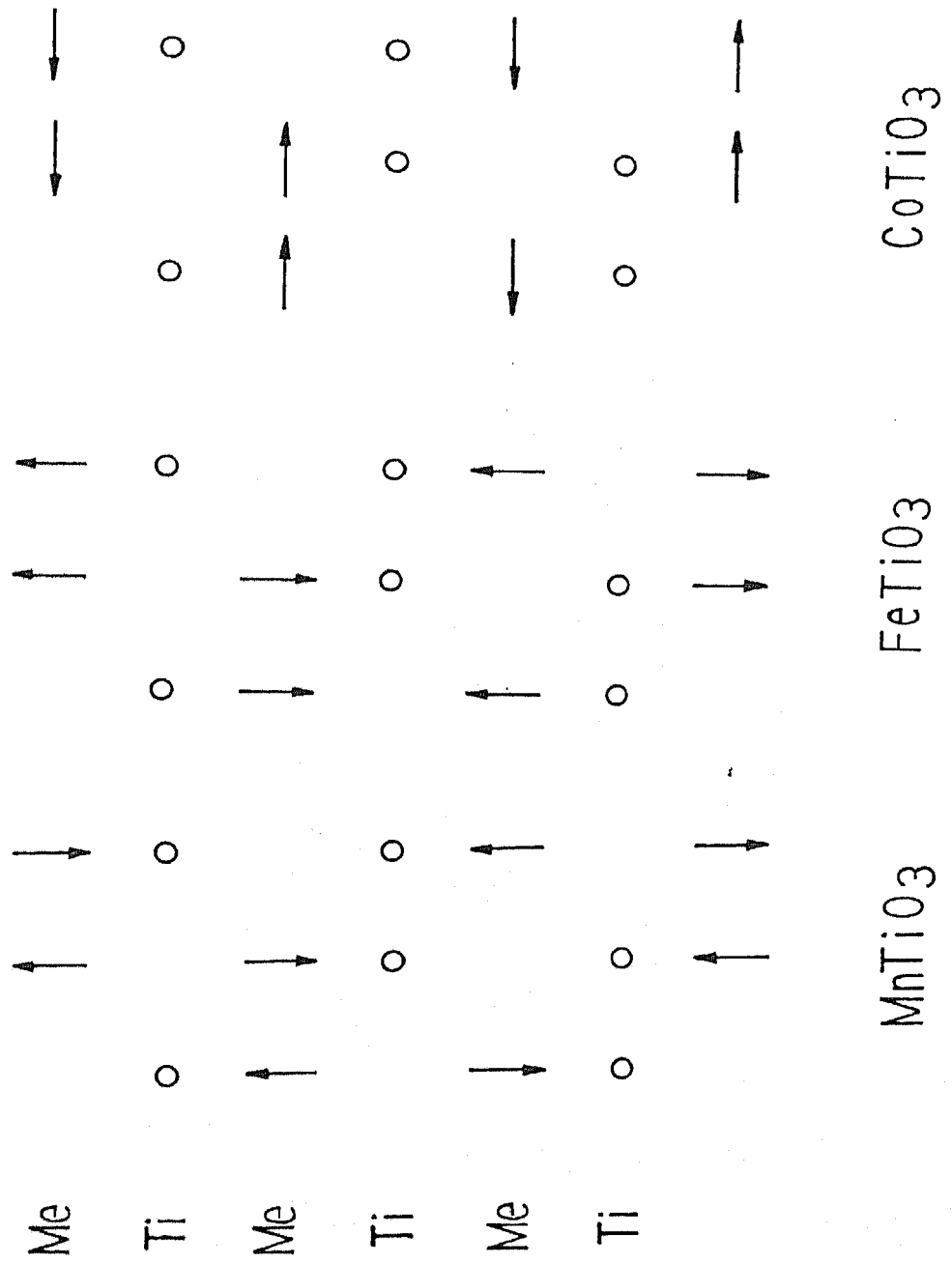
\AA , $\text{Co} \cdots \text{Co} = 2.9371(1) \text{\AA}$ である。これをイオン半径 ($\text{Mn}^{2+} = 0.971 \text{\AA}$, $\text{Fe}^{2+} = 0.92 \text{\AA}$, $\text{Co}^{2+} = 0.885 \text{\AA}$) と比較すると、イオン半径の Mn^{2+} イオン間の距離に対する比は、 Mn^{2+} が 0.317, Fe^{2+} が 0.306, Co^{2+} が 0.296 と CoTiO_3 結晶中の Co^{2+} が最も小さく、むしろ CoTiO_3 で陽イオン間に電子の移動が認められ、 FeTiO_3 では陽イオン間に電子の移動がないのは矛盾するように思われるが、5章、2節で述べたように FeTiO_3 結晶中の Fe^{2+} イオンは電子密度分布が3回軸方向に長軸をもつ橢円体に近い形をしているので、隣接 Fe^{2+} イオンを結ぶ方向は、ほぼ Fe^{3+} のイオン半径をもっていると考えられる。そこで、前述の比を Fe^{3+} のイオン半径の比で求めると 0.261 となる。従って FeTiO_3 結晶中で J. に相当する電子の移動を伴う直接相互作用が認められないのは、 Fe^{2+} イオンの3回軸に垂直な方向のイオン半径が、 Fe^{2+} イオン間の距離に比べて小さく軌道の重なりが不充分なためと考えられる。

FeTiO_3 及び CoTiO_3 結晶の差フーリエ合成図 (図 6-3, 6-4) では O^{2-} イオンの位置が正のピークの上にある。酸素については O^{2-} イオンを仮定して精密化しているため、仮定したモデルより実際は電子数が多いということは考えられないが、構造精密化によって得られた両者の組成が、現実の組成と少し違っている可能性が大きい。その理由として 3種類の結果について、電子線プローブ X 線マイクロアナライザーによって組成分析した結果と本研究で構造解析によって得た組成が、 MnTiO_3 では非常によい一致を示すにも拘らず、 FeTiO_3 , CoTiO_3 については結果に少し差が現れている

ことが挙げられる。本研究では M_{e}^{2+} と T_{i}^{4+} の金属イオンが一部入れ替わり、部分的に無秩序化しているモデル $(M_{\text{e}}_z T_{\text{i}}_r)(T_{\text{i}}_u M_{\text{e}}_v)O_{z+r+2(r+u)}$ を仮定しているので O^{2-} に僅かに空席が存在するという計算結果になっている。しかし、 O^{2-} 位置に正の残差電子密度が存在することは、 FeTiO_3 及び CoTiO_3 結晶中では O^{2-} 席に空席がないことを示唆していると考えられる。

また、 FeTiO_3 結晶中の O^{2-} イオンの周りに、 O^{2-} の位置から約 0.2 \AA の距離で、対称的な位置に 0.42 e\AA^{-3} の正のピーグが現れているのは、 O^{2-} イオンの $2P$ 電子密度分布が球対称からずれていることを示している。その原因は、実際に電子が O^{2-} イオンから他のイオンへわずかに流れ出ていることが考えられ、 O^{2-} イオン 1 個を介した 90° 超交換相互作用の存在が示唆される。

図 6—1 $M_{\text{e}}\text{TiO}_3$ ($M_{\text{e}} = \text{Mn}, \text{Fe}, \text{Co}$) の磁気構造



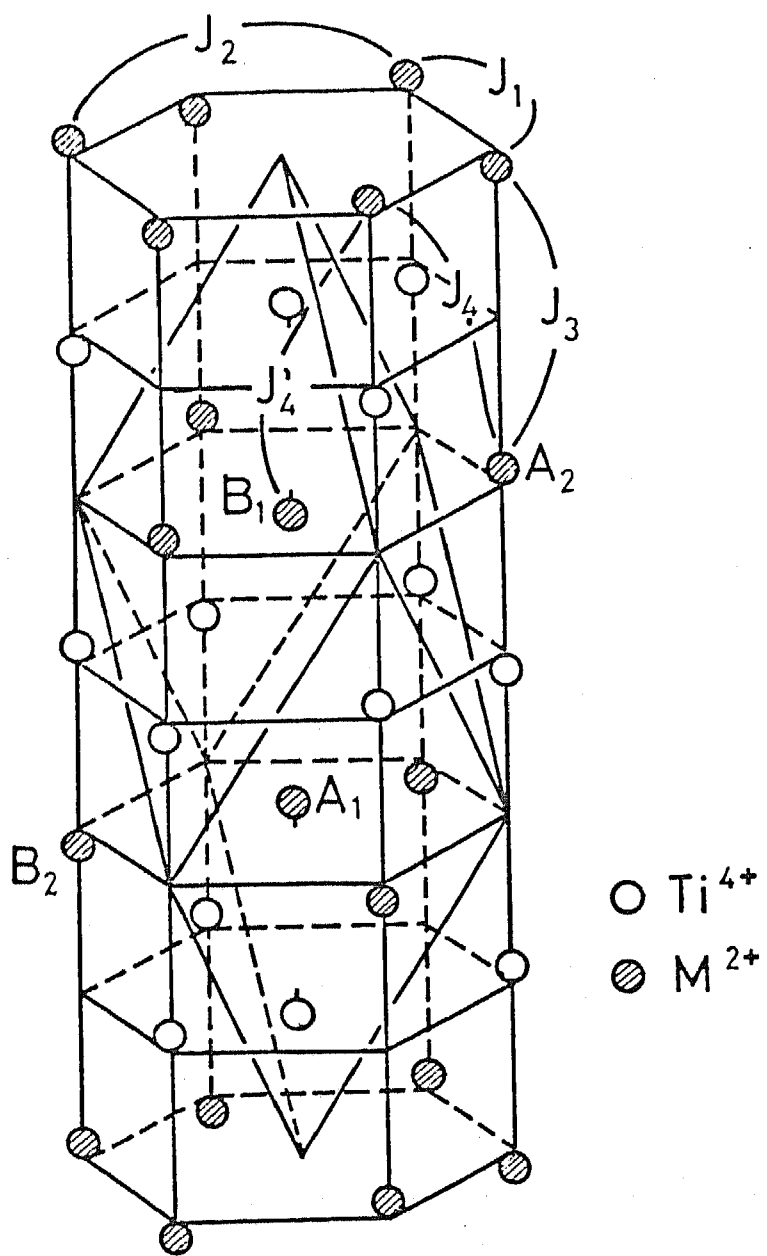


図 6-2 イルメナイト型酸化物における主な原子間相互作用

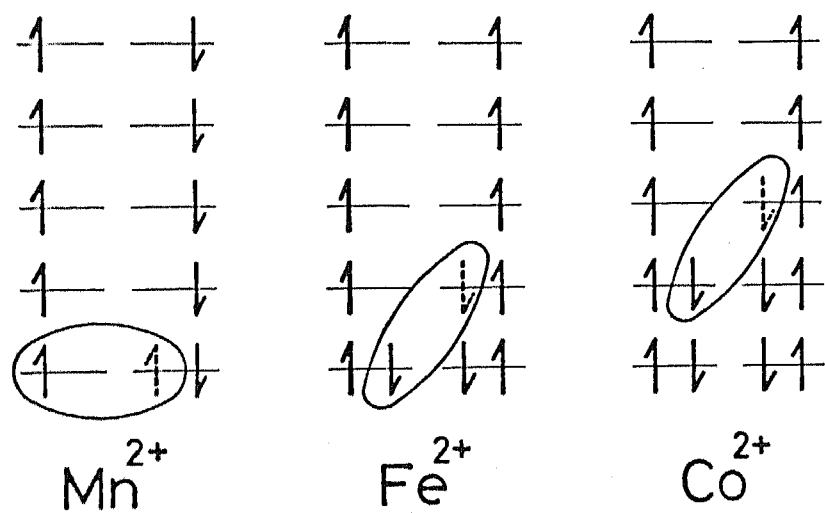


図 6-3 陽イオン間に直接相互作用の存在する場合のスピンの配列

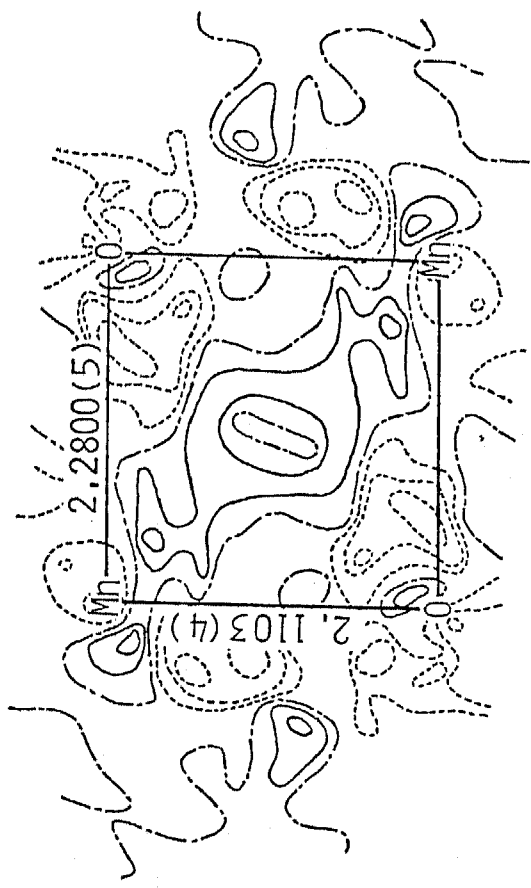


図 6—4 MnTiO_3 の隣接する二つの MnO_6 八面体の中心に位置する Mn^{2+} イオンと共有稜を構成する二つの O^{2-} イオンを含む面の差フーリエ合成図。等高線は 0.1\AA^{-3} とき。破線は負、一点鎖線は零、実線は正を示す。

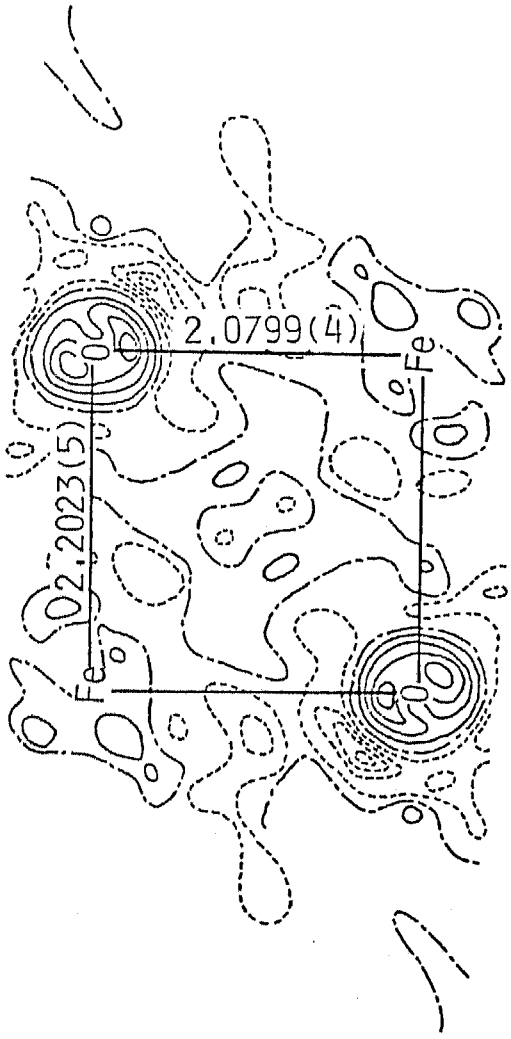


図6—5 FeTiO_3 の隣接する二つの FeO_6 八面体の中心に位置する Fe^{2+} イオンと共有稜を構成する二つの O^{2-} イオンを含む面の差フーリエ合成図。等高線は $0.1\text{e}\text{\AA}^{-3}$ とき。破線は負、一点鎖線は零、実線は正を示す。

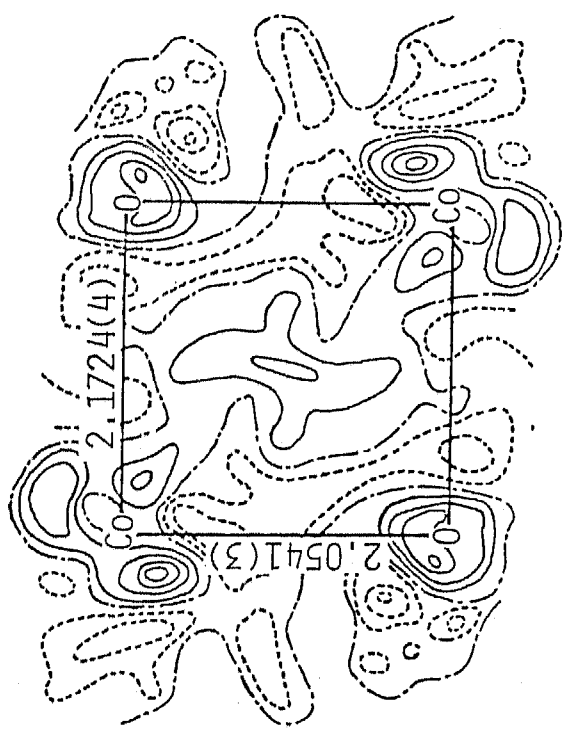


図 6-6 CoTiO_3 の隣接する二つの CoO_6 八面体の中心に位置する Co^{2+} イオンと共有緯を構成する二つの O^{2-} オンを含む面の差フーリエ合成図。等高線は $0.1\text{e}\text{\AA}^{-3}$ とき。破線は負、一点鎖線は零、実線は正を示す。

第 7 章 総 括

本論文は「イルメナイト型酸化物に於ける電子密度分布の研究」と題し、7章より成っている。

第1章「緒論」では、イルメナイト型酸化物が地球を構成する主要な鉱物の一つで、チタン原料として重要であると同時に、低温で反強磁性を示し、その磁気構造に異なった幾つかの型が存在することから、工業的にも学問的にも興味がもたれている物質であること、本論文ではフローティング・ゾーン法によって合成されたイルメナイト型 MeTiO_3 ($\text{Me} = \text{Mn}, \text{Fe}, \text{Co}$) 単結晶を用いて、その物理的、化学的性質を支配している電子密度分布を、単結晶X線回折法により実験的に求めること、さらに磁性との関係を論じることの意義を述べ、本研究の目的を明らかにした。

第2章「単結晶X線回折法による電子密度分布の解析」では、正確な回折X線強度データを得るために試料及び回折計の調整法について述べた後、 $3d$ 電子の軌道散乱因子を求める方法として、従来採用されてきた高い席対称を仮定した近似的な方法ではなく、真の席対称 C_3 に基いた具体的な求め方を導いた。また、電子密度分布の解析に大きな影響を及ぼす非調和熱振動の効果を考慮に入れた解析法について述べた。

第3章「チタン酸コバルトの単結晶X線構造解析」では、 CoTiO_3 の構造と電子密度分布の解析を行なった結果について述べた。まず、球対称原子散乱因子を用いて、通常の構造パラメーター

の精密化を行ない、差フーリエ合成図上に、 Co^{2+} イオンの $3d$ 電子が八面体結晶場中で非球対称的に分布することを示す残差電子密度を見いたしました。次いで $3d$ 電子に対して非球対称軌道散乱因子を用いて、構造パラメーターの精密化を行ない、各軌道を占める電子数を求め、 $e(e_g)$ 軌道及び $e(t_{2g})$ 軌道が、それぞれ最も低い電子密度をもつことを明らかにした。

第4章「チタン酸マンガンの単結晶X線構造解析」では、 MnTiO_3 の構造と電子密度分布の解析を行なった結果について述べた。 MnTiO_3 の場合、 Mn^{2+} イオンは高スピニ状態にあり、実験誤差の範囲内で球対称電子密度分布をもつことを明らかにした。また、 Mn^{2+} イオンの熱振動に顕著な非調和性のあることを見いたし、これは Mn^{2+} イオンの大きなイオン半径が、その配位八面体に大きな歪みを与えていることが原因であると考えられている。

第5章「チタン酸鉄の単結晶X線構造解析」では、 FeTiO_3 について構造及び電子密度分布の解析を行なった結果について述べ、 CoTiO_3 及び MnTiO_3 の解析結果と比較しながら考察した。差フーリエ合成図の特徴から、 Fe^{2+} イオンの $3d$ 電子に対して非球対称軌道散乱因子を用い、更に Fe^{2+} 及び Ti^{4+} イオンの熱振動に非調和性を考慮して構造パラメーターの精密化を行ない、 Fe^{2+} イオンは、 α 軌道の電子密度が最も高く、他は互いに同程度である非球対称的な電子密度分布をもつこと、また、その熱振動に非調和性のあること、を見いたしました。更に、 CoTiO_3 及び FeTiO_3 においては、隣接金属イオン間の反発力の一部は $3d$ 電子が非球対称的な配置をとることに

より緩和されるため、 Fe^{2+} 及び Co^{2+} イオンの配位八面体の中心から
のずれは Ti^{4+} イオンや $MnTiO_3$ 中の Mn^{2+} イオンのそれに比べ小さいこ
とが明らかになった。

第6章「電子密度分布と磁気構造」では、本論文で取り扱っ
ている3種の結晶について、金属イオン間の磁気的相互作用が特に
強いと考えられている(0001)面内での遷移金属イオンの周りの電
子密度分布の広がりと、反強磁性相における磁気構造との関係につ
いて述べた。 $MnTiO_3$ 及び $CoTiO_3$ においては、(0001)面内で隣接す
る Mn^{2+} あるいは Co^{2+} イオン間に直接相互作用が存在することを示唆
する、有意な電子密度分布が観測されたが、 $FeTiO_3$ 中の Fe^{2+} イオ
ン間には、そのような電子密度分布は見いだされず、むしろ Fe^{2+} -
 O^{2-} - Fe^{2+} 90° 超交換相互作用の存在が示唆された。この事実は、
それぞれの反強磁性相の磁気構造と矛盾しない。

第7章「総括」では、各章ごとに得られた結果を総括した。

以上、本論文では、反強磁性相において磁気構造を基にする
3種のイルメナイト型酸化物について、単結晶X線回折法により、
一結晶場の影響を取り入れた軌道散乱因子を用いる解析法を遷移金属
イオンの3d電子に対して適用し、また熱振動の非調和性も考慮に
入れて構造パラメーターの精密化を行ない、それぞれの結晶中での
電子密度分布を求め、磁気構造との関係を明らかにした。同時に、
X線回折法が化学結合のみならず、磁気構造の研究にも役立ち得る
可能性を示した。

謝 辞

本研究を進めるにあたり、丸茂文幸教授には終始御懇切なる御指導を戴きました。この場を借りて厚く感謝しお礼申し上げます。また、森川日出貴助教授、田中清明博士には、研究全般にわたる細かい御指導を戴きました。心からお礼申し上げます。

また、本論文をまとめる上で、東京工業大学の八木克道教授、加藤誠軌教授、橋爪弘雄助教授には有益な御助言を賜りましたことをここにお礼申し上げます。

東北大学金属材料研究所の武居文彦教授には、試料として用いたイルメナイト型酸化物の単結晶を提供して戴き、有益な御助言を戴きましたことをここにお礼申し上げます。

東北大学金属材料研究所の庄野安彦教授には、イルメナイト型酸化物に関する有益な御助言を賜りましたことをお礼申し上げます。

また、無機材料工学科石沢伸夫博士をはじめ、丸茂研究室、橋爪研究室の皆様には、研究を進める上で貴重な御助言を戴き、終始暖かい御協力を戴きましたことをここに深く感謝致します。

東京工業大学大学院博士後期課程に進学するにあたり、御助言を賜りました多賀井秀夫名誉教授にこの場を借りてお礼申し上げます。

本研究の計算には 東京工業大学情報処理センターの計算機を使用致しました。

第 1 章

- Akimitsu, J., Ishikawa, Y. & Endou, Y. (1970) Solid State Comm. 8, 87.
- Barth, T.F.W. & Posnjak, E. (1934). Zeits. Krist. 88, 265.
- Barsukova, M.L., Kuznetsov, V.A. & Malinovskaya, E.K. (1972). Kristallografiya 17, 1268.
- Bertaut, E.F. & Forrat, F. (1958). J. appl. Phys. 29, 247.
- Bozorth, R.M. & Walsh, D.E. (1958). J. Phys. Chem. Solids 5, 299.
- Brill, R., Grimm, A.G., Hermann, C. & Peters, C. (1939). Ann. Phys. Leipzig 34, 393.
- Chamberland, B.L. (1970). J. Solid State Chem. 1, 138.
- Chamberland, B.L. (1970). J. Solid State Chem. 1, 512.
- Chamberland, B.L. (1970). J. Solid State Chem. 2, 521.
- Cloud, W.H. (1958). Phys. Rev. 111, 1046.
- Coppens, P. (1974). Acta Cryst. B30, 255.
- Dawson, B. & Willis, B.T.M. (1967). Proc. Roy. Soc. A298, 307.
- Garton, G., Smith, S.H. & Wanklyn, B.W. (1972). J. Cryst. Growth, 13/14, 588.
- Hansen, N.K. & Coppens, P. (1978). Acta Cryst. A34, 909.
- Harel, M. & Hirshfeld, F.L. (1975). Acta Cryst. B31, 162.
- Hirshfeld, F.L. (1971). Acta Cryst. B27, 769.
- Hoshino, S. (1952). ibid. 7, 560.
- Hoshino, S. (1954). ibid. 9, 295.
- Ishikawa, Y. & Akimoto, S. (1957). J. Phys. Soc. Japan 12, 1083.
- Ishikawa, Y. & Akimoto, S. (1958). J. Phys. Soc. Japan 13, 1298.

- Iwata, M. & Saito, Y. (1973). Acta Cryst. B29, 822.
- James, R.W. (1954). The Optical Principles of The Diffraction of X-rays ; C.Bell & Sons, Loondon.
- Jhonson, C.K. (1969). Acta Cryst. A25, 187.
- Jhonson, C.K. (1970). Chapter 9, Thermal Newtron Diffraction, ed. Willis, B.T.M. Oxford ; Clarendon Press
- Kijima, N., Tanaka, K. & Marumo, F. (1981). Acta Cryst. B37, 545.
- Kijima, N., Tanaka, K., & Marumo, F. (1983). Acta Cryst. B39, 557.
- Mair, S.L., Barnea, Z., Cooper, M.J. & Rouse, K.D. (1974). Acta Cryst. A30, 806.
- 松原武生 (1958) 日本物理学会講演
- Matsubara, T. (1975a). Prog. Theor. Phys. 53, 1210.
- Matsubara, T. (1975b). J. Phys. Soc. 38, 1072.
- Miyake, S., Hoshino, S. & Takenaka, T. (1952). J. Phys. Soc. 7, 19.
- Miyata, N., Tanaka, K. & Marumo, F. (1983). Acta Cryst. B39, 561.
- Nagata, T., Ishikawa, Y., Kono, M., Syono, Y. & Fisher, R.H. (1970). Sience 167, 703.
- Newham, R.E., Frag, J.H. & Santoro, R.P. (1964) Acta Cryst. 17, 240.
- Posnjak, E. & Barth, T.F.W. (1934). Zeits. Krist. 88, 271.
- Swada, A., Miyahara, S., Akimoto, S. & Fujikawa, H. (1966). J. Phys. Soc. Japan 21, 185.
- Shirane, G., Pickart, S.J. Nathans, R. & Ishikawa, Y. (1959). J. Phys. Chem. Solids 10, 35.
- Shirane, G., Pickart, S.J. & Ishikawa, Y. (1959). J. Phys.

Soc. Japan 14, 132.

Stevens, E.D. & Coppens, P. (1976). Acta Cryst. A32, 915.

Sticker, J.J., Kern, S., Ward, A. & Heller, G.S. (1967). Phys. Rev. 164, 765.

Syono, Y., Akimoto, S., & Endou, Y. (1970). J. Phys. Chem. Solids 32, 243.

Takei, H. & Kitamura, K. (1978). J.Cryst. Growth 44, 629.

Takei, H. (1981). J. Materials Sci. 16, 1310.

Tanaka, K., Konishi, M. & Marumo, F. (1979). Acta Cryst. B35, 1303.

Tanaka, K. & Marumo, F. (1982). Acta Cryst. B38, 1427.

Tanaka, K. & Marumo, F. (1983). To be published.

Tsuzuki, T., Ishikawa, Y., Watanabe, N. & Akimoto, S. (1974). J. Phys. Soc. Japan 37, 1242.

Wanklyn, B.M. (1970). J. Cryst. Growth 7, 368.

Weiss, R.W. & Demarco, J.J. (1958) Rev. Mod. Phys. 30, 59.

第 2 章

Bond, W.L. (1951). Rev. Sci. Instr. 22, 344.

Fukamachi, T. (1969). Japanese J. Phys. Chem. Solids 10, 147.

Tanaka, K. (1975). Accurate Electron-Density Distribution in Crystals of Diformylhydrazine. PhD Thesis, Univ. of Tokyo

Tanaka, K. & Marumo, F. (1983). To be published.

Weiss, R.J. & Freeman, A.J. (1959). J. Phys. Chem. Solids 10, 147.

第 3 章

- Becker, P.J. & Coppens, P. (1974a). *Acta Cryst.* A30, 129.
- Becker, P.J. & Coppens, P. (1974b). *Acta Cryst.* A30, 148.
- Becker, P.J. & Coppens, P. (1975). *Acta Cryst.* A31, 417.
- Bond, W.L. (1951). *Rev. Sci. Instr.* 22, 344.
- International Tables for X-ray Crystallography (1967). Vol.II.
Birmingham: Kynoch Press.
- International Tables for X-ray Crystallography (1974). Vol.IV.
Birmingham: Kynoch Press.
- Iwata, M. (1977). *Acta Cryst.* B33, 59.
- Lewis, J., Schalzenbach, D. & Flack, H.D. (1982). *Acta Cryst.* A38, 733.
- Marumo, F., Isobe, M., & Akimoto, S. (1977). *Acta Cryst.* B33, 713.
- Shannon, R.D. (1976). *Acta Cryst.* A32, 751.
- Shimizu, K., Tanaka, K., Marumo, F. & Takei, H. (1983).
To be published.
- Takei, H., Hosoya, S. & Kojima, H. (1982). *J. Japan Assoc. Min. Pet. Econ. Geol. Special Issue* 3, 73.
- Tokonami, M. (1965). *Acta Cryst.* 19, 486.
- Vincent, M.G., Yvon, K. & Ashkenazi, J. (1980). *Acta Cryst.* A36, 808.
- Vincent, M.G., Yvon, K., Gruttner, A. & Ashkenazi, J. (1980).
Acta Cryst. A36, 803.
- Weiss, R.J. & Freeman, A.J. (1959). *J. Phys. Chem. Solids* 10, 147.

第 4 章

- Becker, P.J. & Coppens, P. (1974a). Acta Cryst. A30, 129.
Becker, P.J. & Coppens, P. (1974b). Acta Cryst. A30, 148.
Becker, P.J. & Coppens, P. (1975). Acta Cryst. A31, 417.
Bond, W.L. (1951). Rev. Sci. Inster. 22, 344.
International Tables for X-ray Crystallography (1974). Vol.IV.
Birmingham: Kynoch Press
Shannon R.D. (1976). Acta Cryst. A32, 751.
Takei, H., Hosoya, S. & Kojima, H. (1982). J. Japan Assoc.
Min. Pet. Econ. Geol. Special Issue 3, 73.
Tokonami, M. (1965). Acta Cryst. 19, 486.
Willis, B.T.M. (1969). Acta Cryst. A25, 277.

第 5 章

- Becker, P.J. & Coppens, P. (1974a). Acta Cryst. A30, 129.
Becker, P.J. & Coppens, P. (1974b). Acta Cryst. A30, 148.
Becker, P.J. & Coppens, P. (1975). Acta Cryst. A31, 417.
Bond, W.L. (1951). Rev. Sci. Inster. 22, 344.
International Tables for X-ray Crystallography (1974). Vol.IV.
Birmingham: Kynoch Press
Ito, A. (1983) Private cominucation
Shannon, R.D. (1976). Acta Cryst. A32, 751.
Takei, H., Hosoya, S. & Kojima, H. (1982). J. Japan Assoc.
Min. Pet. Econ. Geol. Special Issue 3, 73.
Tokonami, M. (1965). Acta Cryst. 19, 486.

第 6 章

Goodenough, J.B. & Stickler, J.J. (1967) Phys. Rev. 164, 768.